

Introduction à la carte à puce

Pascal Urien

<http://www.enst.fr/~urien/cours.html>

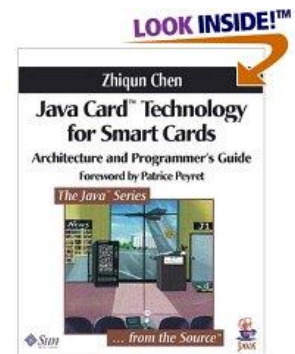
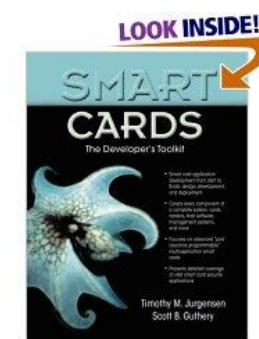
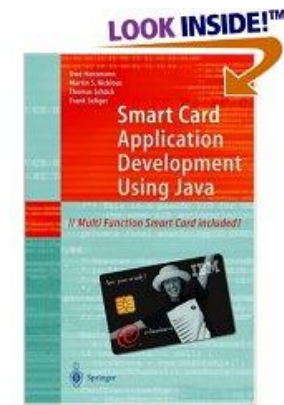
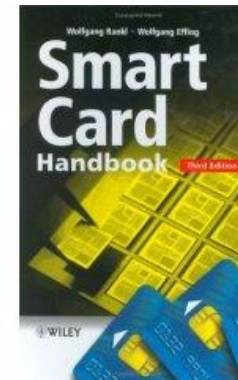
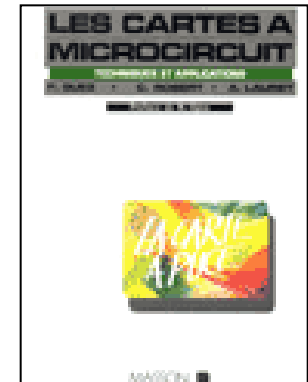
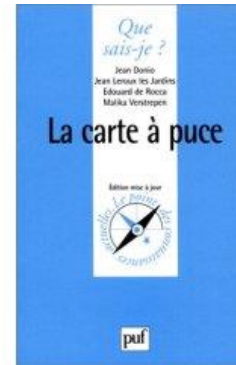
www.enst.fr/~urien/cours_cartes_urien-2008.pdf

<http://www.enst.fr/~urien/introcarte2014.pdf>

<http://www.enst.fr/~urien/javacard/chap4.PDF>

Bibliographie

- *La carte à puce*. Jean Donio, Jean Leroux
Les Jardins. Que sais-je? n°3492, Éditions PUF.
- *Les cartes à microcircuit (88)*. Éditions Editions Masson. F.Guez, C.Robert, A.Lauret.
- *Smart Card handbook*. W. ERankl , W. Effing.
Editions Willey.
- *Smart Card application Development Using Java*. Martin S. Nicklous, Thomas Schack, Frank Seliger, Uwe Hansmann, Martin Scott Nicklous, Thomas Schaeck. Editions Springer.
- *Smart Cards - The developer's Kit*. Timothy M. Jurgensen, Scott B. Guthery. Editions Prentice Hall.
- *Java Card™ Technology for Smart Cards*. Zhiqun Chen. Editions Addison Wesley.



La genèse

La genèse

- La carte à puce est une technologie pluridisciplinaire qui s'appuie sur trois éléments
 - La microélectronique, le traitement de l'information, et la cryptographie
- René Barjavel «La Nuit des Temps» Éditions Denoël, 1968
 - « Chaque fois qu'un Gonda désirait quelque chose de nouveau, des vêtements, un voyage, des objets, il payait avec sa clé. Il pliait le majeur, enfonçait sa clé dans un emplacement prévu à cet effet et son compte, à l'ordinateur central, était aussitôt diminué de la valeur de la marchandise ou du service demandés »
- Les brevets
 - Etats Unis
 - Ellingboe (1970) propose un moyen de paiement électronique avec une carte de crédit à contacts;
 - Halpern (1972) introduit un stylo électronique sécurisé de paiement.

Japon

- Arimura (1970) décrit une méthode d'authentification dynamique réalisée à l'aide d'un dispositif d'identification.

En France,

- Roland Moreno (1974), Michel Ugon (1977) et Guillou (1979).



Carte

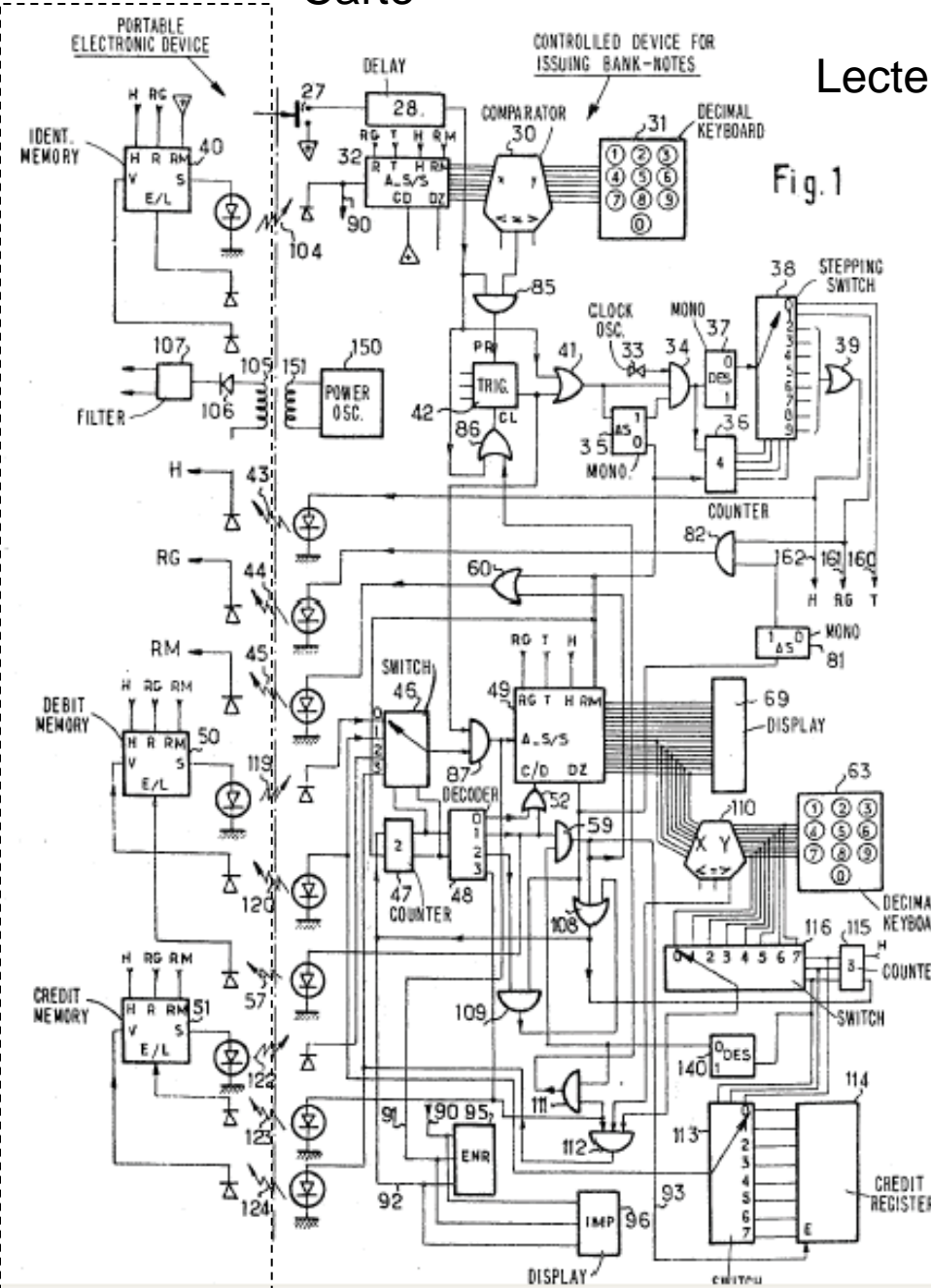
Lecteur

Roland Moreno

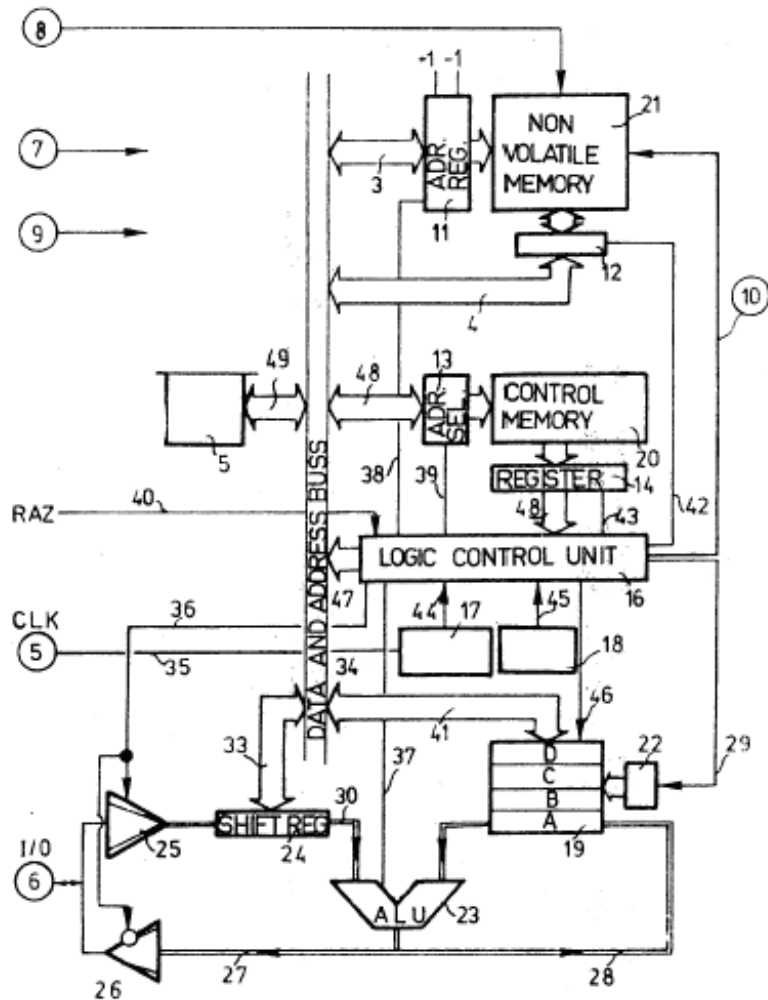
- 25 mars 1974, Brevet 74.10191
- 21 mars 1975, US 4,007,355



1978, une télécarte 1Kbit



Michel Ugon

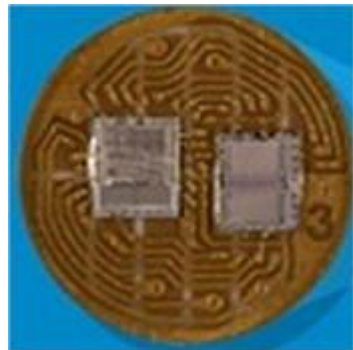


- 26 août 1977,
brevet 77.26107
- 25 août 1978,
US 4,211,919

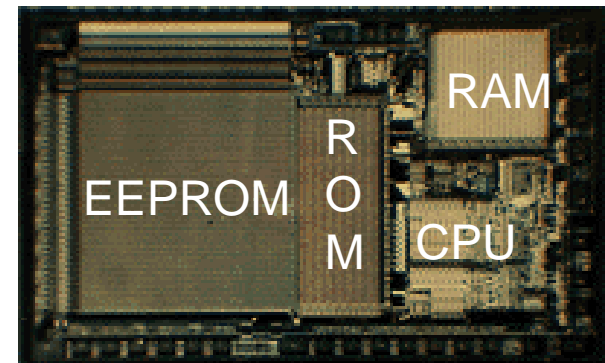


Le SPOM

- Mars 1979, CII-Honeywell Bull et Motorola,
 - Deux puces: une mémoire 2716 EPROM et un microprocesseur 8 bits 3870.
- Octobre 1981 puce monolithique CII-Honeywell Bull et Motorola
 - SPOM, Self Programmable One chip Microcomputer



1979, carte hybride
à deux puces



1988, le chip 21
avec une mémoire EEPROM

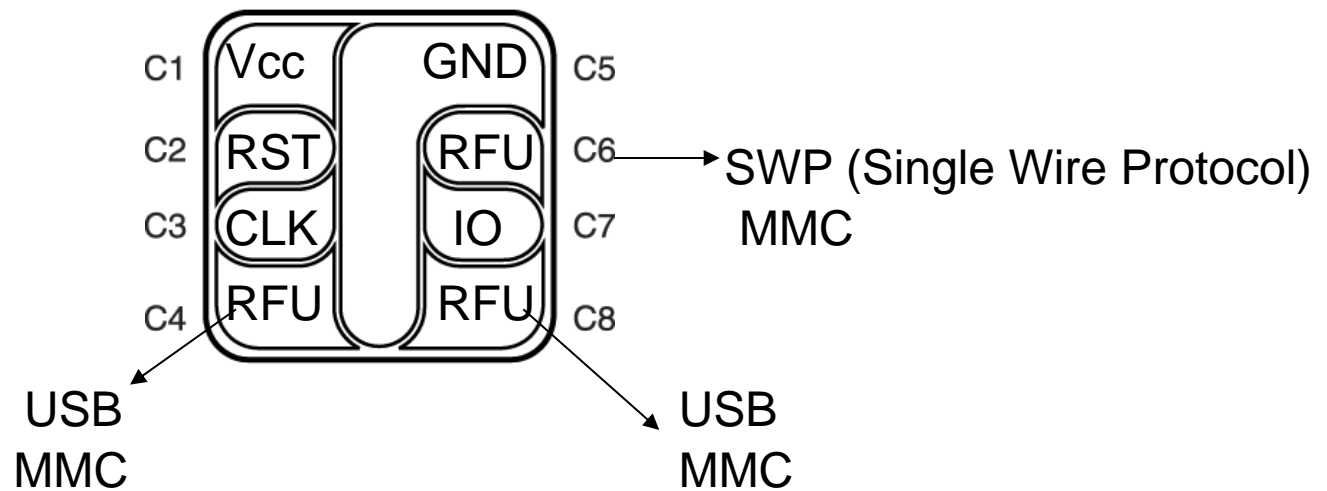
1981, chip SPOM1 en NMOS 3.5 µm
(42000 transistors sur 19.5mm²).

Quelques dates

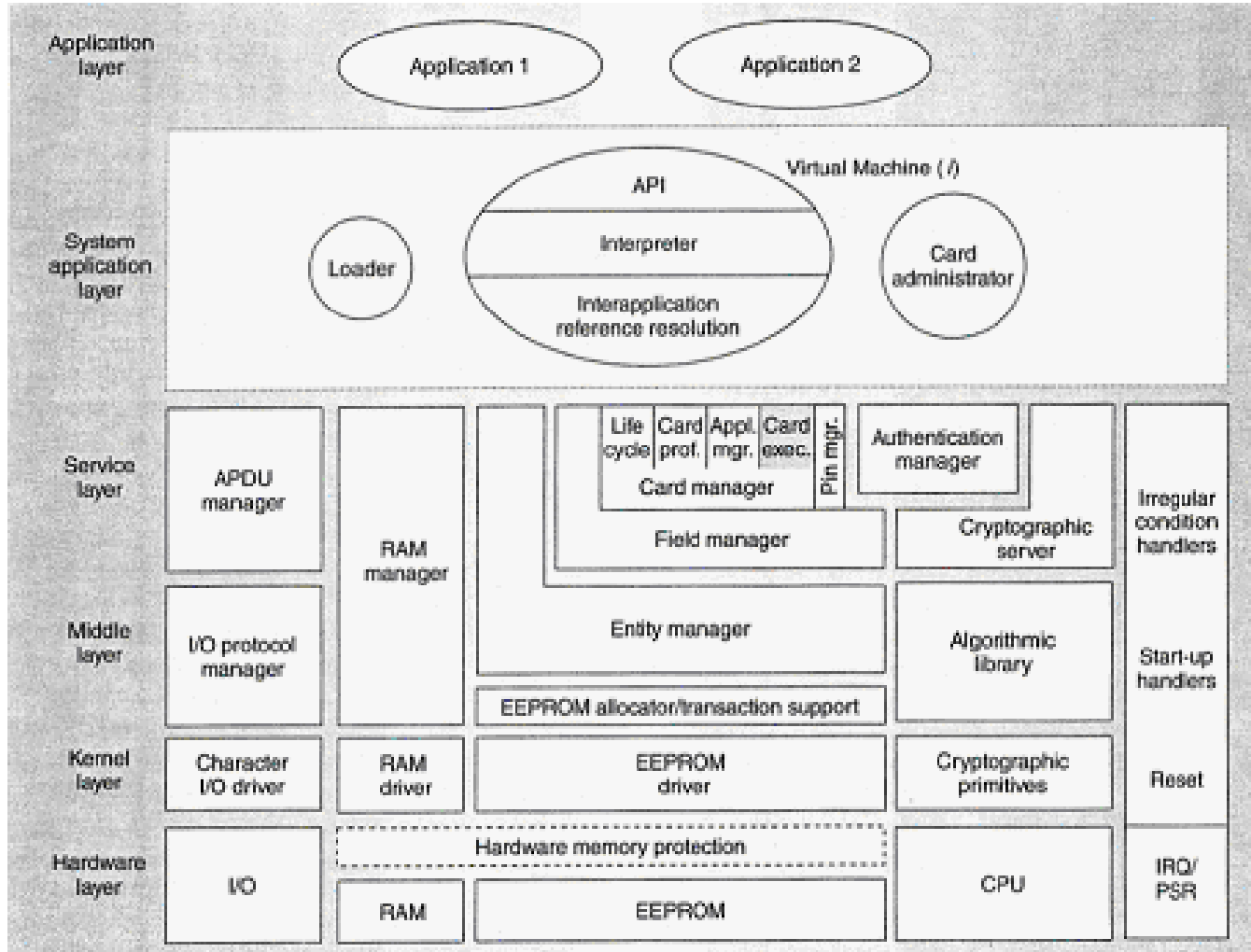
- 1974, Brevet de R.Moreno
- 1977, Brevet de M.Ugon
- 1987, Première norme ISO 7816
- 1988, Spécification de la carte SIM
- 1995, Attaque DPA Paul Kocher
- 1996, Première norme EMV
- 1997, Brevet Java Card, US 6,308,317
- 2000 Normes ISO14443
- 2002, dotnet smart card, Hiveminded
- 2005, Near Field Communication (NFC)

La carte à puce, aperçu de la technologie

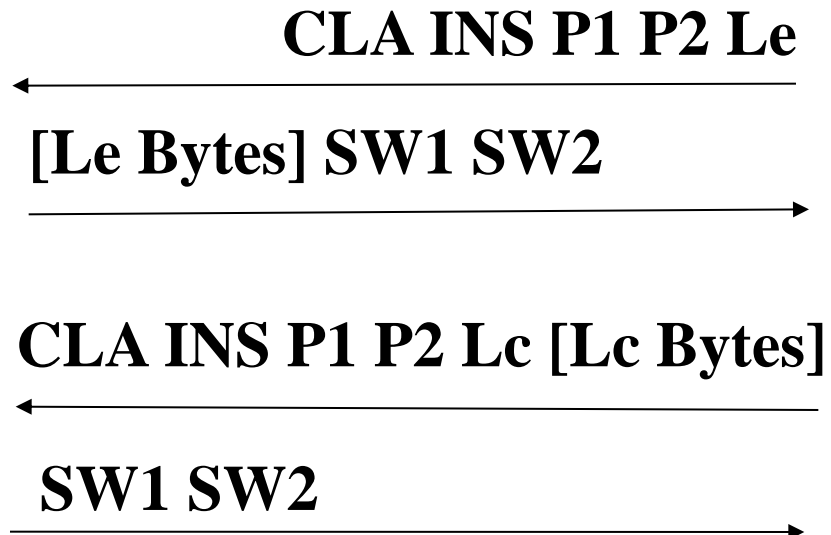
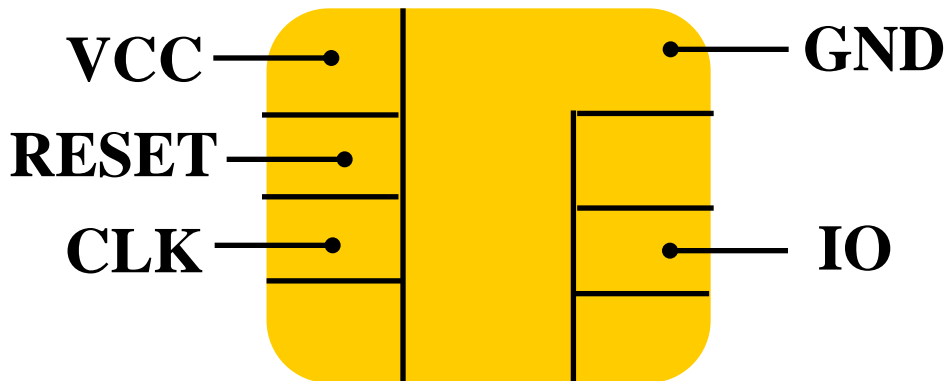
Aperçu technologique



Exemple de Système d'Exploitation



- ***Guillou,L.C, Ugon, M, Quisquater,J.J “Smartcard: a Standardized Security Device Dedicated to Public Cryptology”, 1992.***
 - “What a smartcard does. *The five operations of a smartcard are 1- input data, 2- output data, 3- read data from non volatile memory (NVM), 4- write or erase data in NVM, 5- compute a cryptographic function.*”



Chaque application est identifiée par un nombre de 16 octets au plus (AID, Application IDentifier)

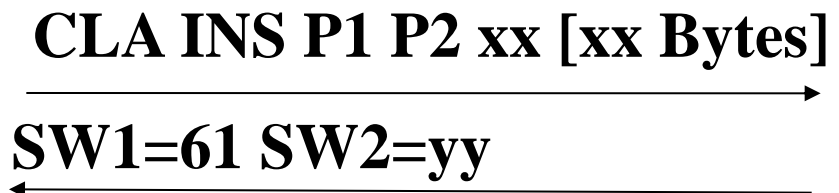
Commandes de base ISO7816-4

Y=F(x)

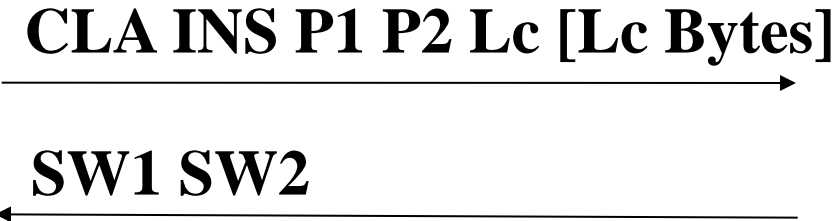
Lecture LE bytes



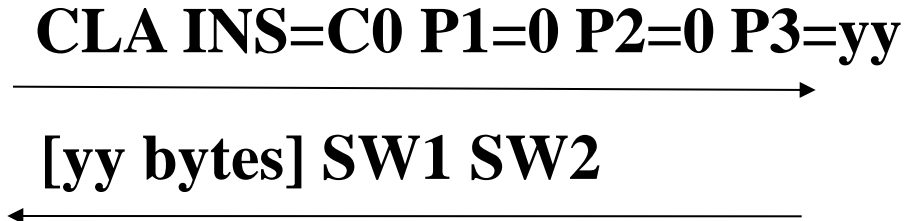
1- Ecriture xx bytes



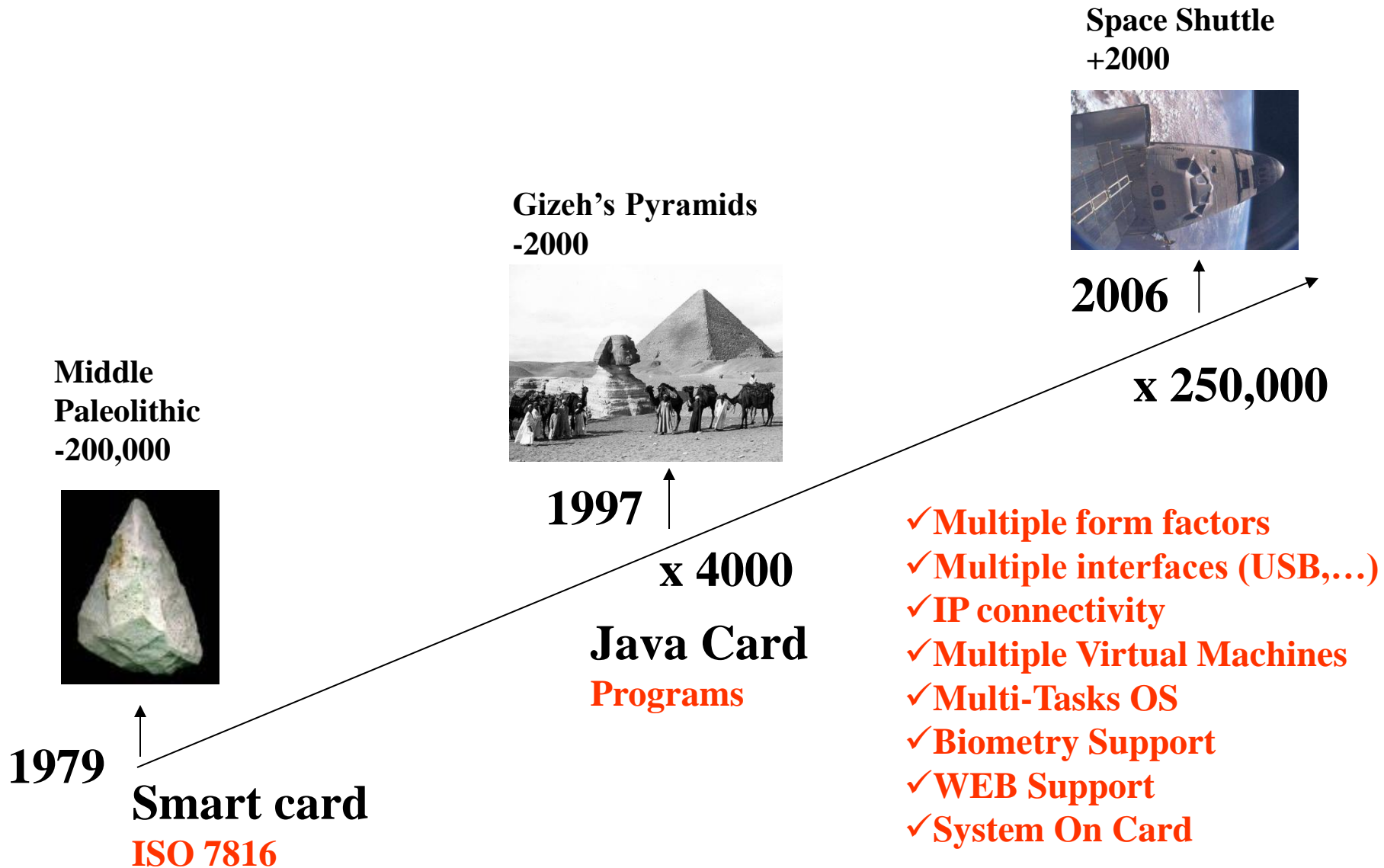
Ecriture Lc bytes



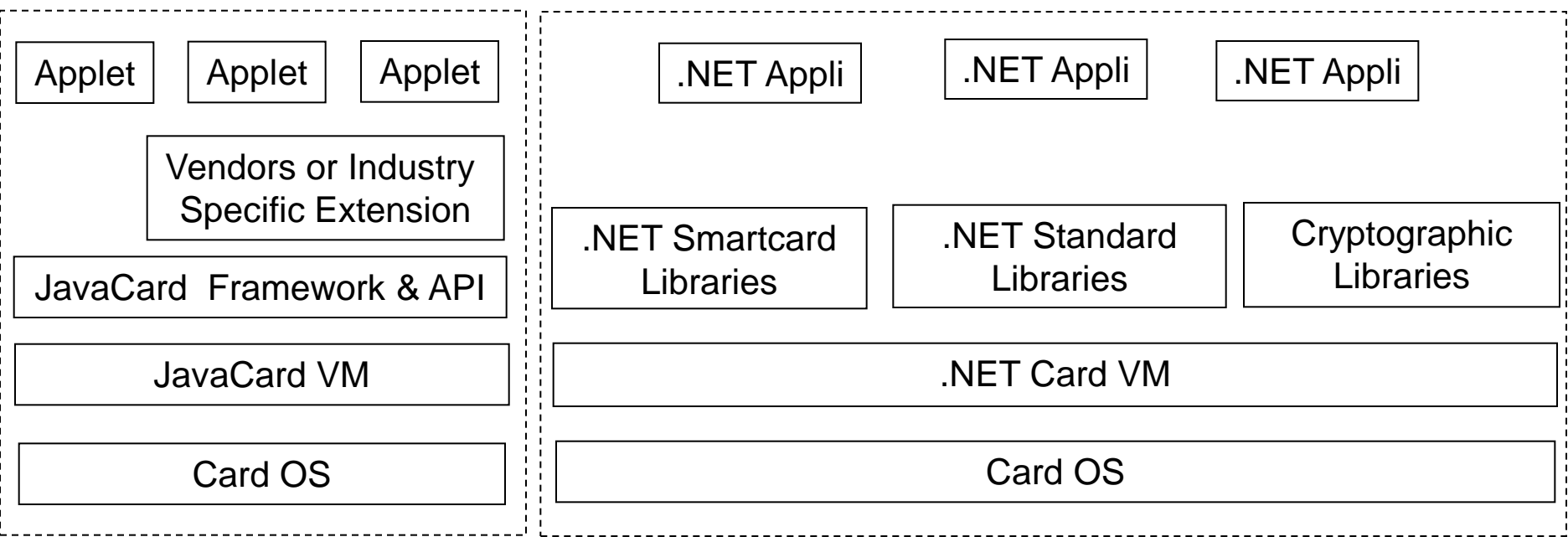
2- Lecture yy bytes



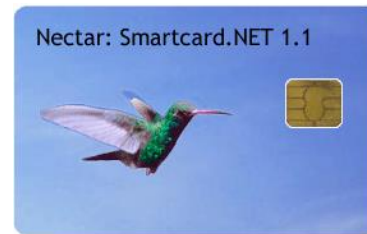
Moore's Law



Java VM and .NET VM



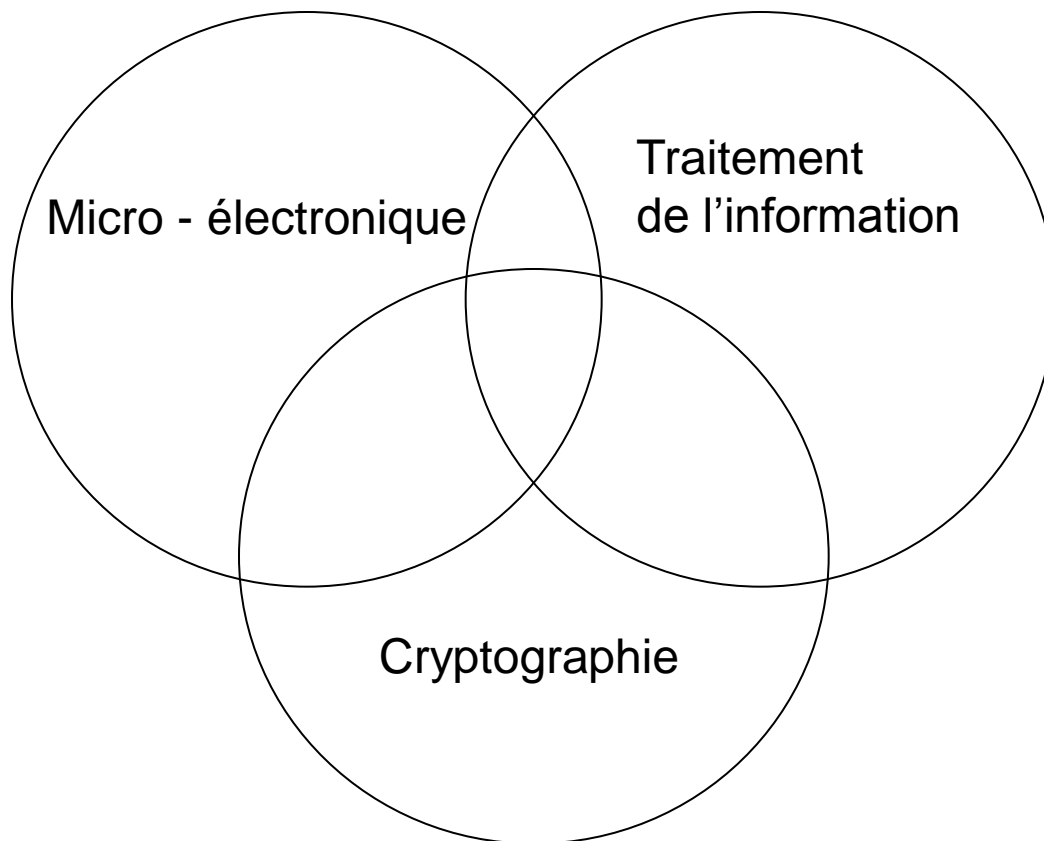
.JAVA



.CS

L'écosystème

L'écosystème de la *carte à puce*



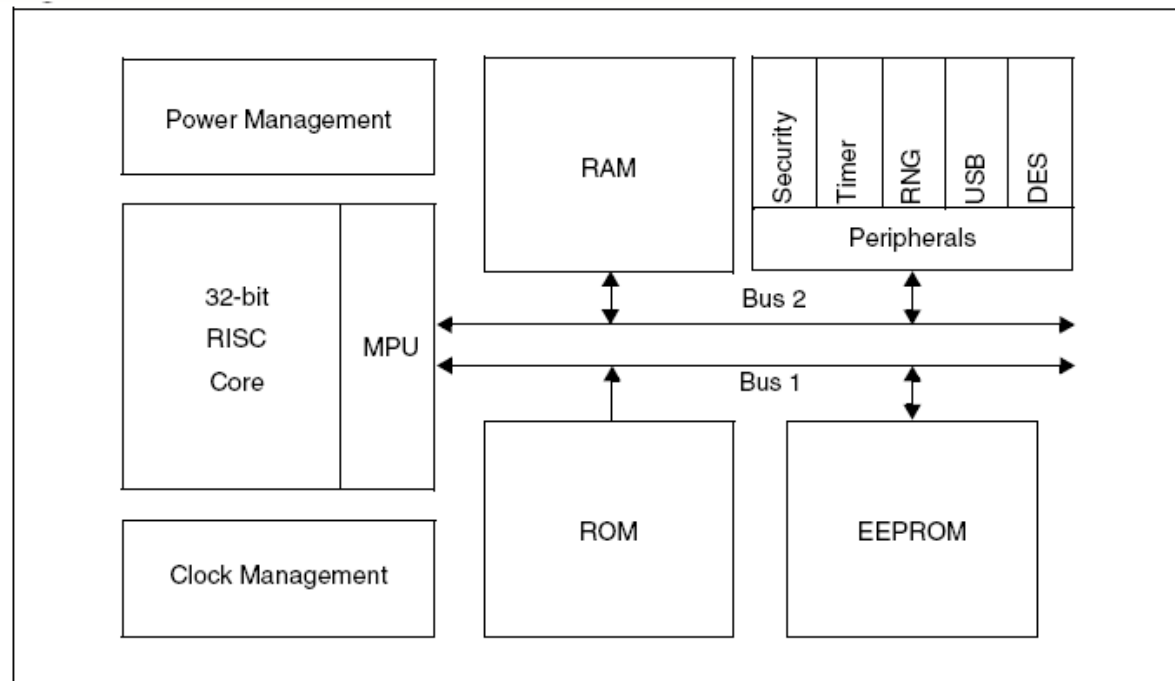
Comment ça marche ?

- Du silicium sécurisé
 - Notion de *Tamper Resistant Device*
- Un système d'exploitation dédié
 - Gestion des contre-mesures
- Des implémentations d'algorithmes cryptographiques adaptées
 - Parades des attaques connues

Des exemples de puces

Le micro-contrôleur ST-22

- Non-Volatile Memory
- USB with Suspend mode
- Central Interrupt Controller
- Timer
- Random Number Generator
- Clock Manager
- Memory Protection Unit
- Sensors
- Encryption Coprocessor (DES)
- Security



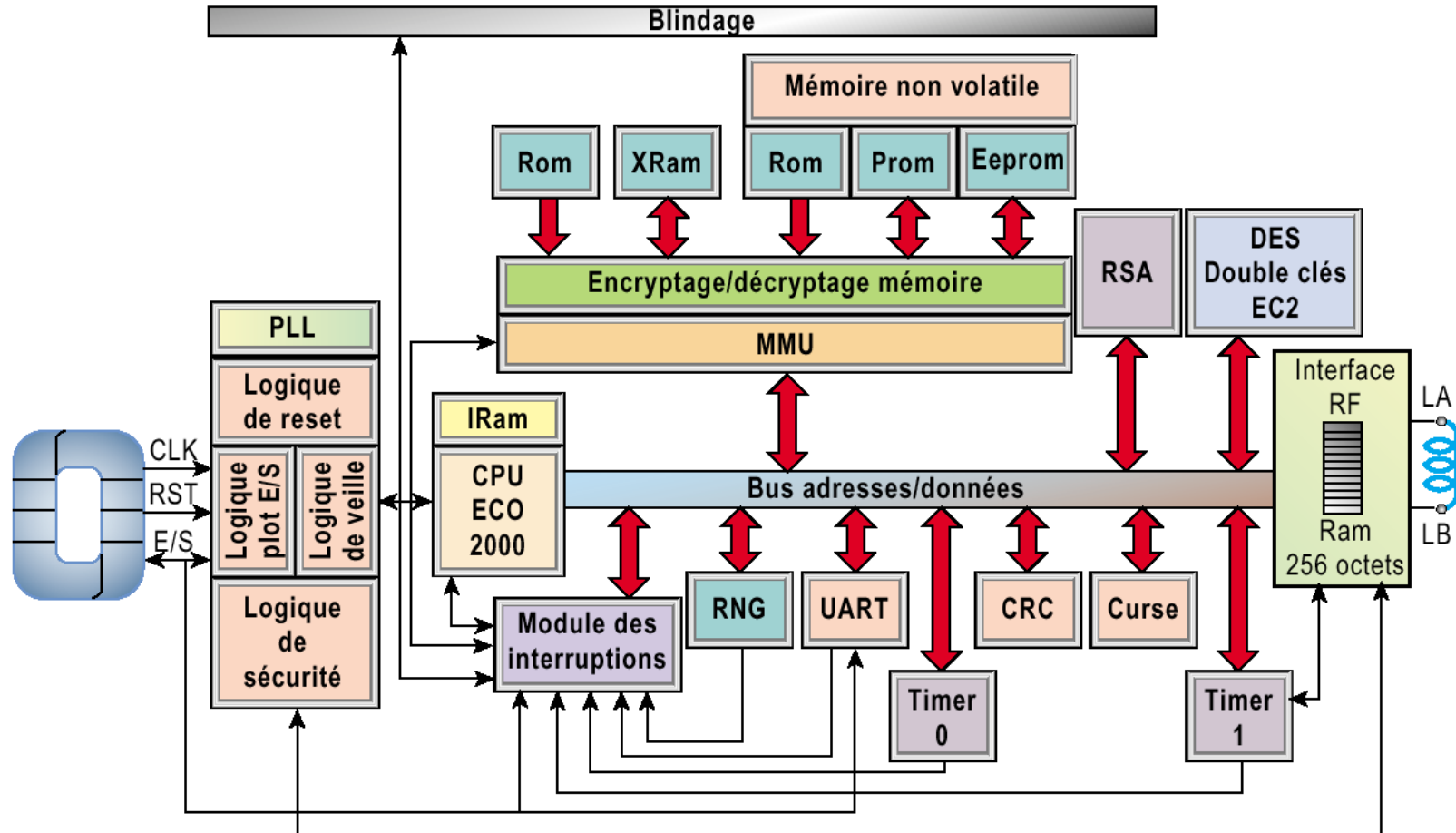
Performances de la *CryptoLib* du microcontrôleur ST22

Algorithm	Function	Time ⁽¹⁾
RSA 1024 bits	Signature with CRT	79.0 ms
	Signature without CRT ⁽²⁾	242.0 ms
	Verification (e=0x10001)	3.6 ms
RSA 2048 bits	Signature with CRT	485.0 ms
	Signature without CRT	1.7 s
	Verification (e=0x10001)	11.0 ms
DES	Triple	18 µs
	Single	8 µs
TDES ⁽³⁾	Triple (with keys loaded)	1.8 us
SHA-1	512-bit Block	194 µs
AES-128	Encryption including subkey computation	85 µs
Key generation	1024 bits key	2.7 s
	2048 bits key	23.1 s

1. Internal clock at 33 MHz

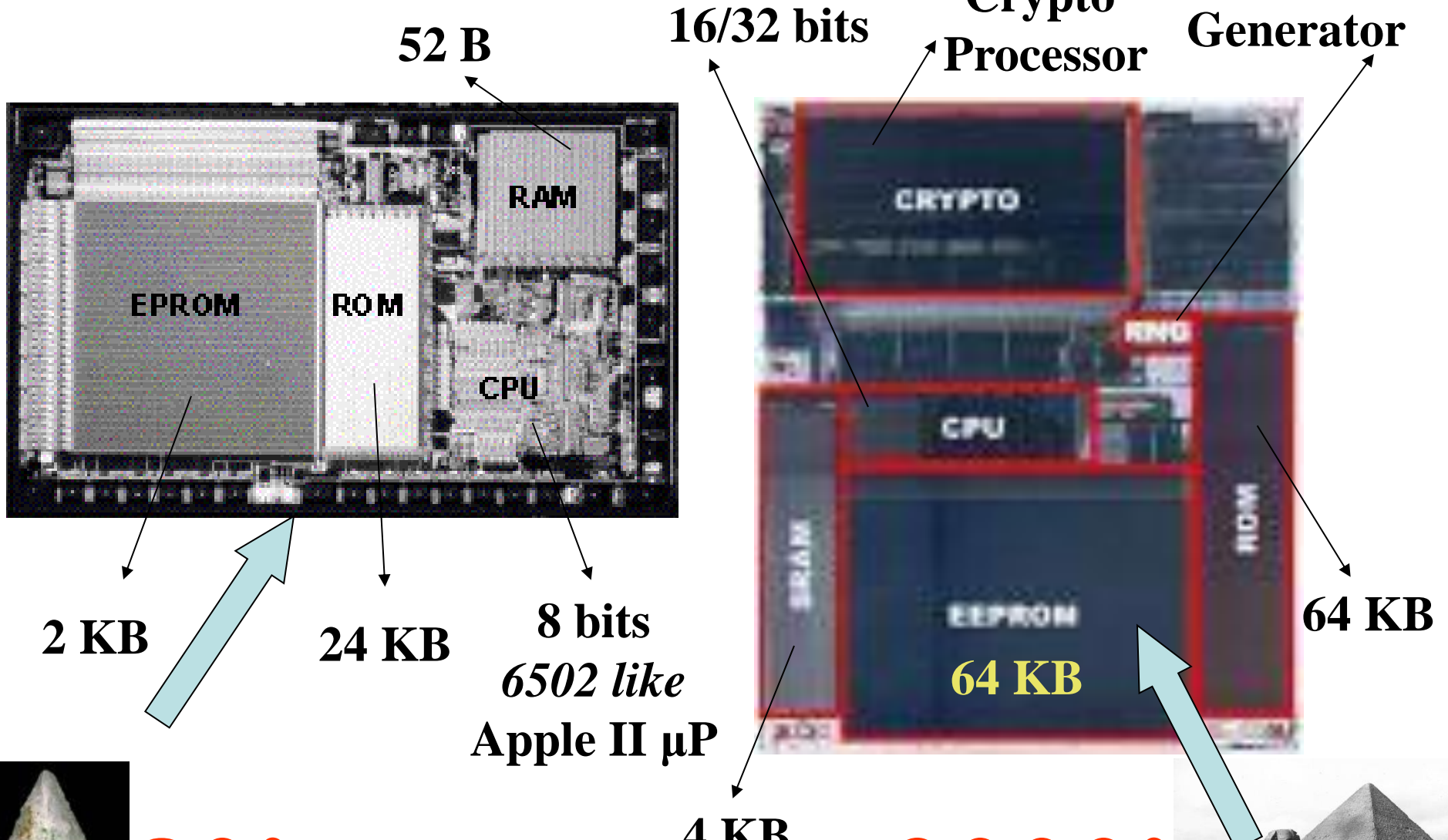
SLE66CLX320P Infineon

Le SLE66CLX320P d'Infineon réunit sur sa puce toutes les caractéristiques d'un microcontrôleur pour carte à puce: double interface avec contact et sans contact types A, B et FeliCa (premier produit compatible avec les trois types), CPU 16 bits, diverses mémoires, cryptoprocesseur et toutes les logiques de sécurité.



RNG : générateur de nombres aléatoires

La carte classique



80'

2000'



CPU- 8bit data bus CPUs are dominating the microcontroller smart cards as in the industry globally.

Favorite 8bit CPUs are : 8051, 6805, HC05, AVR etc....

8bit CPU complexity is ranging from 1500 gates to 6000 gates.

Using state of the art 0.35 µm technology, 8bit CPU consumes 0.3-0.6 mm² of silicon.

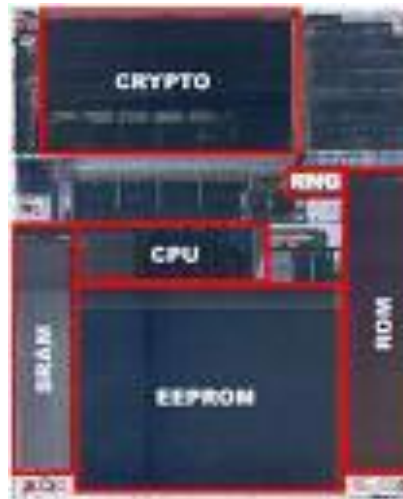
32 bit CPU complexity is in the 100 000 gates range.

EEPROM- capacity is ranging today between 8kBytes and 32kBytes.

Using state of the art 0.35 µm technology, 32kByte EEPROM consumes 4-6 mm² of silicon.

EEPROM program/erase uses internally generated high voltage (15-20V) and low current (nA/cell) but takes about 2ms per cell. To cope with the slow program/erase operation, 64Bytes are usually programmed at once in a Page mode mechanism. Main issue with the EEPROM functionality is its reliability expressed in data retention and program/erase cycling or endurance.

Access time to the data stored in the EEPROM is in the nanosecond range.



SRAM capacity ranges between 256 Bytes to 2k Bytes.

SRAM takes a lot of area on the IC since each memory cell consists of 6 transistors.

Using state of the art 0.35µm technology, 2kByte SRAM consumes 0.25-0.35mm² of silicon.

ROM capacity usually ranges between 8k Byte and 64k Bytes.

Since ROM unit memory cell is made of a single transistor, it is very dense.

Using state of the art 0.35 µm technology, a 64kByte ROM consumes 0.9-1.2mm² of silicon.

Access time to the Operating System microcode instruction is in the nanosecond range.

Multi application and needs for interoperability are requesting more complex operating system, and therefore larger ROM capacity (>64 k Bytes).

The current **Flash-EEPROM** memories are guaranteed for a data retention time of at least 10 years or at least 100.000 write/erase cycles. There is a considerable gain of writing time per memory access: to about 10µs with Flash, compare to 3-10 ms with normal EEPROM.

Les marchés

Les marchés 2012/2013

Contact

	2012	2013 forecast	2013 vs 2012 % growth
Telecom	5.100*	5.350	5%
Financial services	1.200	1.480	23%
Government - Healthcare	310	360	16%
Transport	135	160	19%
Pay TV	135	145	7%
Others	90	100	11%
Total	6.970	7.595	9%

Contactless

	2012	2013 forecast	2013 vs 2012 % growth
Financial services	295	455	54%
Government - Healthcare	170	210	24%
Transport	135	160	19%
Others	60	70	17%
Total	660	895	36%

Le Paiement Sécurisé

HSBC
MONEY GALLERY



*British Museum

MONEY TODAY



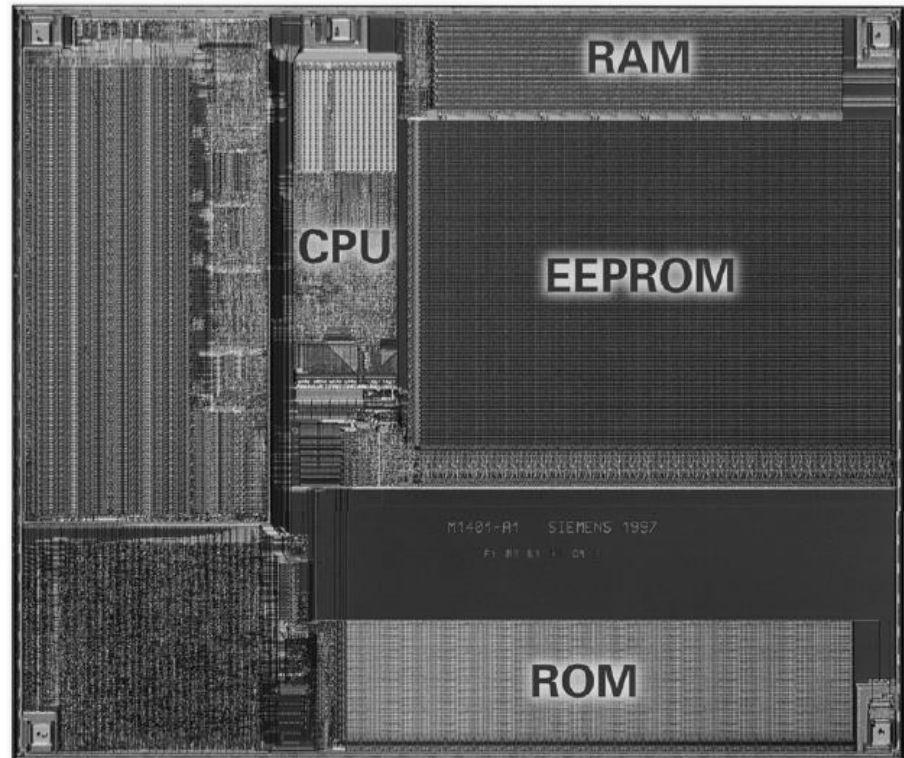
Case 17, Section 4
Actual size 85 x 54mm

The development of monetary technology continues today. A bank card permits the account holder to make payments by direct transfer and withdraw money from cash machines. Coins and notes now compete with a new generation of 'smart cards'. These contain microchips which store electronic cash to provide a fast, convenient way of paying.



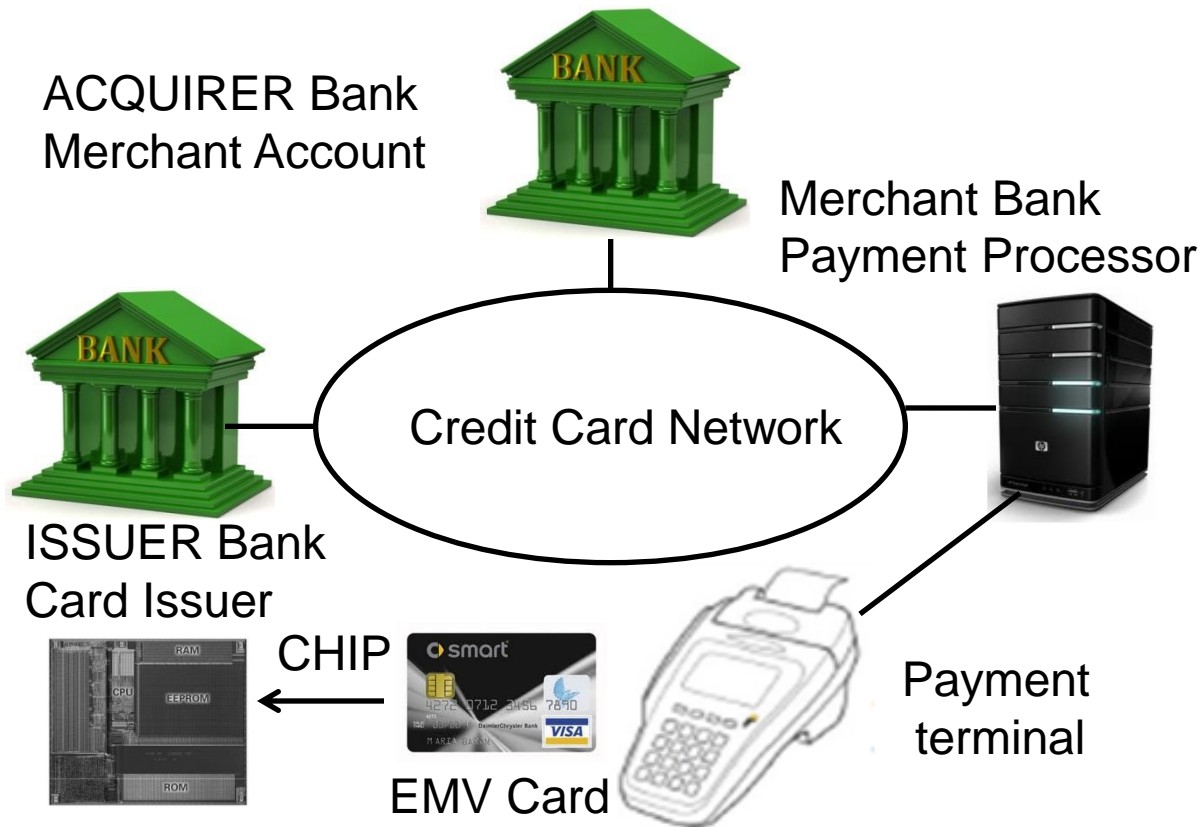
La carte SIM

- From the report of SIMEG#1 in January 1988
 - "A SIM is the physically secured module which contains the IMSI, an authentication algorithm, the authentication key and other (security related) information and functions. The basic function of the SIM is to authenticate the subscriber identity in order to prevent misuse of the MS (Mobile Station) and the network."

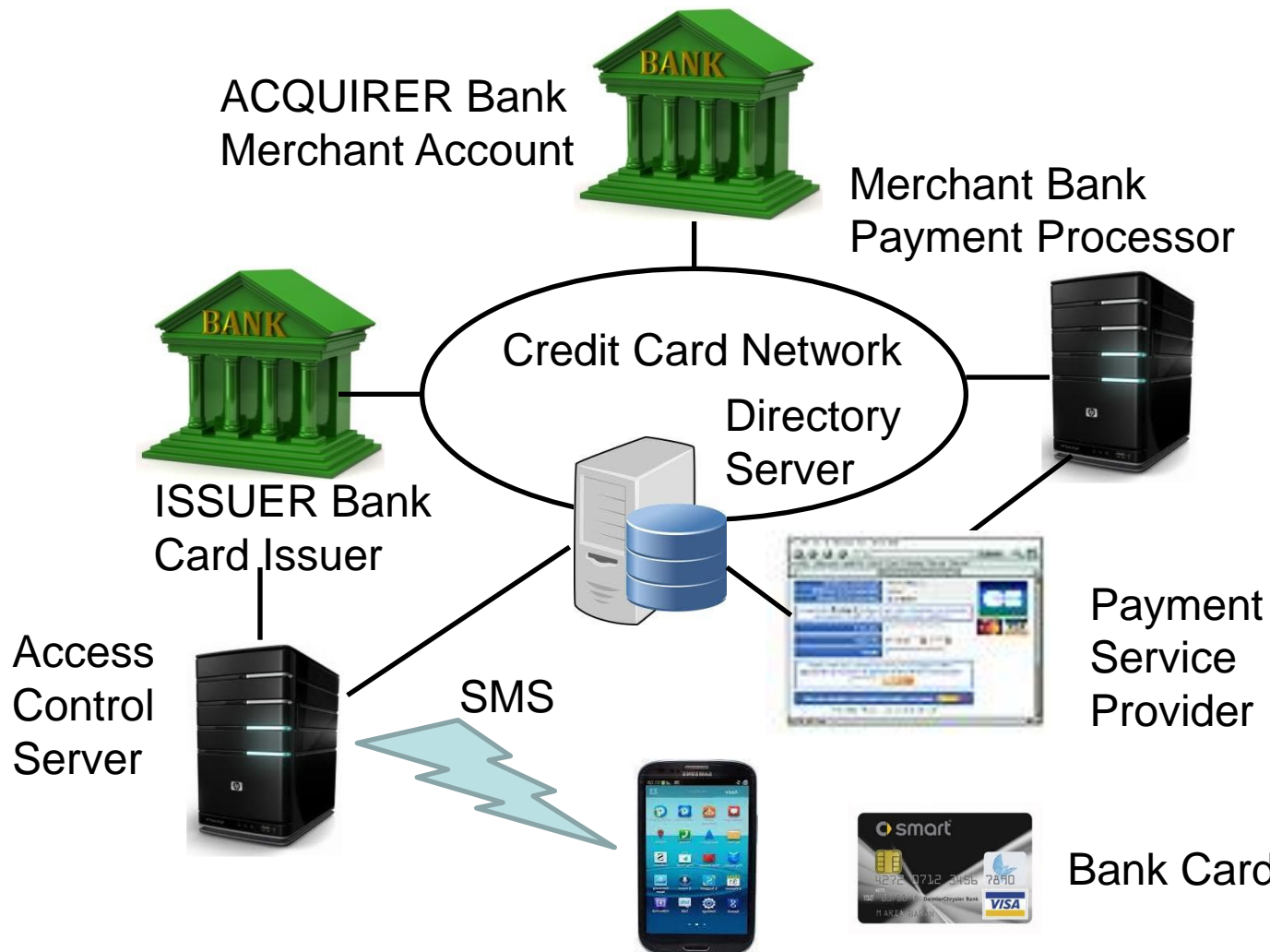


Siemens CHIP, 1997

Modèle de Paiement 4 coins



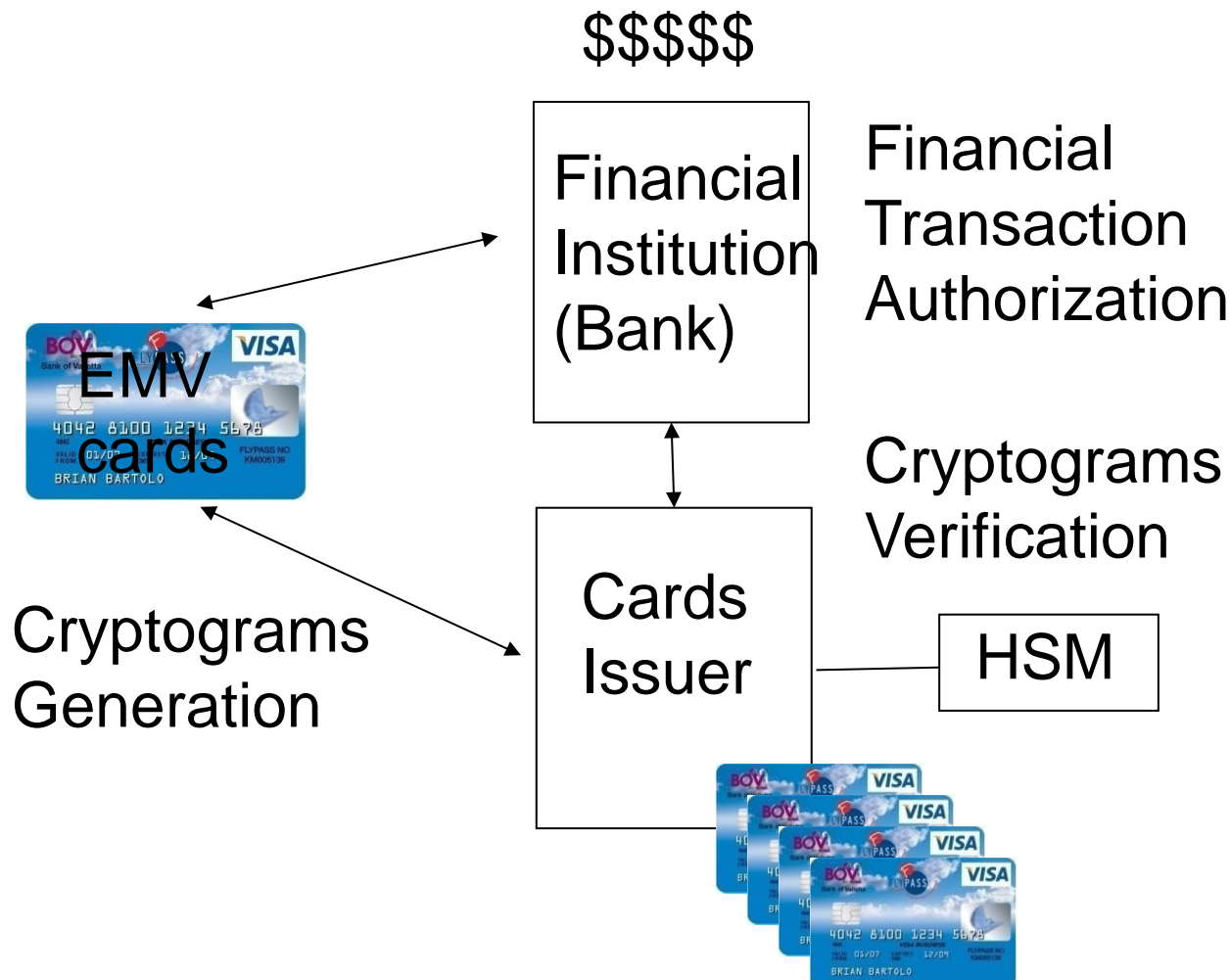
Modèle de Paiement En Ligne (3D Secure)



La Carte B0'

- Utilisée en France durant la période 1985-2000
 - Une mémoire de 2 Ko divisée en plusieurs zones :
 - Accès non restreint (lecture seulement)
 - Accès protégé par PIN code (lecture écriture)
 - Accès privé (administrateur seulement)
 - Le contenu de la zone publique est signé avec une clé RSA (authentification statique)
 - Les paramètres de transactions sont mémorisés dans la carte (date, montant)
 - La fonction TELEPASS dont l'accès est protégé par le PIN code génère un cryptogramme basé sur l'algorithme 3xDES.

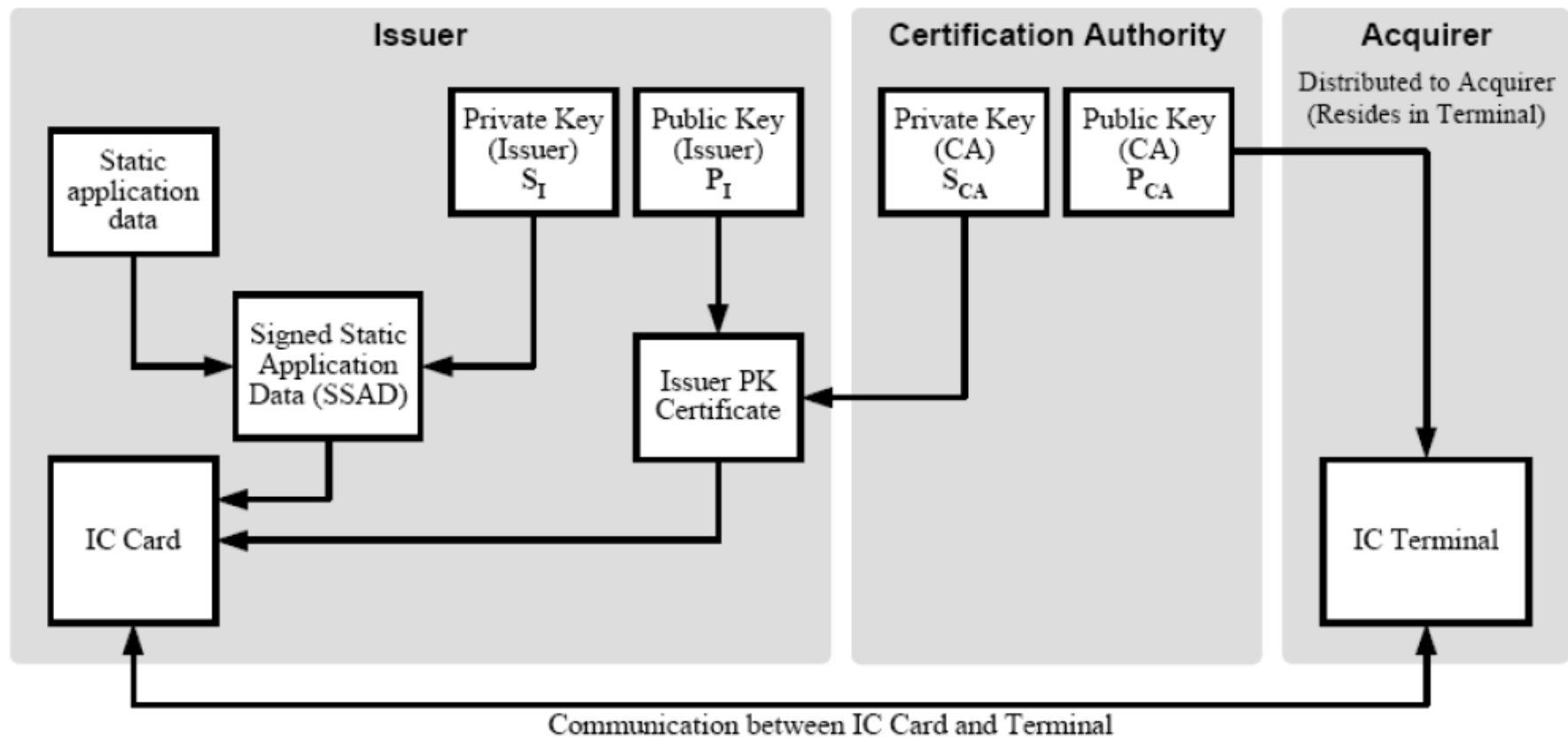
Le modèle EMV : EuroCard, MasterCard, Visa



Les Cartes EMV

- Logent de multiples applications EMV
- Chaque application EMV fournit un ensemble de procédures et de données
- Les données sont organisées sous formes de fichiers comportant des listes d'enregistrements
 - Les enregistrements contiennent un ensemble d'objets ASN.1 (Data Object, DO)
- Quelques données (Data Objects)
 - Primary Account Number (PAN)
 - Le numéro de la carte
 - Signed Static Application Data (SSAD)
 - Une signature (à l'aide de la clé privée de l'ISSUER) des informations stockées dans la carte.
- Quelques procédures
 - DDA, Dynamic Data Authentication, chiffrement d'un nombre de 32 bits avec la clé privée de la carte EMV
 - Génération de Cryptogramme, basé sur l'algorithme 3xDES avec des paramètres d'entrée tels que montant de la transaction et date
 - ARQC, Authorization Request Cryptogram (ARQC), début d'une transaction EMV.
 - AAC, Application Authentication Cryptogram, fin d'une transaction EMV

Certificats EMV

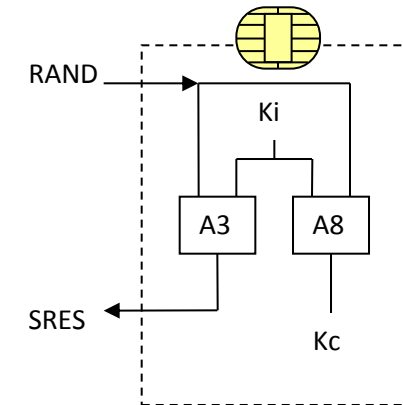
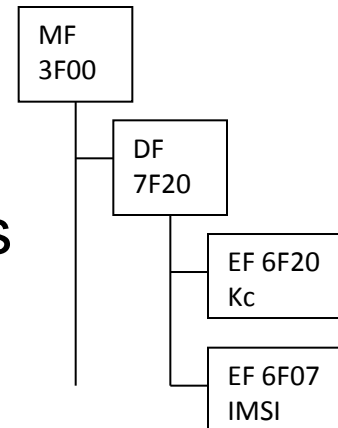


Exemple: ARQC

- >> 80AE8000 1D
 - 00 00 00 00 00 00, the transaction amount
 - 00 00 00 00 00 00, the cash back
 - 00 00, the national code of the payment terminal
 - 80 00 00 00 00, the terminal verification result
 - 00 00, the transaction currency code
 - 01 01 01, the transaction date
 - 00, the type of transaction
 - 12 34 56 78, a four bytes random value
- << 77 1E
 - 9F 27 01 80, Cryptogram Information Data
 - 9F 36 02 00 18, Application Transaction Counter (ATC)
 - 9F 26 08 80 29 D3 A0 BB 2A 5E 60, Application Cryptogram
 - 9F 10 07 06 7B 0A 03 A4 A0 00, Issuer Application data

La carte SIM

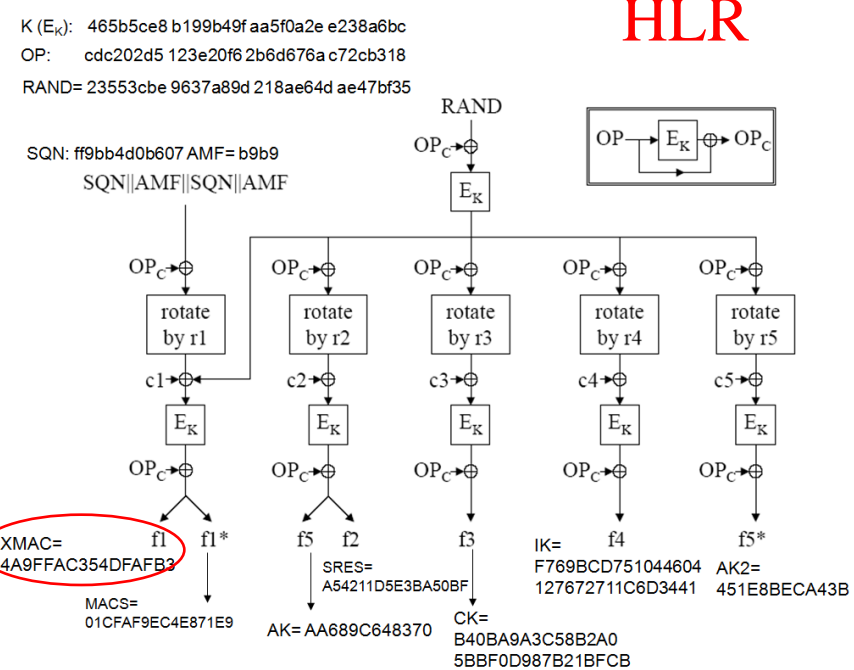
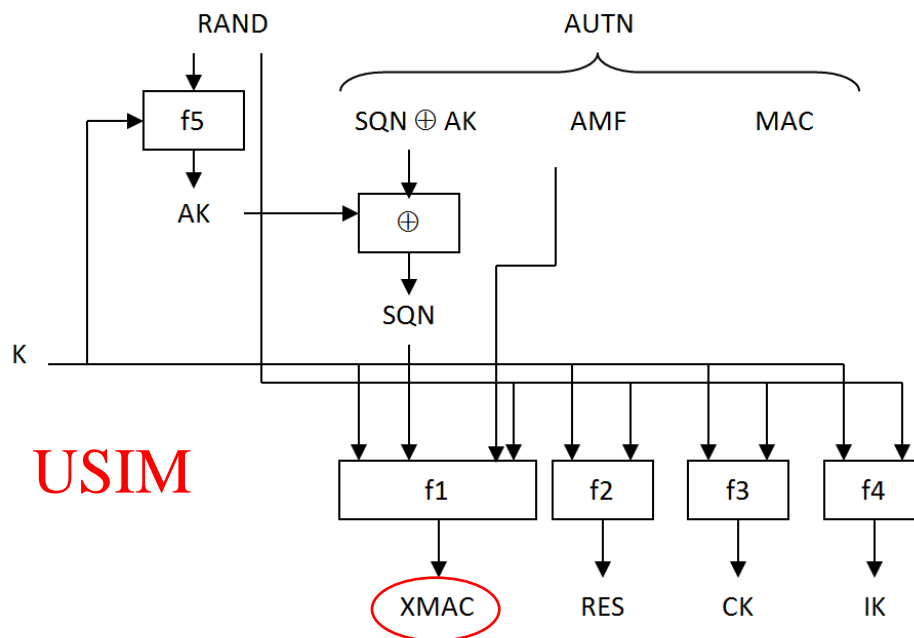
- L'information est organisée en répertoires et fichiers
- Quelques données
 - IMSI
 - Deux répertoires téléphoniques
 - Un fichier SMS
- Quelques procédures
 - RUN_GSM_ALGORITHM, calcule l'algorithme A3/A8



```
// Run_Gsm_Algorithm(RAND)          RAND
>> A0 88 00 00 10 01 [23 45 67 89 AB CD EF 01 23 45 67 89 AB CD EF]
<< 9F 0C
>> A0 C0 00 00 0C
<< [FE 67 7C 9D] [B8 DD F1 B1 DE 27 18 00] 90 00
                                         SRES      KC
```

La carte USIM

- Le module UICC stocke au moins une application USIM
 - Le fichier EF_DIR contient la liste des applications USIM
- Au moins deux applications peuvent être activées simultanément (notion de canaux logiques)
 - L'index de l'application est indiqué dans les deux derniers bits de l'octet CLA
- L'algorithme d'authentification AKA est réalisé par la commande AUTHENTICATE (INS=88) command
- Exemple
- >> 00 88 00 00 20 RAND || AUTN
- << DB 28 SRES || CK || IK 9000
 - AUTN:= SQN \oplus AK || AMF || XMAC



Le Passeport Electronique

- Le passeport électronique est décrit par les normes ICAO 9303 (part 1,2,3)
- L'application passeport gère un ensemble de fichiers
 - EF.COM, la liste des fichiers stockés dans le passeport
 - EF.DG1, la copie des informations imprimées dans le MRZ (Machine Readable Zone)
 - EF.DG2, contient une photo biométrique du propriétaire du passeport
 - EF.DG3 contient les empreintes digitales. Le contenu est chiffré ou protégé par une procédure d'authentification nommée EAC (Extended Access Control)
 - EF.DG11 diverses informations additives sur le propriétaire du passeport
 - EF.DG12 diverses informations additives sur le passeport
 - EF.DG15 stocke la clé publique (RSA) optionnelle utilisée par le mode AA (*Active Authentication*)
 - EF.SOD contient la signature du contenu du passeport.

Le Passeport Electronique

- L'accès aux données du passeport est protégé par trois types de procédures
 - **BAC**, *Basic Access Control*. Une clé maître (kseed) est déduite du contenu MRZ. Deux clés sont calculées à partir de kseed et de deux valeurs aléatoires. Elles sont utilisées pour le chiffrement et l'intégrité des données échangées entre le passeport et le lecteur sans contact.
 - **AA**, *Active Authentication*. Une clé RSA privée stockée dans le passeport prouve l'authenticité du passeport (mesure anti-clonage).
 - **EAC**, *Extended Authentication Access*. Une procédure réalisant une mutuelle authentification (Diffie-Hellman sur courbe elliptique) entre le passeport et le lecteur sans contact..

ZONE
MRZ

P<UTOERIKSSON<<ANNA<MARIA<<<<<<<<<<<<
L898902C<3UT06908061F9406236ZE184226B<<<<14

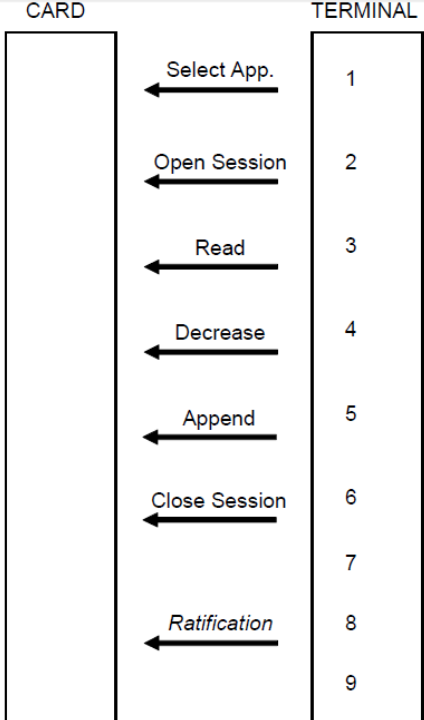
La carte Navigo

- Conforme à la norme Calypso (www.calypsostandard.net), semi propriétaire
 - Application AID: "1TIC.ICA AID"
 - Select AID 00A40400 0C 315449432E49434120414944
- Un système de gestion de fichier dont l'accès en écriture est sécurisé par un protocole propriétaire
- L'information est enregistrée selon la norme expérimentale française Intercode, " Règle d'interopérabilité pour le codage des données billettiques (révision II, 30/09/2003) ".
- Au niveau du Master File (MF, 3F00), deux fichiers stockent des informations sur le type de puce (ICC) ou sur le porteur de la carte (ID)
- EF_ICC= 0002 (lecture), EF_ID=0003 (auth. Required)
 - Select MF 94A40000 02 3F00
 - Select EF_ICC 94A40000 02 0002
- Le répertoire Calypso (DF-Calypso =2000) loggent les principaux fichiers
 - EF_Env =2001, Environment (1 record), EF_Contracts =2020 (4 records) , EF_Events 2010 (3 records).

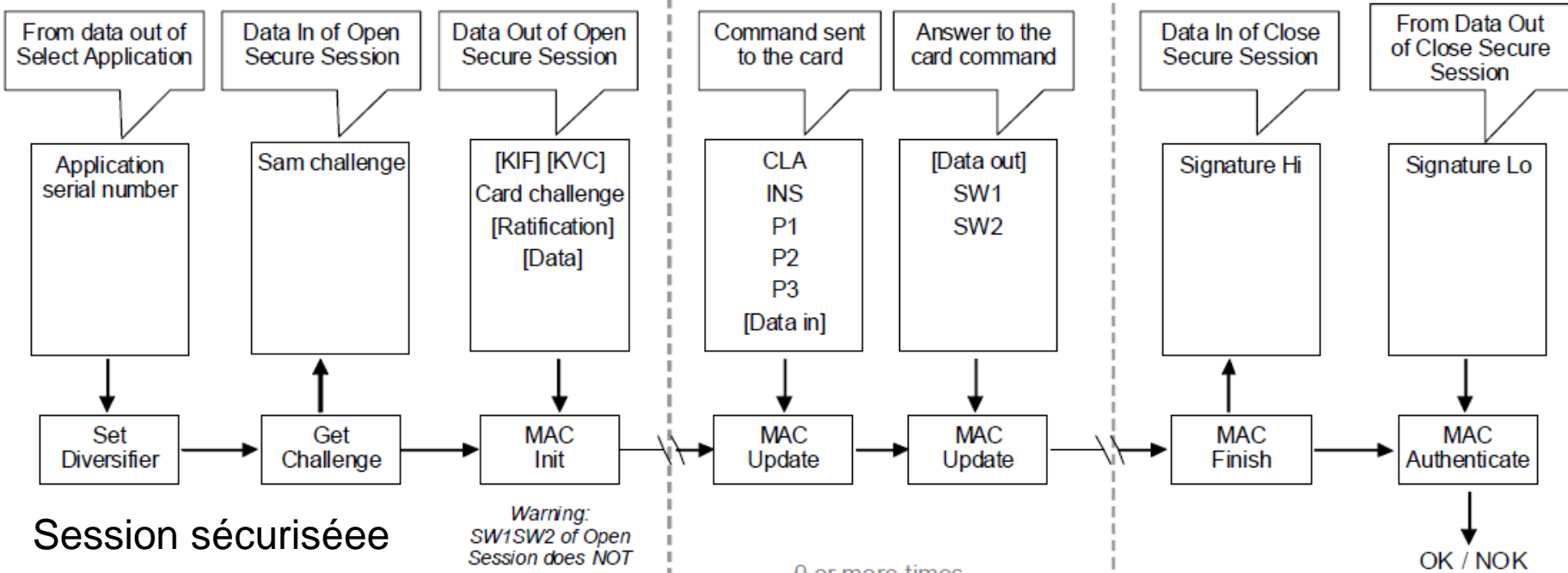
Divers Calypso

Environment	LID: \$2001 SFI:\$07 Linear, 1 record
Contracts	LID: \$2020 SFI:\$09 Linear, 4 records
Counters	LID: \$2069 SFI:\$19 Counters, 9 counters
Events Log	LID: \$2010 SFI:\$08 Cyclic, 3 records
Special Event	LID: \$2040 SFI:\$1D Linear, 1 record
Contract List	LID: \$2050 SFI:\$1E Linear, 1 record

Fichiers Calypso



Exemple de session en mode “débit”

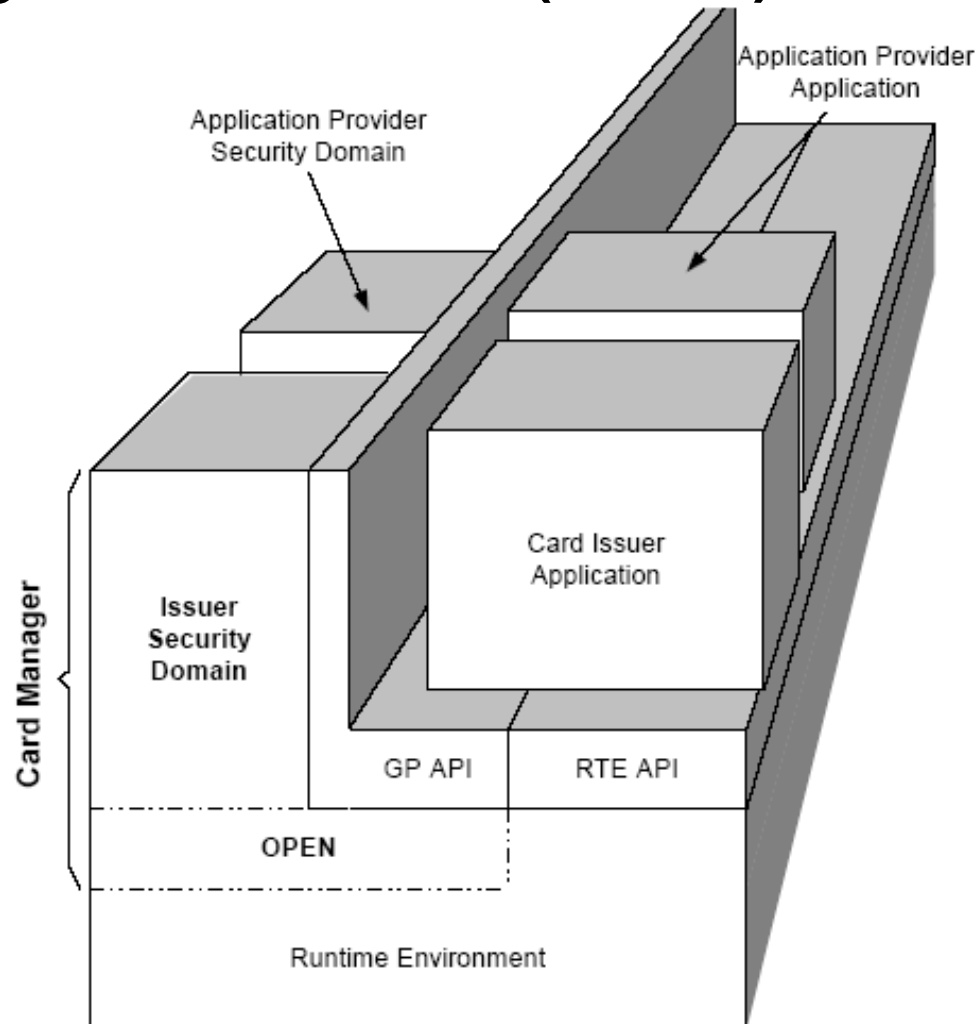


Exemple de dialogue

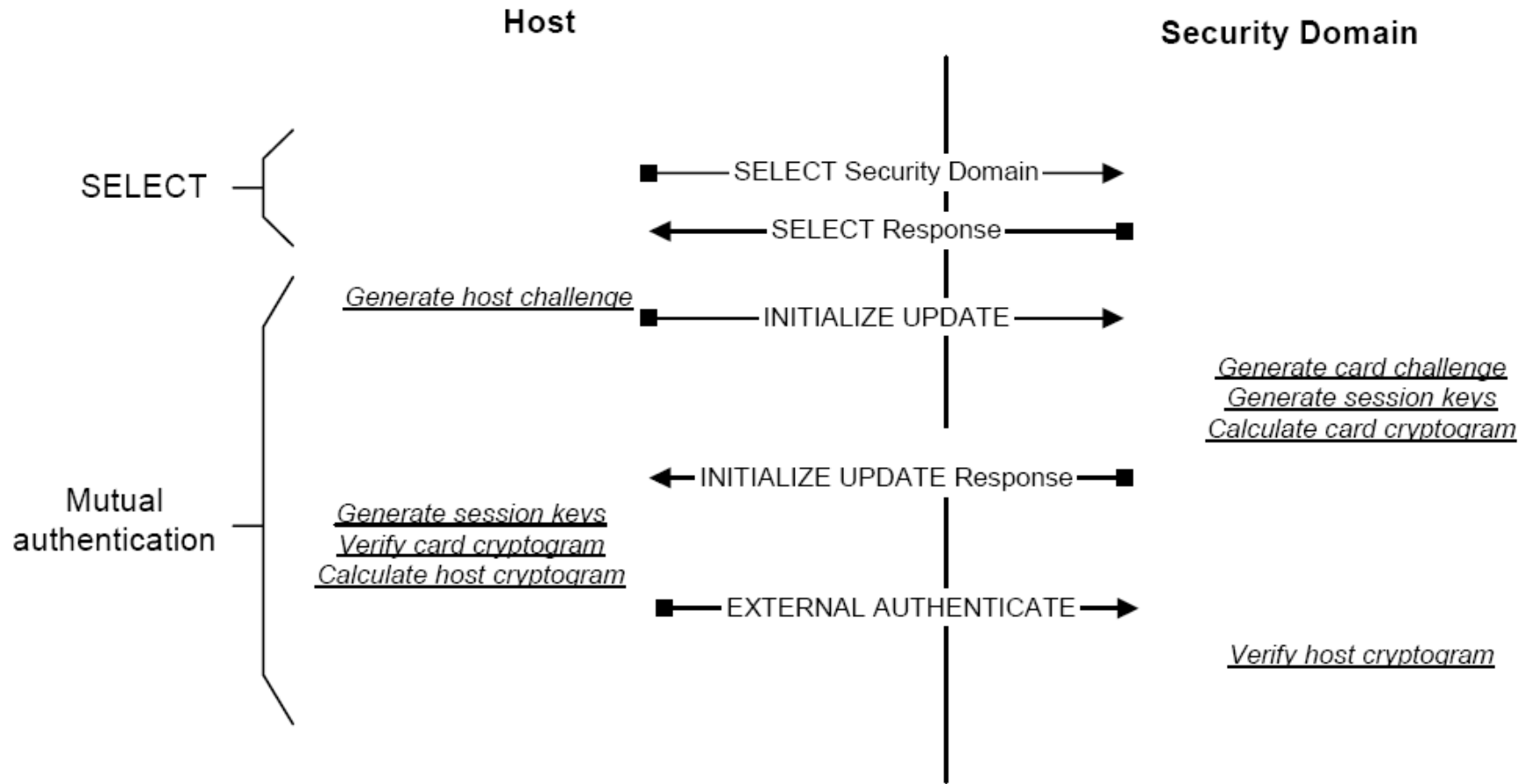
Les normes Global Platform (GP)

Issuer Security Domain (ISD)

- Une application qui gère le chargement et l'activation de logiciels embarqués
- Une application embarquée comporte trois états :
 - INSTALLED
 - SELECTABLE
 - LOCKED



Mutuelle Authentification: clés de chargement



SCP 01

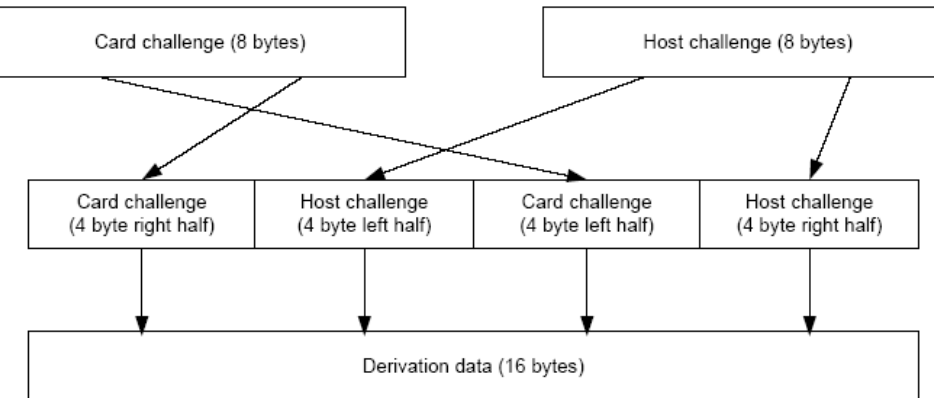


Figure D-3: Session Key - Step 1 - Generate Derivation data

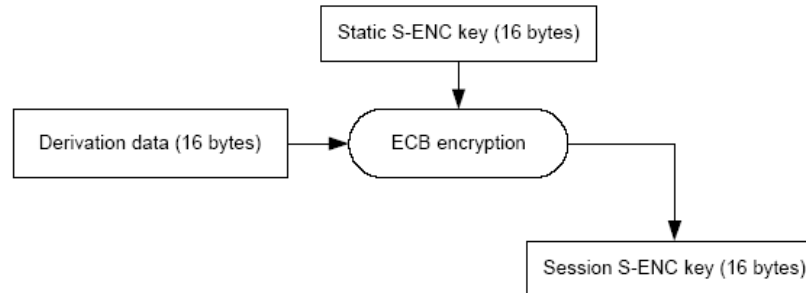


Figure D-4: Session Key - Step 2 - Create S-ENC Session Key

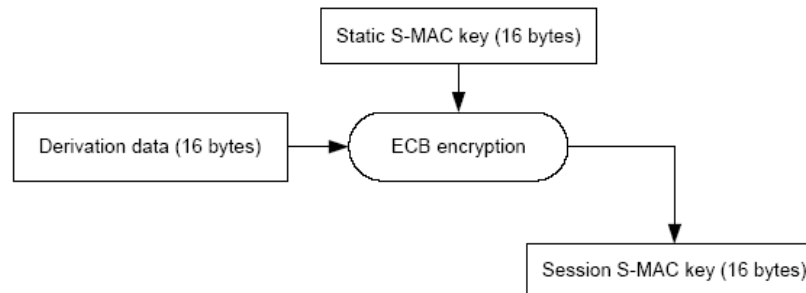


Figure D-5: Session Key – Step 3 - Create S-MAC Session Key

SCP02

Clé	Constante
C-MAC	0101
R-MAC	0102
S-ENC	0182
DEK	0181

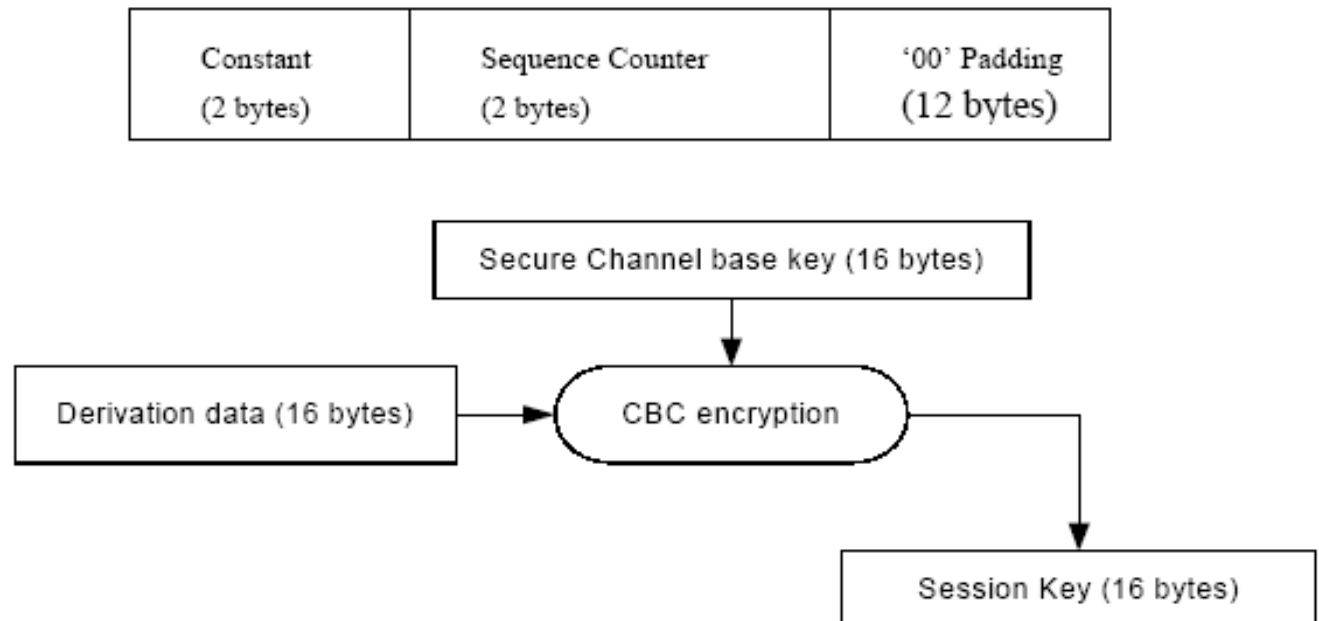


Figure E-2: Create Secure Channel Session Key from the Base Key

Principales Commandes

- DELETE. Destruction d'un objet tel que application ou clé.
- GET DATA. Lecture d'une information identifiée par un TAG, plus particulièrement une clé.
- GET STATUS, Lecture d'informations telles que liste d'applications, liste de domaine de sécurité, ou état d'un cycle de vie géré par un domaine de sécurité.
- INSTALL. Commande adressée à un domaine de sécurité pour gérer les différentes étapes de l'installation d'une application
- LOAD. Chargement d'un fichier. Cette commande est généralement précédée de l'APDU INSTALL [for load] qui indique des options de chargement.
- PUT KEY. Créditaison mise à jour ou destruction de clés
- SELECT. Sélection d'une application
- SET STATUS. Modification de l'état d'un cycle de vie
- STORE DATA. Transfert de données vers une application ou un domaine de sécurité

Le modèle VISA*

KMC-ID (6B) CSN (Chip Serial Number, 4B)

*EMV Card Personalization

KMC (DES Master Key for Personalization Session Keys)

Specification Version 1.1 July
2007

KEYDATA = KMC_{ID} || CSN

KENC := DES3(KMC)[Six least significant bytes of the KEYDATA || F0 || 01] ||
DES3(KMC)[Six least significant bytes of the KEYDATA || OF || 01].

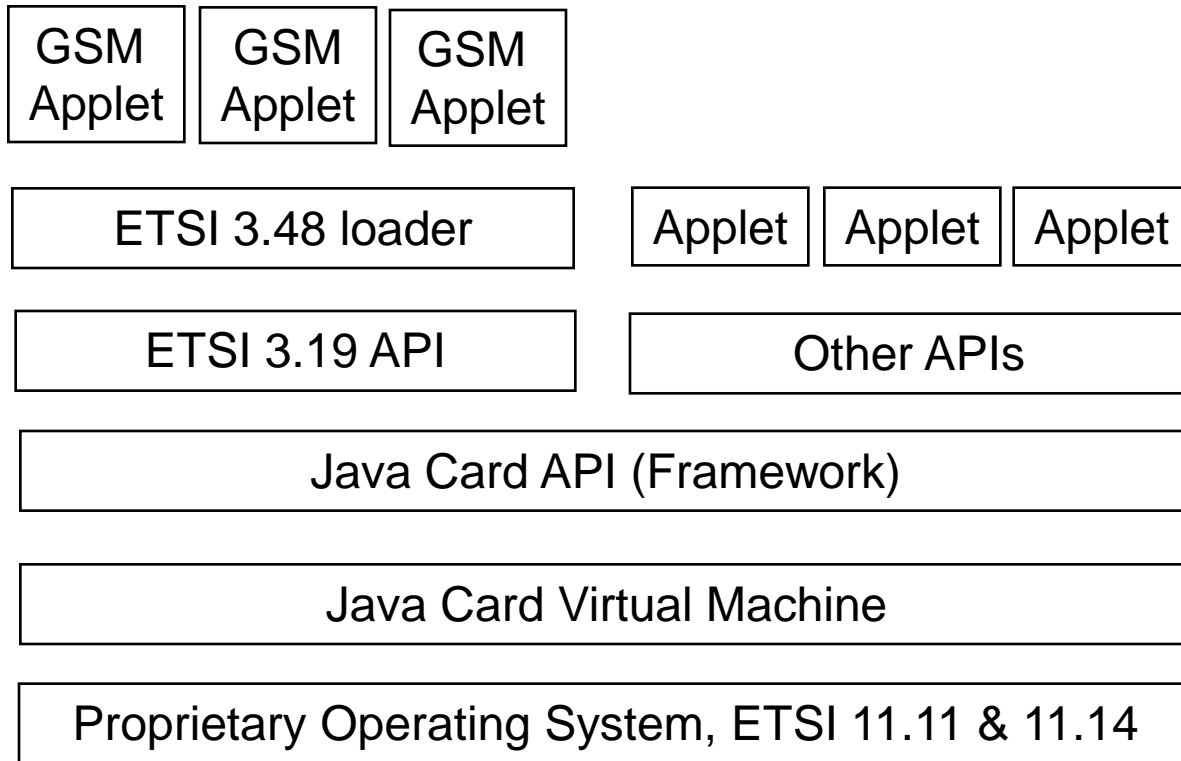
KMAC := DES3(KMC)[Six least significant bytes of the KEYDATA || 'F0' || 02] ||
DES3(KMC)[Six least significant bytes of the KEYDATA || 'OF' || 02].

KDEK := DES3(KMC)[Six least significant bytes of the KEYDATA || 'F0' || 03] ||
DES3(KMC)[Six least significant bytes of the KEYDATA || 'OF' || 03]

Session Key	IC Card Key	Derivation Data
SKU _{ENC}	K _{EBC}	'0182' sequence counter '0000000000000000000000000000'
SKU _{MAC}	K _{MAC}	'0101' sequence counter '0000000000000000000000000000'
SKU _{DEK}	K _{DEK}	'0181' sequence counter '0000000000000000000000000000'

La Pile GSM

Pile GSM



GSM 3.48

Au sujet de GSM 3.48

- Le standard 3GPP TS 03.48 "Digital cellular telecommunications system (Phase 2+);Security mechanisms for SIM application toolkit;Stage 2", définit un mécanisme de transport sécurisé pour des commandes APDU.
- Les messages TS 03.48 contiennent des requêtes et des réponses ISO7816, et sont transportés dans des SMS de type SMS-DELIVER dans le sens serveur vers carte SIM, et SMS-SUBMIT en sens inverse.
- Le format des SMS est détaillé par la norme GSM 03.40, "Technical realization of the Short Message Service (SMS) Point-to-Point (PP)".
- Un SMS comporte un entête et un contenu, ce dernier se divise un préfix 03.48 et une charge : une requête ou une réponse ISO 7816, avec ou sans chiffrement.

ISO7816-4

GSM 3.48

SMS GSM 3.40

Paquet de Commande 1/2

```
// Commande
80C20000 77 // ENVELOPE (INS=C2), length= 77
D1 75 // SMS-PP download TAG=D1
82 02 83 81 // Source ME(83) - Dest SIM(81)
86 02 80 F0
8B 6B // TAG= 8B, SMS-TPDU, length=6B
60 // TP-MTI=00, SMS DELIVER, TP-UDHI=1, TP-SRI=1
01 80 F0 // TP-OA (2-12 octets)
7F // TP-PID
F6 // TP-DCS
00 00 00 00 00 00 00 // TP-SCTS
5D // TP-UDL
02 70 00 // UDHL=02 IEI=70 IEIDL=00
0058 // CPL
```

Paquet de commande 2/2

15 // CHL

06 // SL = Cryptographic Checksum (CC) , Ciphering

19 // RL= PoR ciphered, CC applied to PoR, PoR required

15 // KIC, KeyIndex=1, TripleDES, 2 keys

15 // KID, KeyIndex=1, TripleDES, 2 keys, CC= ISO 9797 padding method 1

00 00 00 // TAR

// Zone chiffrée

655C7380462D62252E87CB2F4A8FD407CED82C9BBA8945C23AD03A9CF90
A95FBAC8572A53E38A75594F89B5D8BE025938CC2270E186ECF53A772481
BABEA1687A111FDCBA047CD4D1F5C029D41E200

// Valeur déchiffrée

00000009C // CNTR

05 // PCNTR, 5 octets de bourrage

A7A4B0B5A8A273A5 // RC/CC/DS

80E6 0C00 38 // APDU ISO7816

05A00000003010A0000000300002FFFFFFFF893132330010A0000000300002
FFFFFFFF893132330001000CEF08C8020000C7020000C90000
0000000000 // 5 octets de bourrage

Paquet de Réponse

6121

00C00000 21 // GSM 3.48

02 71 00 // UDHL=02 IEI=70 IEIDL=00

001C // RPL

12 // RHL

00 00 00 // TAR

// Zone chiffrée

6CC7F00F6632C2E31E40B12539FD8F6F65024D824C32F295

// Valeur déchiffrée

000000009C // CNTR

06 // PCNTR, 6 octets de bourrage

00 // Statut de la réponse = OK

BD1D9F0BC5499B64 // RC/CC/DS

016101 // Réponse ISO7816

000000000000 // 6 octets de bourrage

Mode de calcul du CMAC

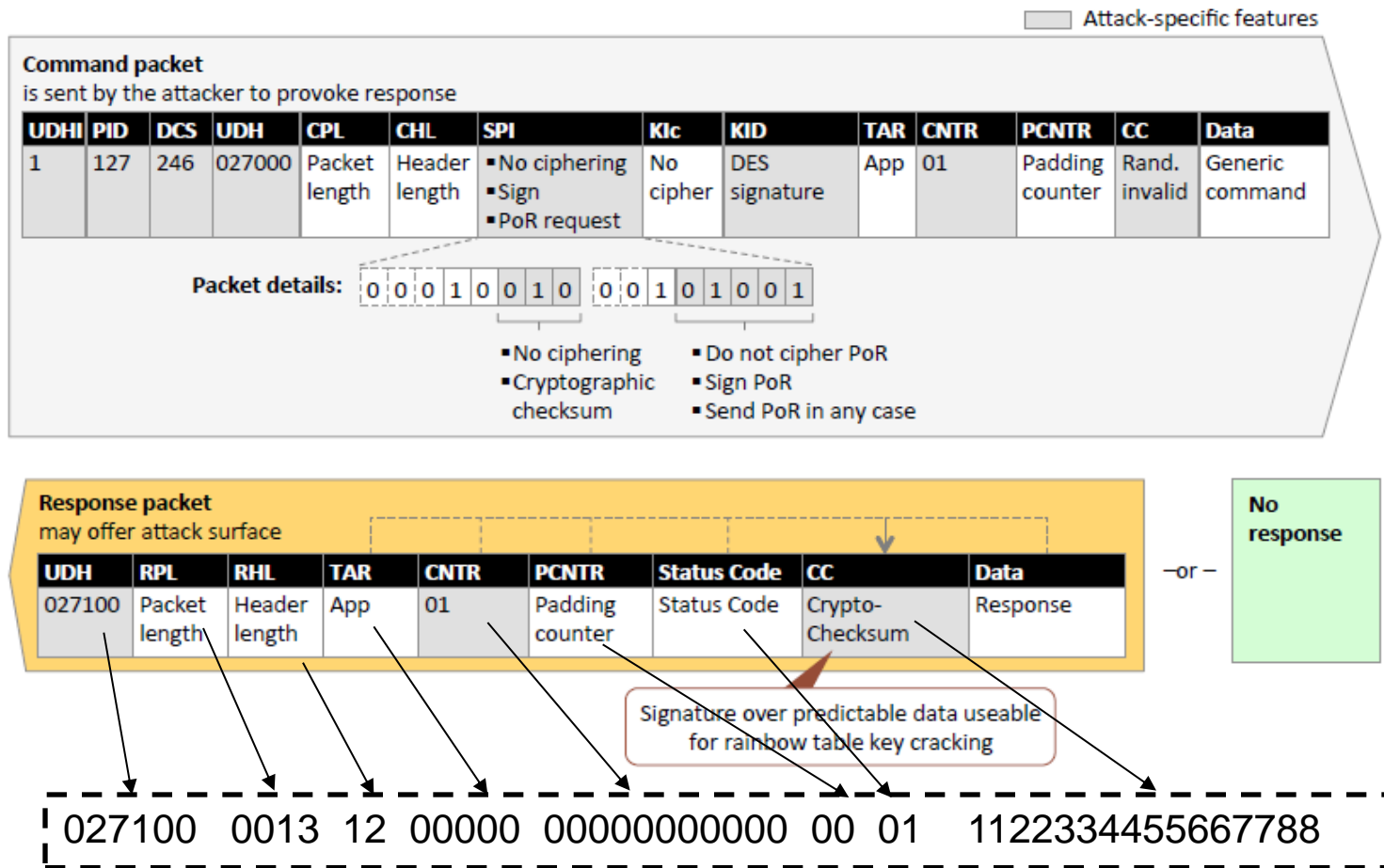
- Pour un paquet de commande le calcul s'applique sur
 - CPL || CHL|| SPI || KIC || KID || TAR || CNTR || PCNTR || SD,
- c'est-à-dire que l'élément RC/CC/DS n'est pas pris en compte.
- Pour un paquet de réponse le calcul s'applique sur
 - UDHL || IEI || IEIDL || RPL || RHL || TAR || CNTR || PCNTR || SD,
- c'est-à-dire que l'élément RC/CC/DS n'est pas pris en compte.

"Rooting SIM cards", Karsten Nohl, Black Hat 2013

<https://media.blackhat.com/us-13/us-13-Nohl-Rooting-SIM-cards-Slides.pdf>

Attacker SMS asks for DES-signed SMS response with fully predictable content

One SMS is sufficient to break a TSM 56 bits key !



SIM Tool Kit

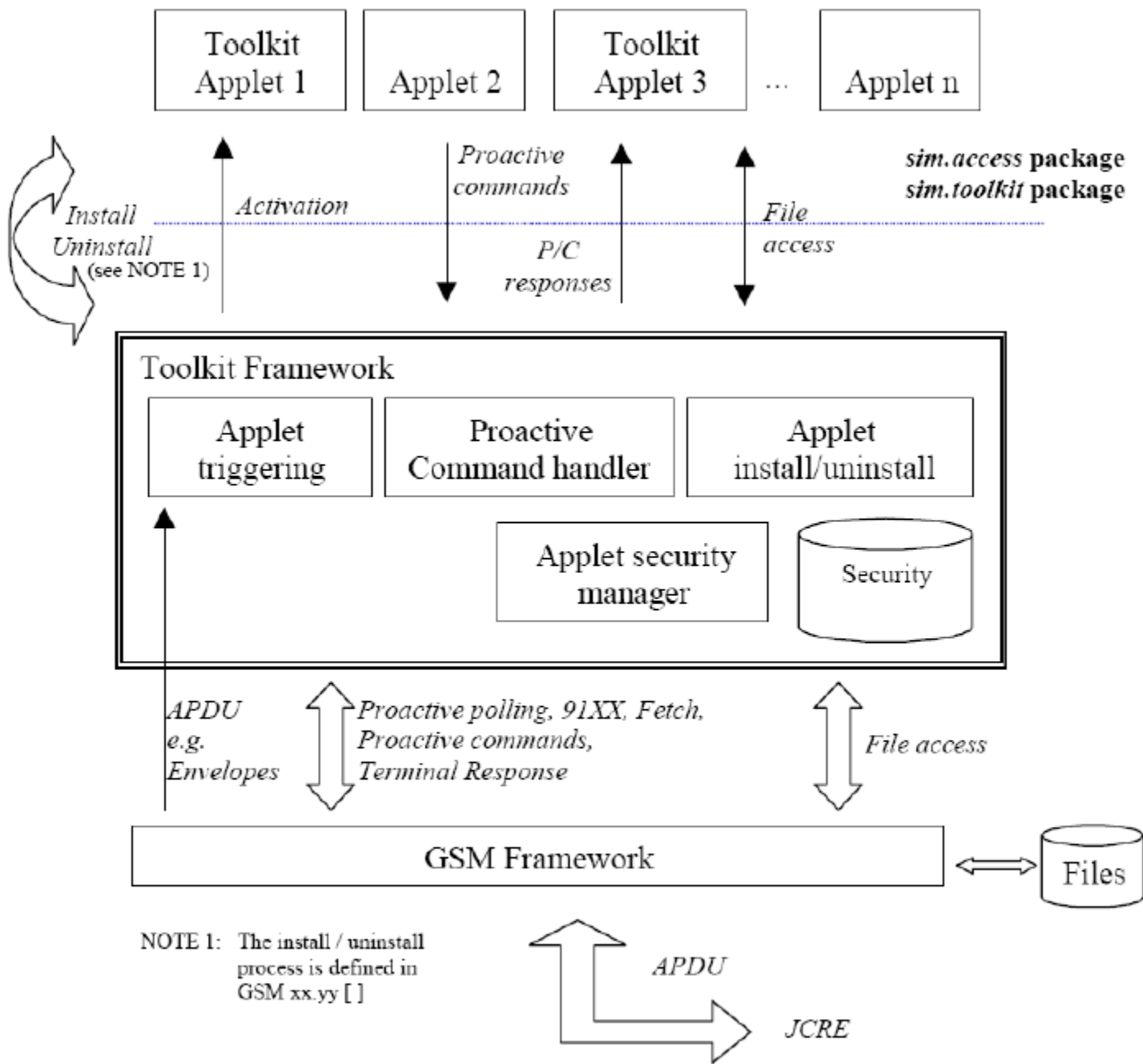
GSM 3.19

GSM 3.19

- La norme GSM 3.19 introduit la notion de Toolkit Applet dont les services sont hérités des paquetages sim.toolkit et sim.access.
 - Le premier permet de s'enregistrer à des évènements particuliers et de produire des commandes proactives,
 - le deuxième offre des facilités pour accéder au système de fichier de la carte SIM depuis un applet embarqué JAVA.

GSM

3.19



SIM ACCESS

- L'accès aux services de sim.access s'effectue à l'aide d'un objet JAVA SIMView dont une instance est obtenue par le constructeur de l'applet embarqué
 - `SIMView myView= SIMSystem.getTheSIMView();`
- La classe SIMView réalise des opérations classiques (sélection, lecture, écriture) avec le système de fichier de la SIM, telles que par exemple
 - `select(short, byte[], short, short)`, sélectionne au répertoire DF ou un fichier EF et retourne son entête FCI
 - `readBinary(short, byte[], short, short)`, lecture des données d'un fichier linéaire
 - `readRecord(short, byte, short, byte[], short, short)` lecture d'un fichier à enregistrements
 - `updateBinary(short, byte[], short, short)` écriture dans un fichier linéaire
 - `updateRecord(short, byte, short, byte[], short, short)` écriture dans un fichier à enregistrement

SIM Tool Kit

- Un applet SIM Tool Kit implémente une interface *ToolkitInterface*, c'est-à-dire qu'il contient obligatoirement une méthode
 - public void processToolkit(byte event)
- qui réalise le traitement des événements notifiés par le terminal à la SIM au moyen d'APDUs ENVELOPE.
- Le constructeur d'un tel applet s'enregistre pour les événements qu'il désire traiter à l'aide d'un objet *ToolkitRegistry*,
 - ToolkitRegistry reg = ToolkitRegistry.getEntry();
- // register to the EVENT_UNFORMATTED_SMS_PP_ENV
reg.setEvent(EVENT_UNFORMATTED_SMS_PP_ENV);
- Dès lors les événements sollicités seront routés par le système d'exploitation de la SIM vers la méthode processToolkit(*byte event*).

// Select DF GSM (7F20)

A0 A4 00 00 02 7F 20

// 9F 1A

A0 C0 00 00 1A

// 90 00

// Verify CHV1 "1111"

A0 20 00 01 08 31 31 31 31 FF FF FF FF

// 90 00

// Select EF_Phase

A0 A4 00 00 02 6F AE

// 9F 0F

A0 C0 00 00 0F

// 00 00 00 01 6F AE 04 00 04 FF 44 01 01 00 00

90 00

A0 B0 00 00 01

// 02 90 00 Phase_2 03<=> phase 2 and

PROFILE DOWNLOAD REQUIRED (2+)

// Terminal Profile

A0 10 00 00 04 EF FF FF FF

GSM 3.19

// UNFORMATTED

A0C20000 1F D1 1D 82 02 83 81 8B 17 04 00 A1 7F
F6 99 01 01 01 02 03 40 0A 01 14 00 06 0D 20 00 00
00 00

// 91 76

A0 12 00 00 76

// D0 68

// 81 03 01 13 00

// 82 02 81 83

// 0B 5D

// 01 A5 0B

// 91 21 43 65 87 90 F8 00 04 50 02 14 00 50 0D 80

// 00 00 00 46 16 03 01 00 41 01 00 00 3D 03 01 3F

// AA 2B 6A 08 BD D2 85 B4 3D 1F 3B C9 71 5F C9 F8

// 5F C4 53 FE 58 F3 A9 E0 7F F3 97 CD 65 39 22 00

// 00 16 00 04 00 05 00 0A 00 09 00 64 00 62 00 03

// 00 06 00 13 00 12 00 63 01 00 90 00

// terminal Response

A0 14 00 00 0C 81 03 01 13 01 82 02 82 81 83 01 00

// 9000

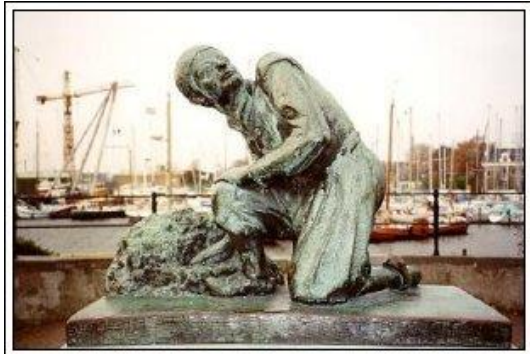
Au sujet de la Sécurité

La sécurité est une construction (design)



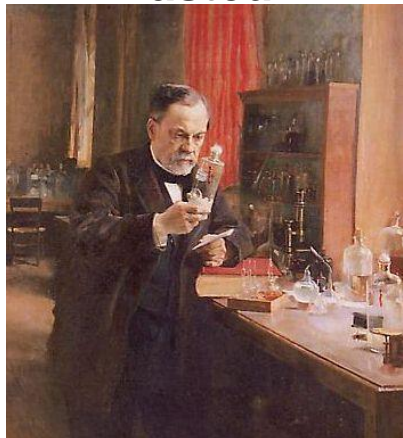
Attaque et Défense

Hans Brinker



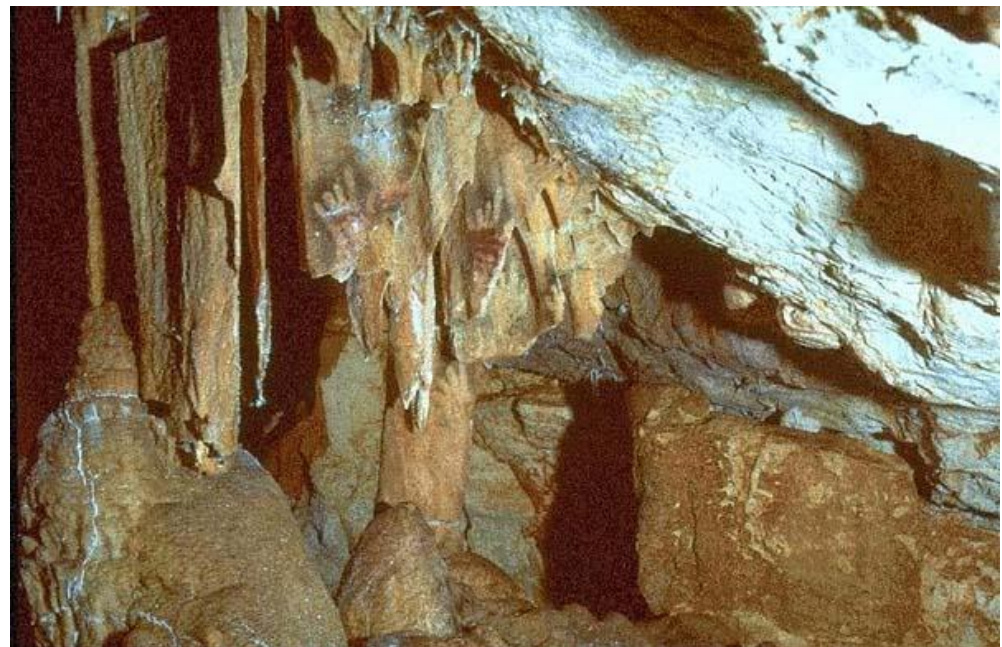
Défense immunitaire:
Réponse efficace à une attaque inconnue

Pasteur



Vaccin: *Réponse efficace à une attaque connue*

Grotte de Cosquer



Placebo: *Réponse au hasard face à une attaque inconnue.*

Attaque \longleftrightarrow Contre-mesure
-Connue - Efficace
-Inconnue - Aléatoire

Les équations de Maxwell sont-elles sécurisées ?

$$\operatorname{div} \vec{B} = 0$$

$$\operatorname{div} \vec{E} = \frac{\rho}{\varepsilon_0}$$

$$\overrightarrow{\operatorname{rot}} \vec{B} = \mu_0 \overrightarrow{j} + \varepsilon_0 \mu_0 \frac{\partial \vec{E}}{\partial t}$$

$$\overrightarrow{\operatorname{rot}} \vec{E} = - \frac{\partial \vec{B}}{\partial t}$$

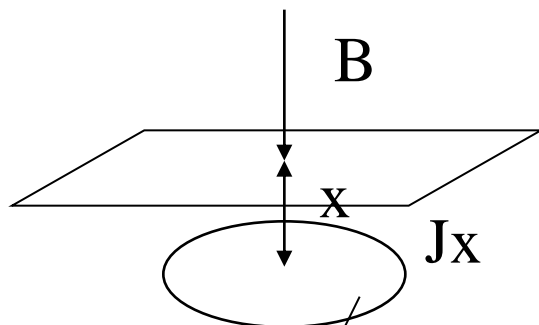
Courants de Foucault (*Ellis current*)

$$J_x = \left(\frac{1}{e} \right)^{\frac{x}{\delta}}$$

J_x	=	Current Density (A/m ²)
e	=	Base Natural Log
x	=	Distance Below Surface
δ	=	Standard Depth of Penetration

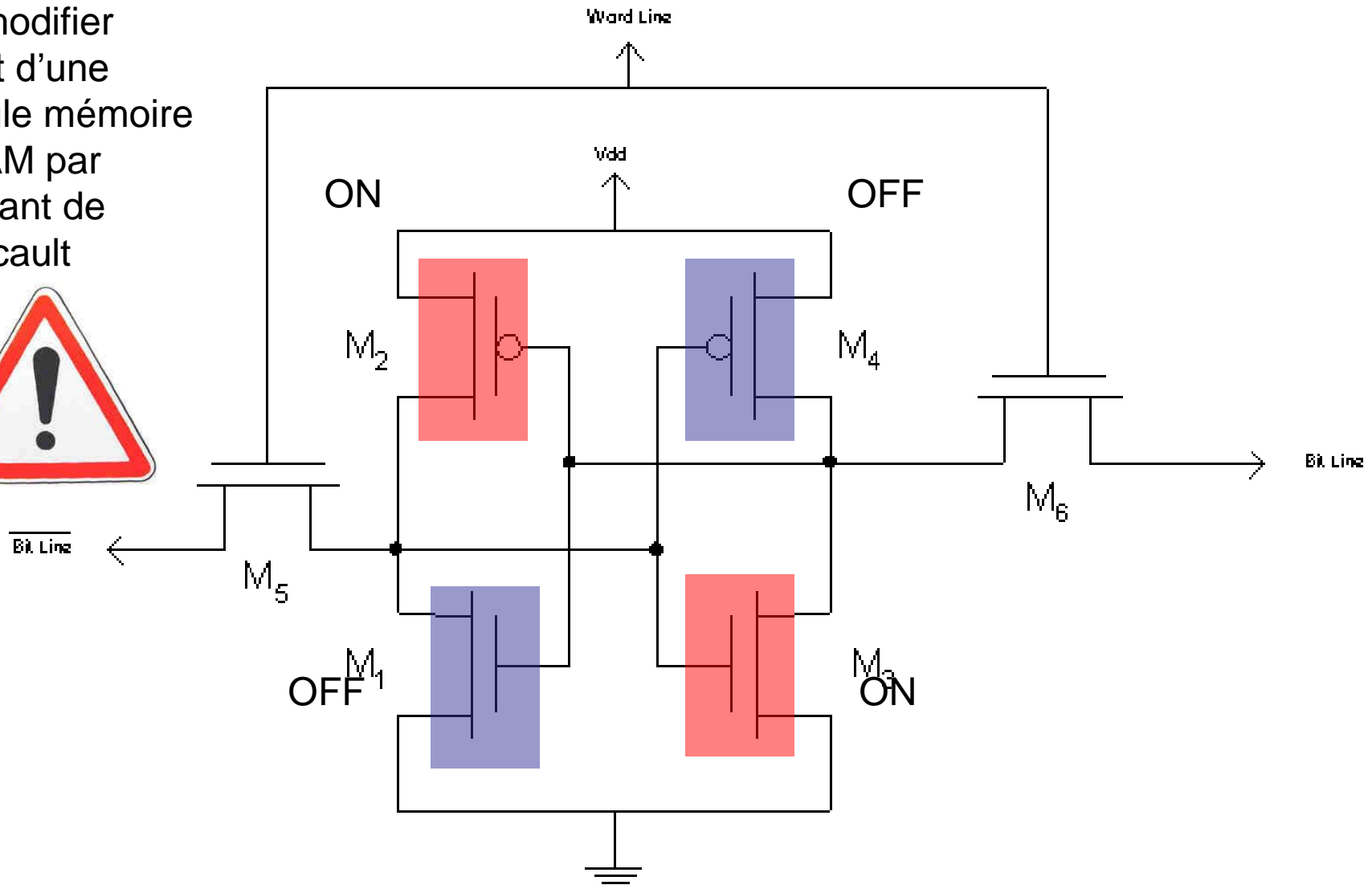
$$\delta = \frac{I}{\sqrt{\pi f \mu \sigma}}$$

δ	=	Standard Depth of Penetration (m)
π	=	3.14
f	=	Test Frequency (Hz)
μ	=	Magnetic Permeability (Henry/m)
σ	=	Electrical Conductivity (Siemens/m)

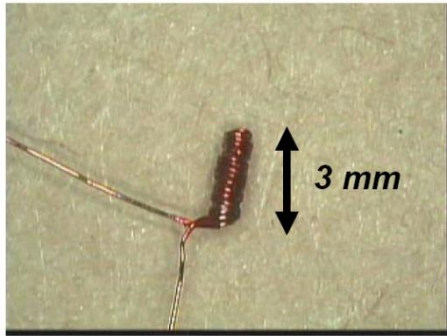


Attaque par courant de Foucault d'une cellule SRAM

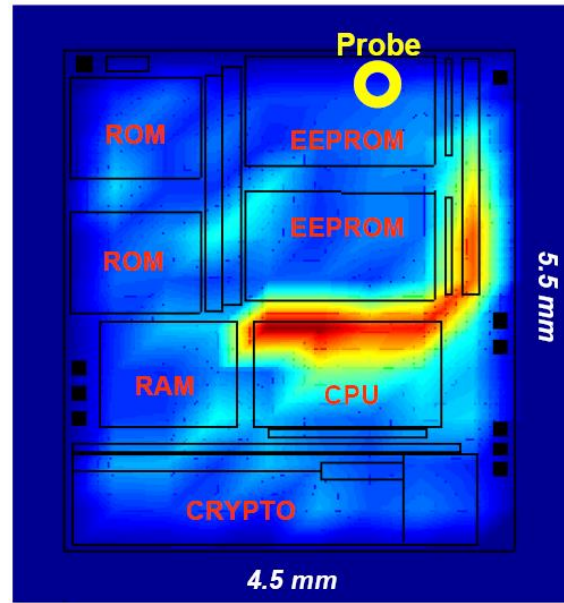
Il est possible de modifier l'état d'une cellule mémoire SRAM par courant de Foucault



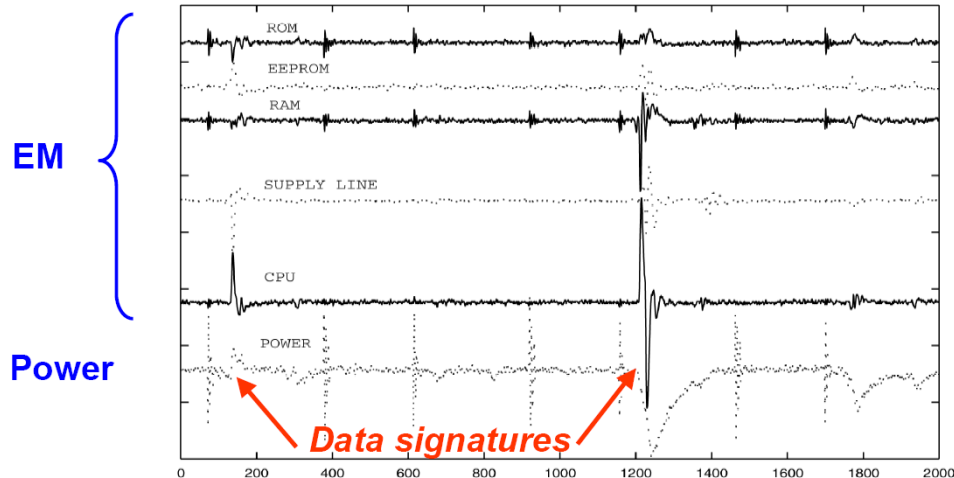
Canaux cachés et équations de Maxwell



$$V = -\frac{d\phi}{dt}$$

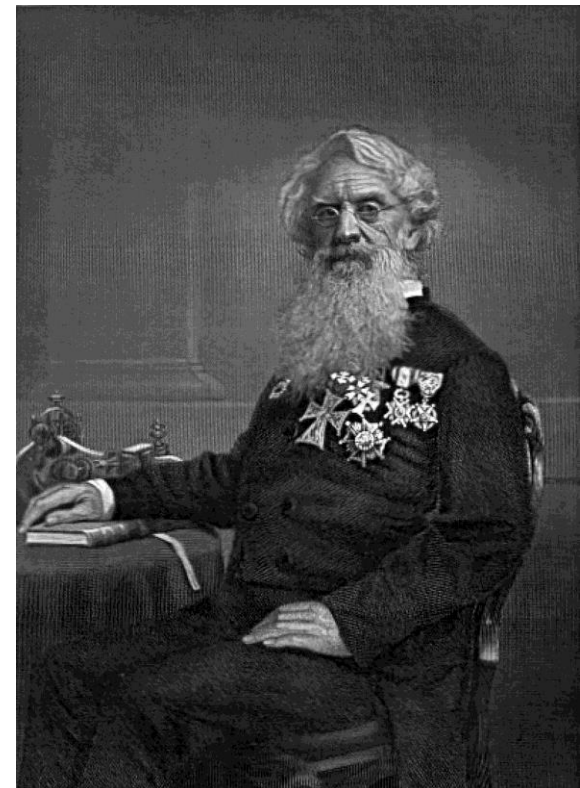


Differential traces between (00h ⊕ 00h) and (FFh ⊕ 00h) picked up at different locations



RSA & Morse Samuel F

A	• -	N	- •	1	• - - - -
B	- • • •	O	- - -	2	• - - - -
C	- • - - •	P	• - - - •	3	• - - - -
D	- - • •	Q	- - - • -	4	• - - - -
E	• (1 unit)	R	• - - •	5	• - - - -
F	• - - - •	S	• • •	6	- - - -
G	- - - - •	T	- (3 units)	7	- - - - - • -
H	• - - - -	U	• - -	8	- - - - - - •
I	• • •	V	• - - -	9	- - - - - - -
J	- - - - -	W	• - -	0	- - - - - - -
K	- - • -	X	- - - - •		
L	• - - - •	Y	- - - - -		
M	- - -	Z	- - - - - •		



$a^b \bmod m$

Attaque d'un exponentiator (SPA)

- C (forme chiffrée) = M^d modulo m
- $d = d_0 \cdot 2^0 + d_1 \cdot 2^1 + d_2 \cdot 2^2 + d_3 \cdot 2^3 + d_4 \cdot 2^4 + \dots + d_i \cdot 2^i + \dots + d_{p-1} \cdot 2^{p-1}$, où d_i a pour valeur 0 ou 1.
- La forme chiffrée s'exprime sous forme d'un produit de p termes m_i ,
 - $C = m_0 \cdot m_1 \cdot m_2 \dots m_i \dots m_{p-1}$ modulo m , avec
 - $m_i = 1$, si $d_i = 0$.
 - $m_i = M^{2^i}$ modulo m , si $d_i = 1$
 - $m_i = m_{i-1}^2$
- En constate que, dans cette implémentation de l'algorithme RSA (dite *exponentiation*), chaque bit (d_i) de la clé implique un temps calcul différent selon que sa valeur soit 0 (multiplication triviale par 1) ou 1 (multiplication par M^{2^i}).



En fonction des différences de temps calculs observées on déduit la valeur de d_i (0 ou 1).

Attaque de Bellcore, D.Boneth 1997

$$E1 = x^s \bmod p, E2 = x^s \bmod q$$

$$y = a.E1 + b.E2 \bmod pq$$

$$a=1 \bmod p, a=0 \bmod q$$

$$b=1 \bmod q, b=0 \bmod p$$

$$y = a.E1 + b.E2 \bmod pq$$

$$y' = a.E1' + b.E2, \text{ faute de calcul sur } E1'$$

$$y - y' = a.(E1 - E1')$$



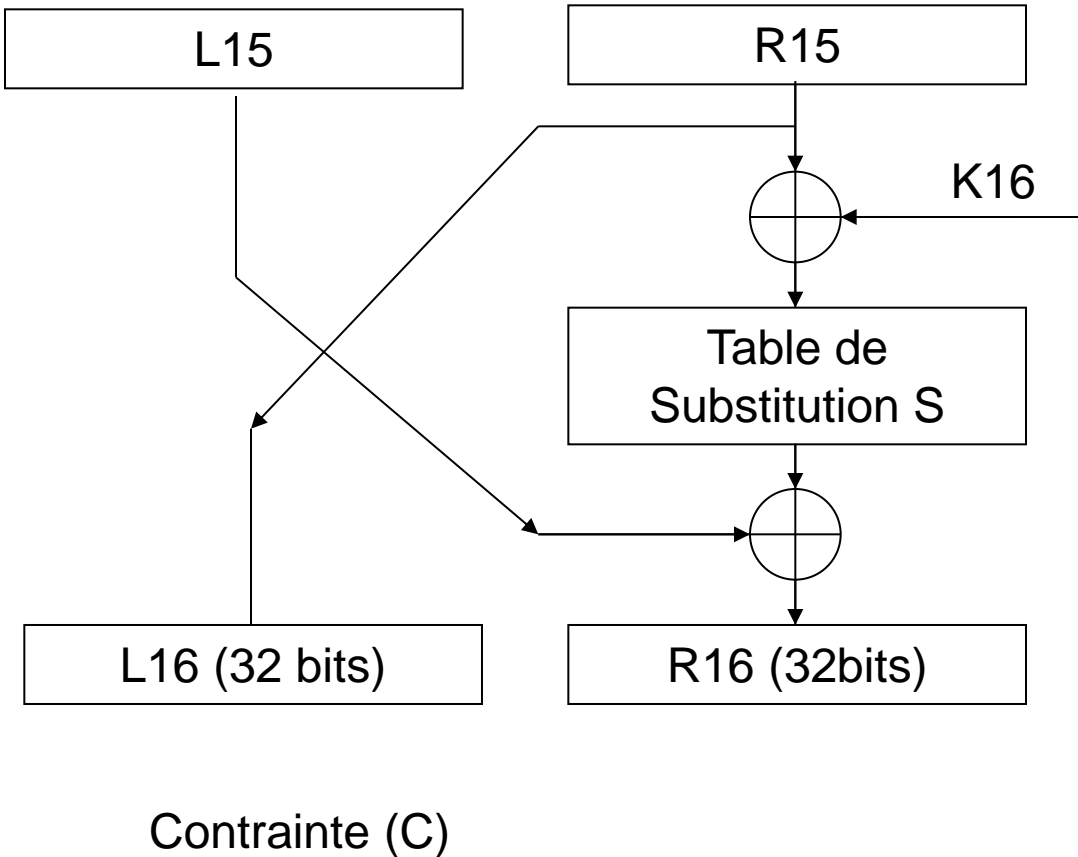
Si $E1 - E1'$ n'est pas divisible par p

$$\text{PGCD}(y - y', n) = q \quad (n = p \cdot q)$$

DPA

- Paul C. Kocher, Joshua Jaffe, Benjamin Jun: Differential Power Analysis. CRYPTO 1999: 388-397
 - Covariance, $\text{cov}(X, Y) = \sigma_{X,Y} = E(XY) - E(X)E(Y)$
 - Coefficient de corrélation, $\rho_{X,Y} = \frac{\sigma_{XY}}{\sqrt{V(X)V(Y)}}, \rho_{X,Y} \in [-1, 1]$
 - $E(XY) = E(X)E(Y) + \rho_{X,Y} \sigma(X) \sigma(Y)$
- Si l'on suppose :
 - Un domaine de clés (i) de 2^p valeurs, $i \in [0, 2^p - 1]$
 - Un effet physique associé à toutes les valeurs d'entrées (k) et des clés (i), $X_i(k, t)$, tel que la puissance électrique consommée.
 - Une fonction Y corrélée à la clé secrète j et définie pour toutes les valeurs d'entrée (k), et telle que pour chaque clé (i), $\langle Y_i(k) \rangle_k = 0$
 - Pour toute mauvaise clé (i)
 - $\rho_{X,Y} = 0, \langle X_i(k, t) \cdot Y_i(k) \rangle_k = \langle X_i(k, t) \rangle_k \langle Y_i(k) \rangle_k = 0$
 - Pour bonne clé (j), $\rho_{X,Y} \neq 0$
 - $\langle X_j(k, t) \cdot Y_j(k) \rangle_k = \rho_{X,Y} \sigma(X) \sigma(Y)$

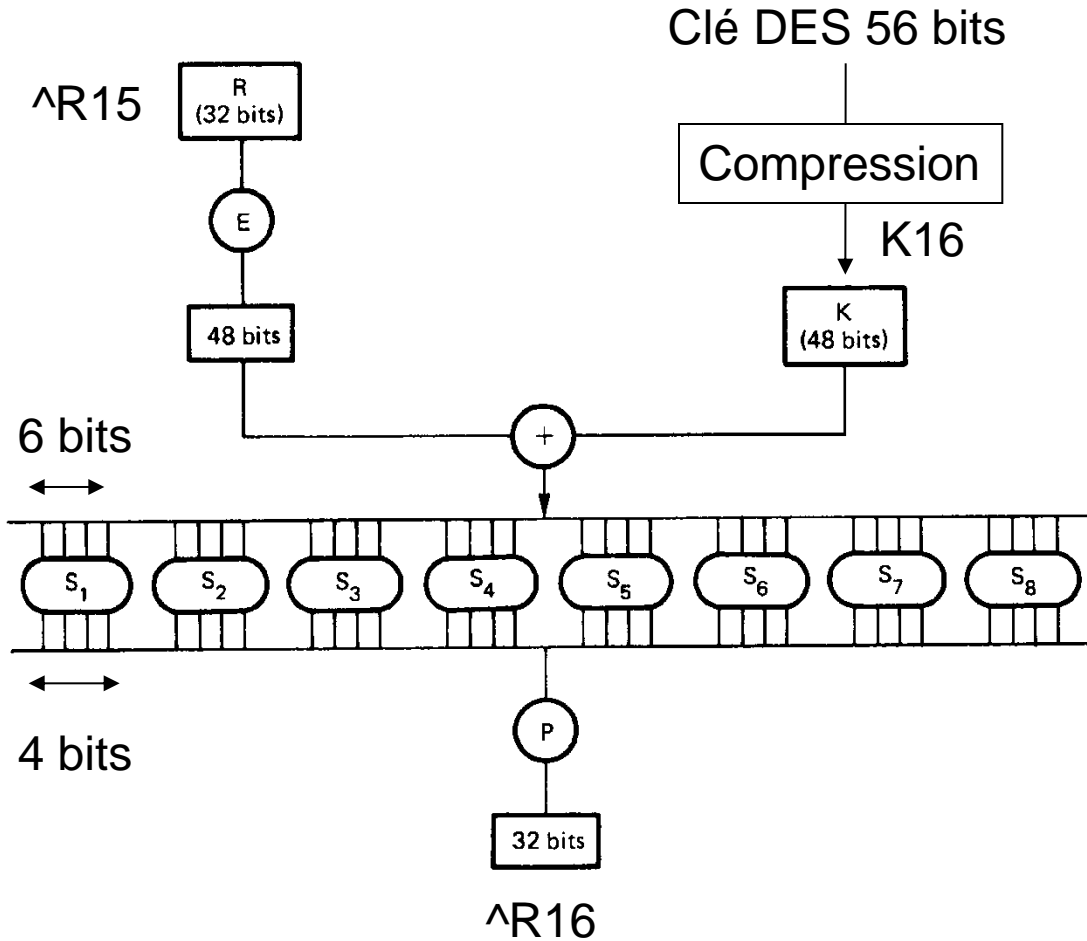
Injection de fautes DES - 1/2



$$R_{16} \oplus \hat{R}_{16} = S(L_{16} \oplus K_{16}) \oplus S(\hat{L}_{16} \oplus K_{16})$$

- L'attaquant connaît la *bonne* valeur **R16**
- Il crée une faute \hat{R}_{16} , qui implique la valeur \hat{R}_{16}

Injection de fautes DES - 2/2



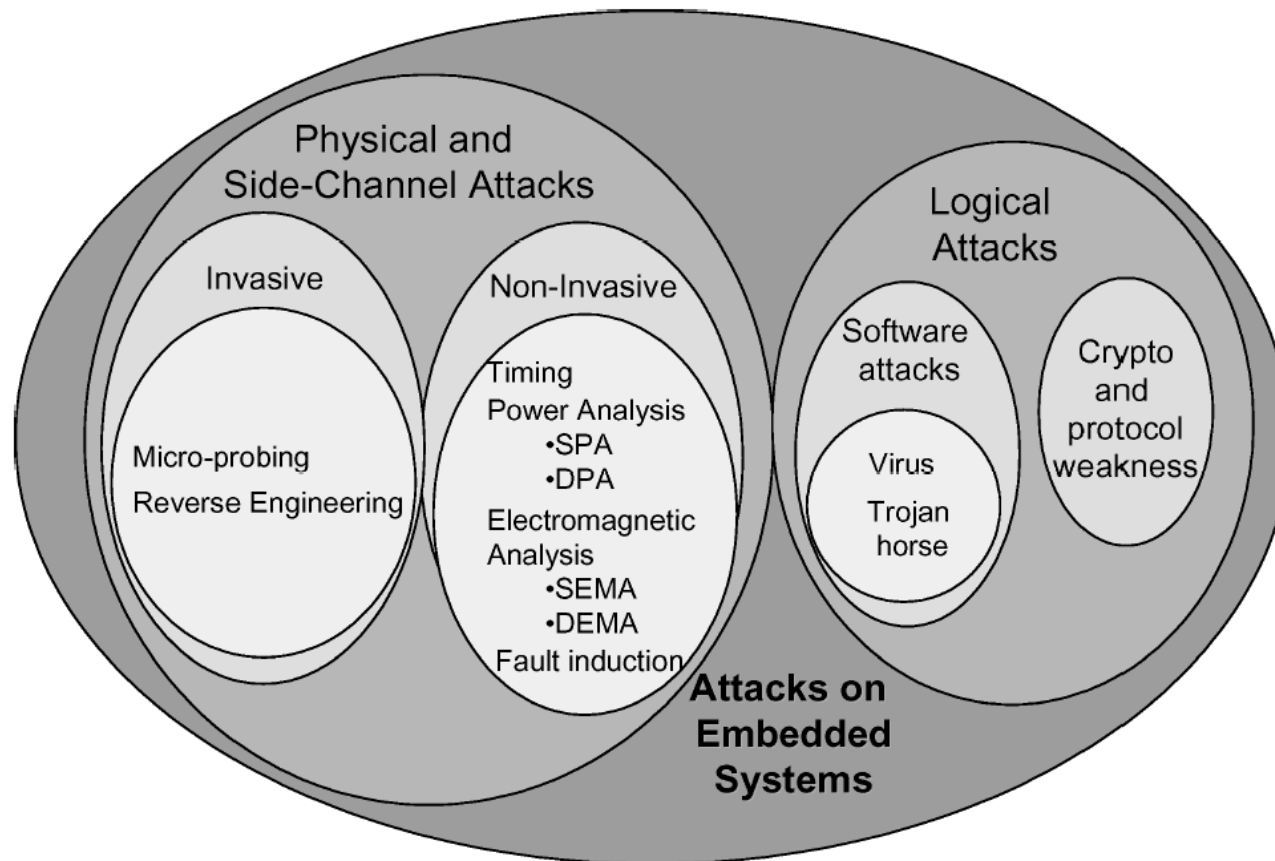
- Environ 2^{18} valeurs de $K16$ réalisent la contrainte (C)
- Environ 2^{24} clés DES réalisent la contrainte C



Une tentative de taxonomie des attaques

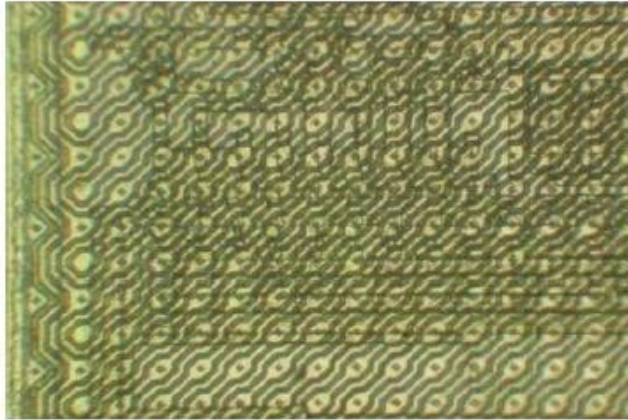
- Les attaques par canaux cachés (Side channels attacks)
 - Timing Attacks
 - Power Attacks
 - Simple Power Attack (SPA)
 - Differential Power Attack (DPA, Paul Kocher 1995)
 - Electromagnetic Attack (EMA)
 - Simple EMA (SEMA)
 - Differential EMA (DEMA)
- Les attaques par injection de fautes (fault injection)
 - Tension d'alimentation (power glitch)
 - Variation de l'horloge
 - Température
 - Lumière incohérente
 - Laser
 - Faisceau d'ion
 - Rayon X
 - Autre
- Les attaques par sondes (probing attack)
 - Acquisition d'information particulières durant l'exécution d'un algorithme

Secure Embedded Systems, S.Ravi, 2004

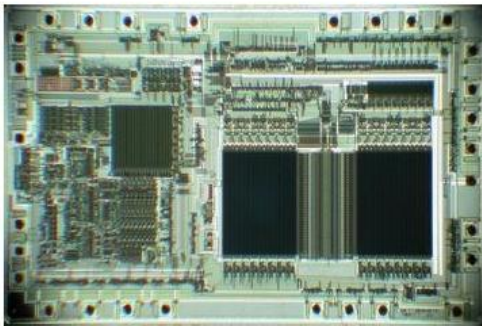


Examples of attack threats faced by embedded systems.

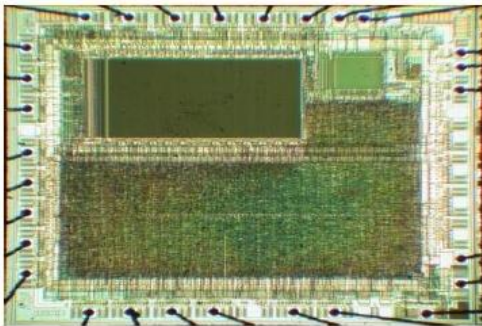
Contre-mesures physiques



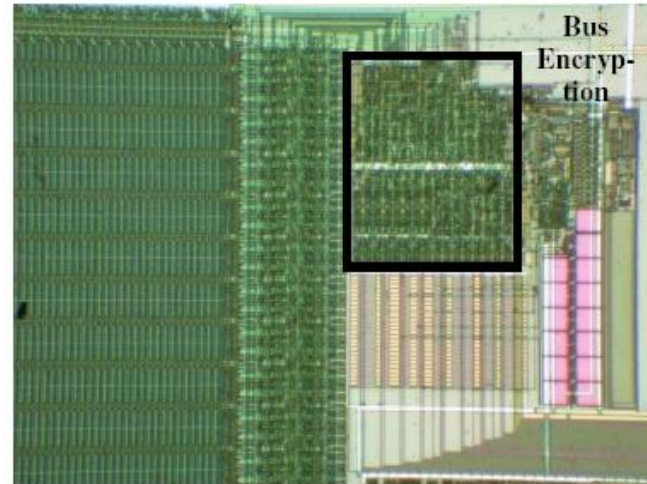
Top metal sensor mesh on ST16 smartcard



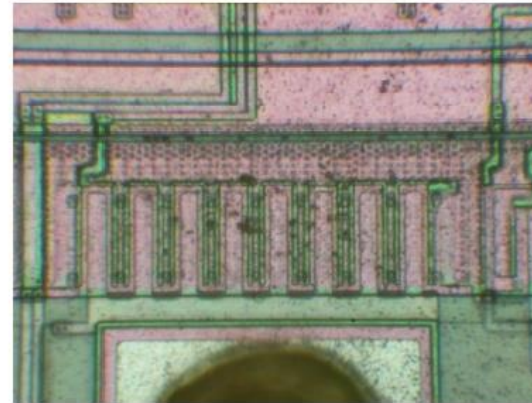
MC68HC705PA microcontroller with clearly disting
blocks



SX28 microcontroller with 'glue logic' design



Hardware bus encryption module in Infineon
SLE66 family smartcard chip [27] preserves EEPROM
data from being micropoled. 100x magnification



Second metal layer and polysilicon layer can
be seen through top metal layer on Microchip
PIC16F877 microcontroller [36]. 500x magnification

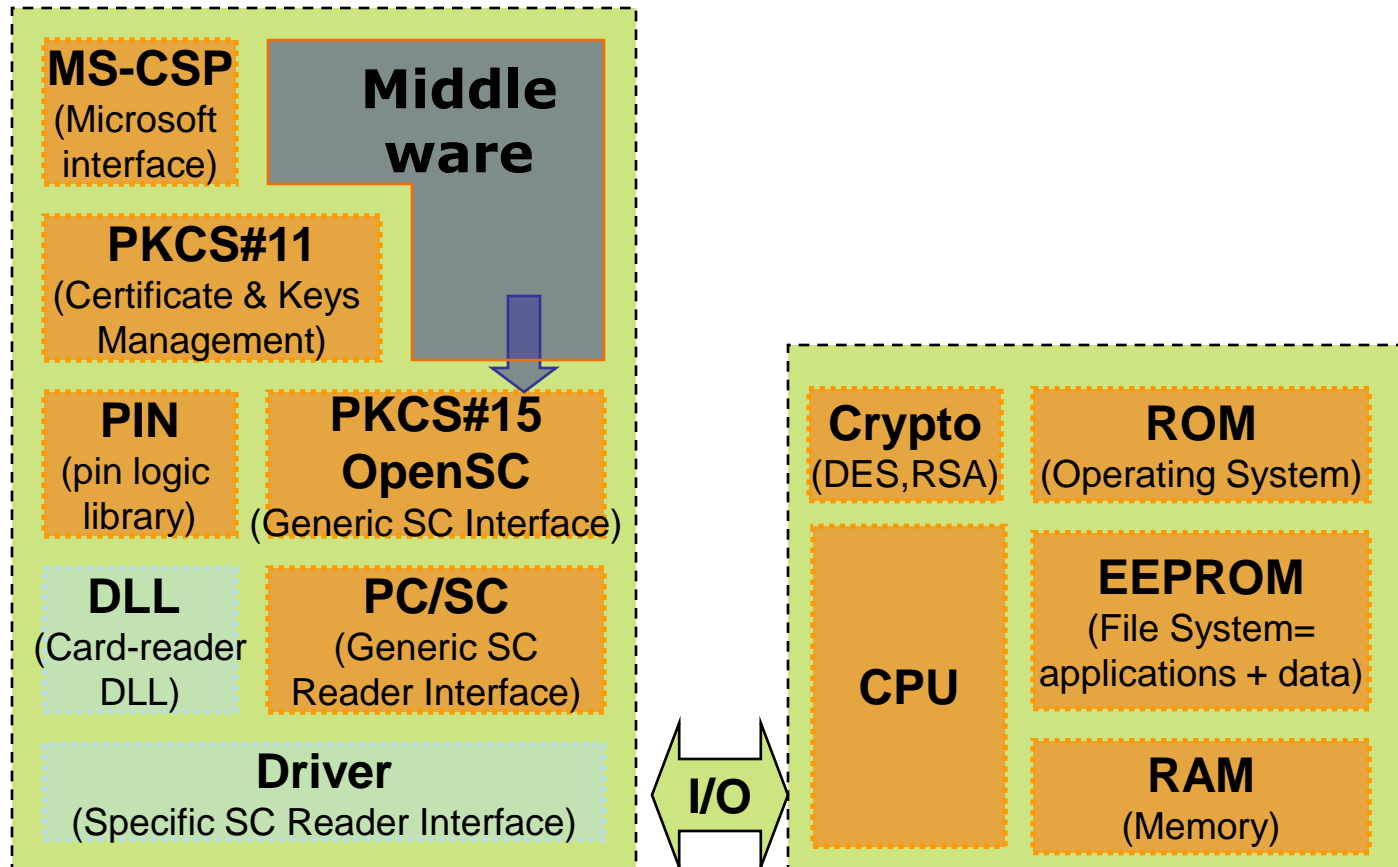


Nothing can be seen under the top metal
layer on Microchip PIC16F877A microcontroller [37] as
the layers inside the chip were planarised during
fabrication. 500x magnification

Modèle PKI Classique

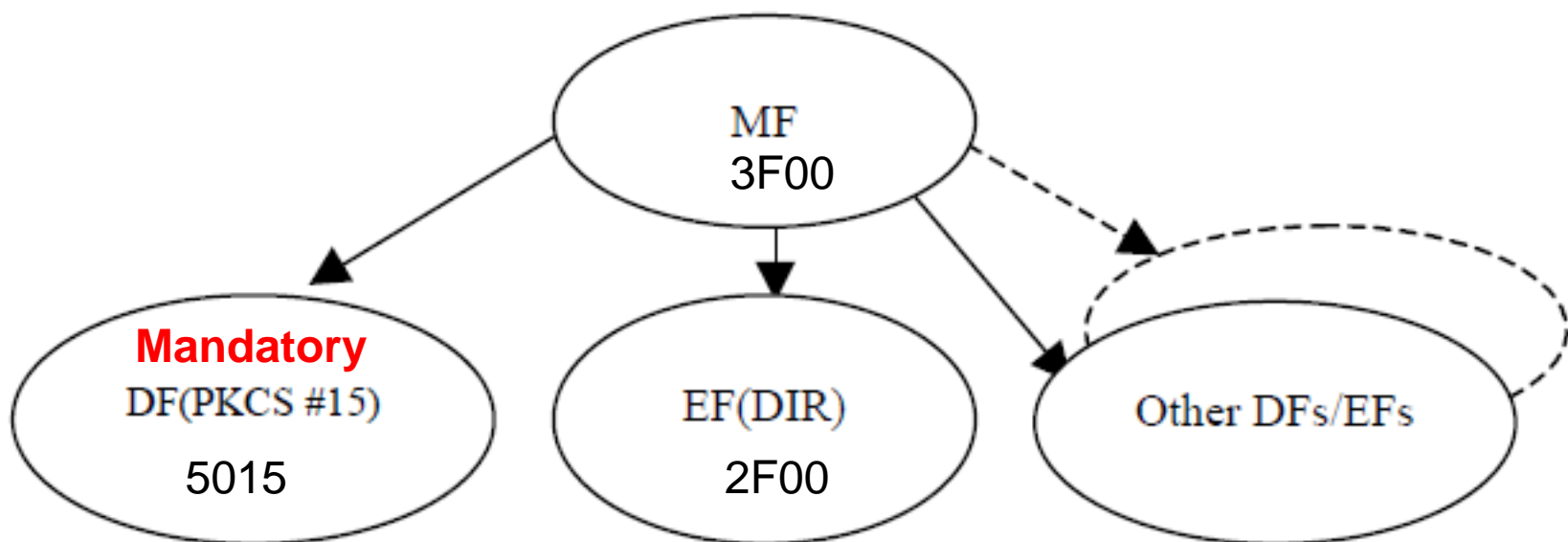
PKCS#11 – PKCS#15

PKCS#11 et PKCS#15



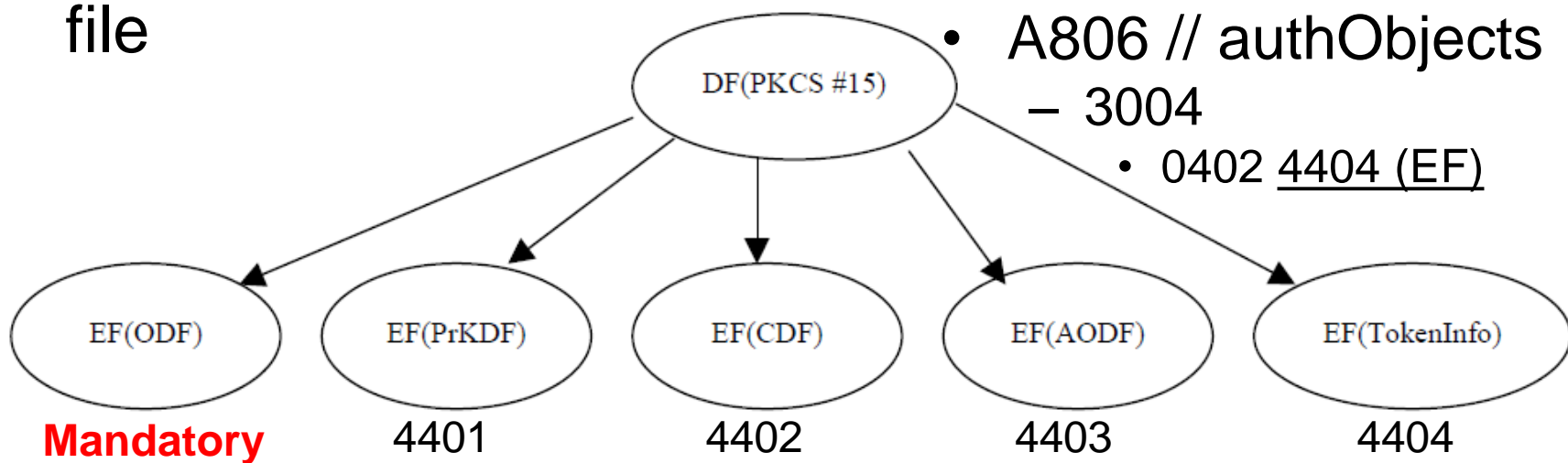
Structure de fichier PKCS#15

- AID= A000000063504B43532D3135



DF(PKCS#15) EF-ODF(ASN.1)

- ODF: object directory file
- PrKDF: private key directory file
- CDF: certificate directory file
- AODF: authentication object directory file (PINs)
- DODF: data object directory file
- A006 // privateKey
– 3004
 - 0402 4401 (EF)
- A406 // certificates
– 3004
 - 0402 4402 (EF)
- A706 // dataObjects
– 3004
 - 0402 4403 (EF)
- A806 // authObjects
– 3004
 - 0402 4404 (EF)



PKCS#15: Références Croisées

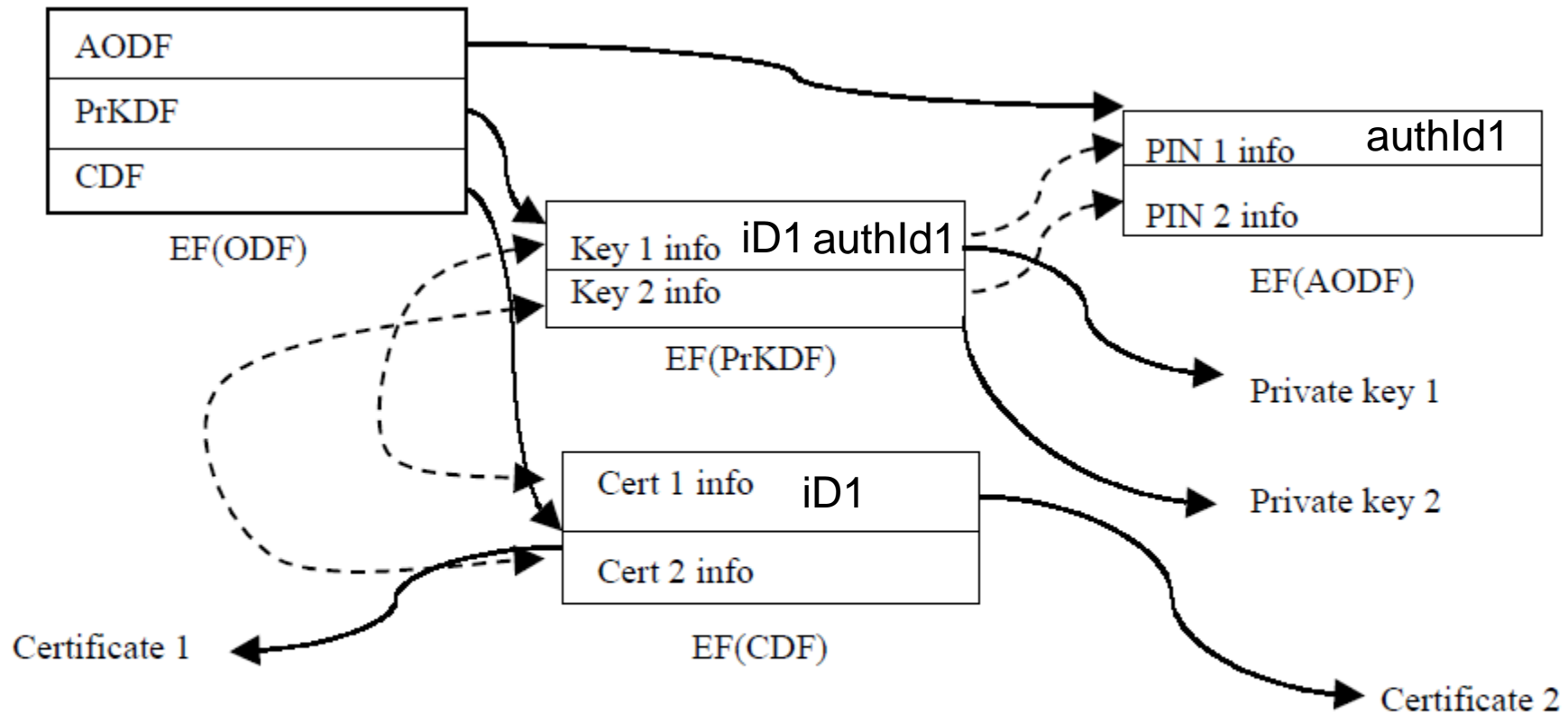


Figure 16 – IC card file relationships in DF(PKCS15). Dashed arrows indicate cross-references.

EF-4401 (Private Keys)

- 3014 (commonObjectAttributes)
 - 0C0B 50724B2E4943432E415554 (label= "PrK.ICC.AUT")
 - 0302 0780 (flags= "private")
 - 0401 07 (authId= 07)
- 300B (classAttributes)
 - 0401 02 (iD= 02)
 - 0302 0520 (usage= "sign")
 - 0202 0081 (keyReference =129 key id in the card of PrK.ICC.AUT)
- A10A (typeAttributes)
 - 3008
 - 3002 (path)
 - 0400 (no FID given)
 - 0202 0400 (modulusLength= 1024)

EF-4402 Certificates

- 302E (x509Certificate)
 - 3019 (commonObjectAttributes)
 - 0C07 432E43482E4453 label= "C.CH.DS"
 - 300E 300C accessControlRules
 - 0302 0780 accessMode= read,
 - A206 040107 04010A (securityCondition, authId=07, authId=0A)
 - 3003 (classAttributes)
 - 0401 01 (related to private RSA key with iD=01)
 - A10C (typeAttributes)
 - 300A 3008
 - 0406 3F00 4016 C000 (path '3F004016C000')

Near Field Communication

Petite Histoire du NFC

- 1994, Mifare 1K
 - En 2011 les chips Mifare représentent 70% du marché du transport.
- 2001, ISO 14443 Standards (13,56 Mhz)
 - Type A (Mifare)
 - Type B
 - Type F (Felica)
- 2004, NFC Forum
 - Mifare (NXP), ISO14443A, ISO14443B, Felica (Sony)
 - Trois modes fonctionnels
 - Reader/Writer, Card Emulation, Peer to Peer
- Les contrôleurs NFC réalisent le protocole NFC

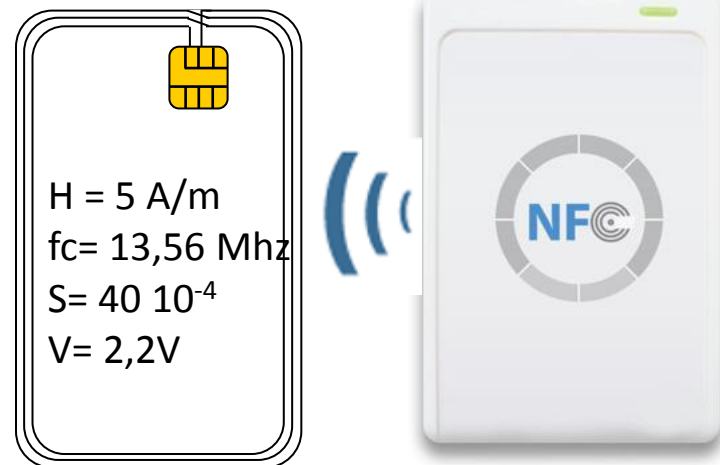
De l'ISO 7816 à ISO 14443

- L'idée de base du Wi-Fi était la définition d'un réseau Ethernet sans fil.
- L'idée de base de l'ISO 14443 design était la définition de cartes à puce (ISO 7816) sans contact.
- **Contrairement à la norme IEEE 802.11 aucune sécurité n'est définie pour les protocoles radio ISO14443**



$$V = 2 \pi f_c S \mu_0 H$$

ISO 14443
Contactless Mode



Définition d'un Secure Element.

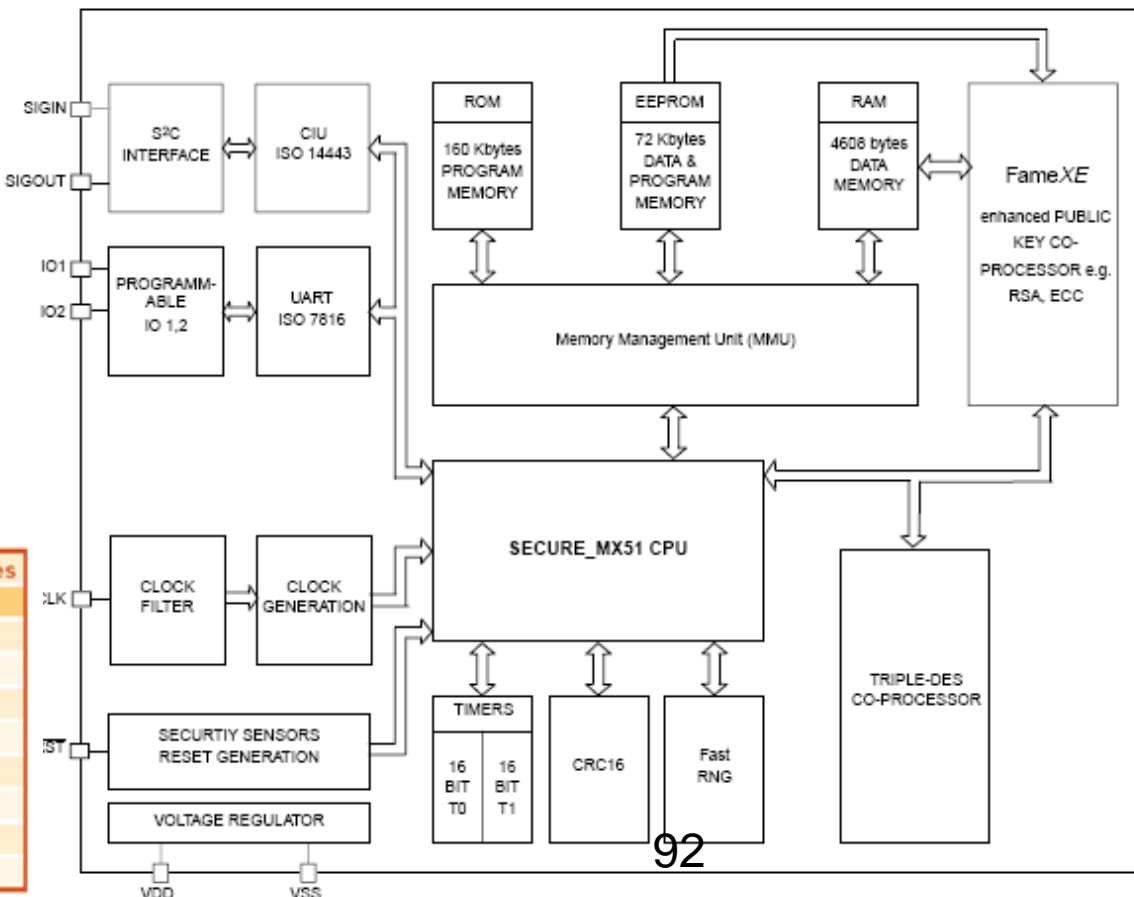
Un Secure Element (SE) est un microcontrôleur sécurisé muni d'interfaces électriques et de communication, telles que ISO7816, SPI or I²C .

OS JAVACARD JCOP
GP (Global Platform)

ROM 160 KB
EEPROM 72 KB
RAM 4KB

Crypto-processor
3xDES, AES, RSA, ECC
Certification CC EAL5+
Security Certificates EMVCo

EXAMPLE: NXP PN532

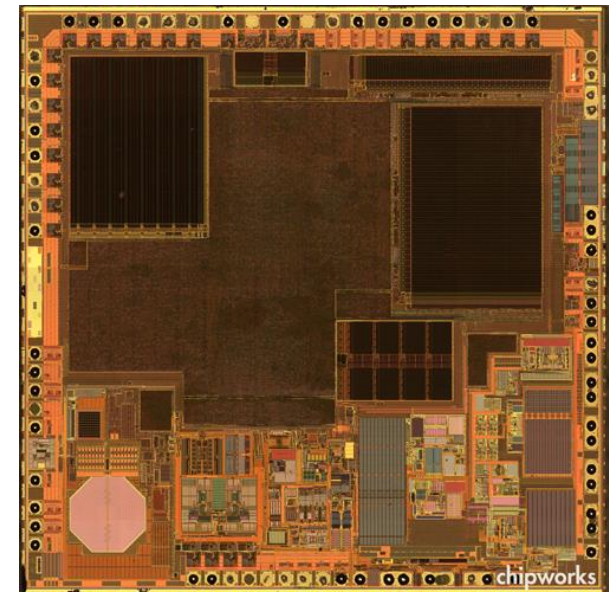
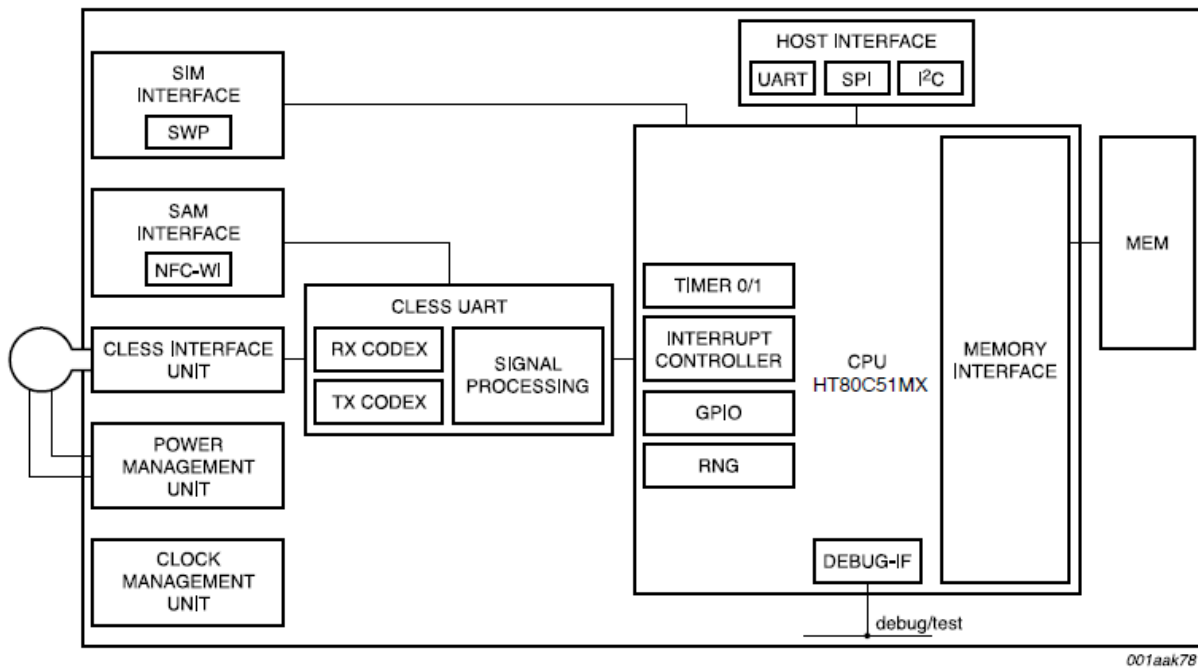


NFC secure modules	
Product features	PN65L
Embedded NFC IC	PN532
Available host interfaces	serial, SPI, I ² C
Embedded Secure IC	P5CN072
OS for secure device	JCOP or 3rd party
Stacked passive component IC	yes
Package thickness	1.2 mm
Package size	7x7 mm ²
Package type	HLQFN48



NFC et Secure Elements

- Certain contrôleurs NFC embarquent un Secure Element.
- Dans ce cas le mode "card emulation" peut être géré par le Secure Element
- C'est le modèle Android 2.3

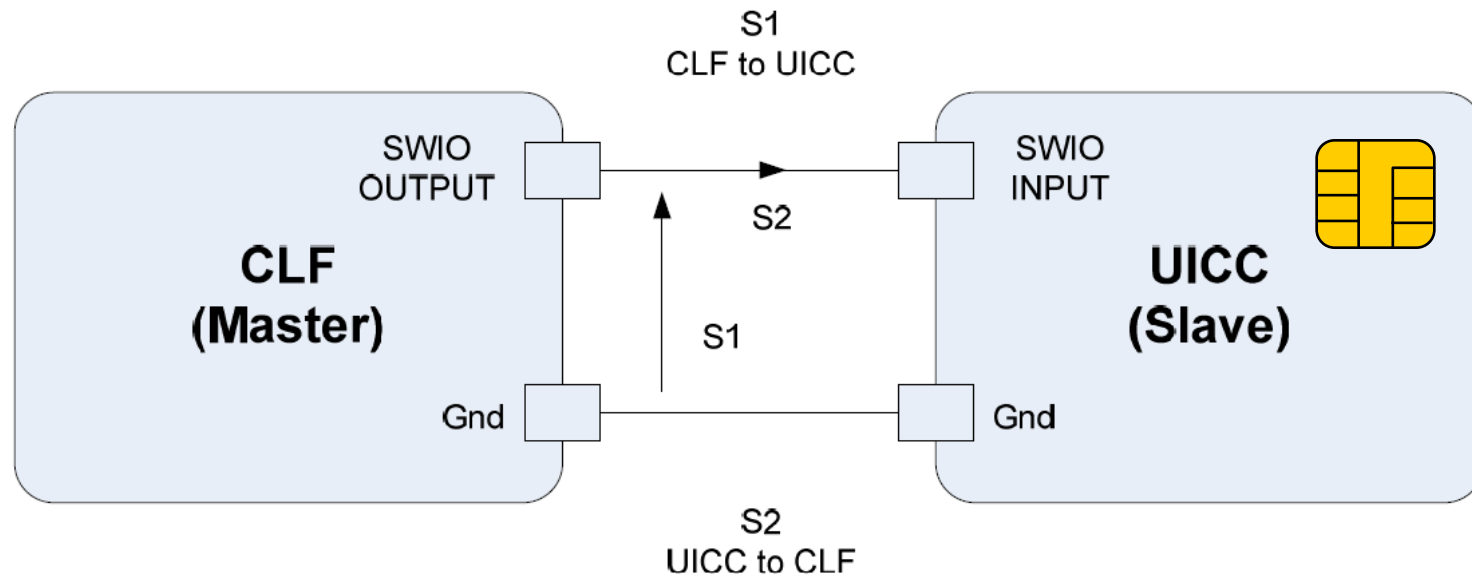


[www.chipworks.com](http://www(chipworks.com)

Reader/writer ISO 14443 –A-B, MIFARE, FeliCa®, NFC Forum tags, ISO 15693
Card Emulation ISO 14443 –A-B-B', MIFARE, FeliCa RF , SWP
RAM 5Ko, ROM 128 Ko, EEPROM 52 Ko

La carte SIM se transforme en device NFC: le Contactless Front-end (CLF)

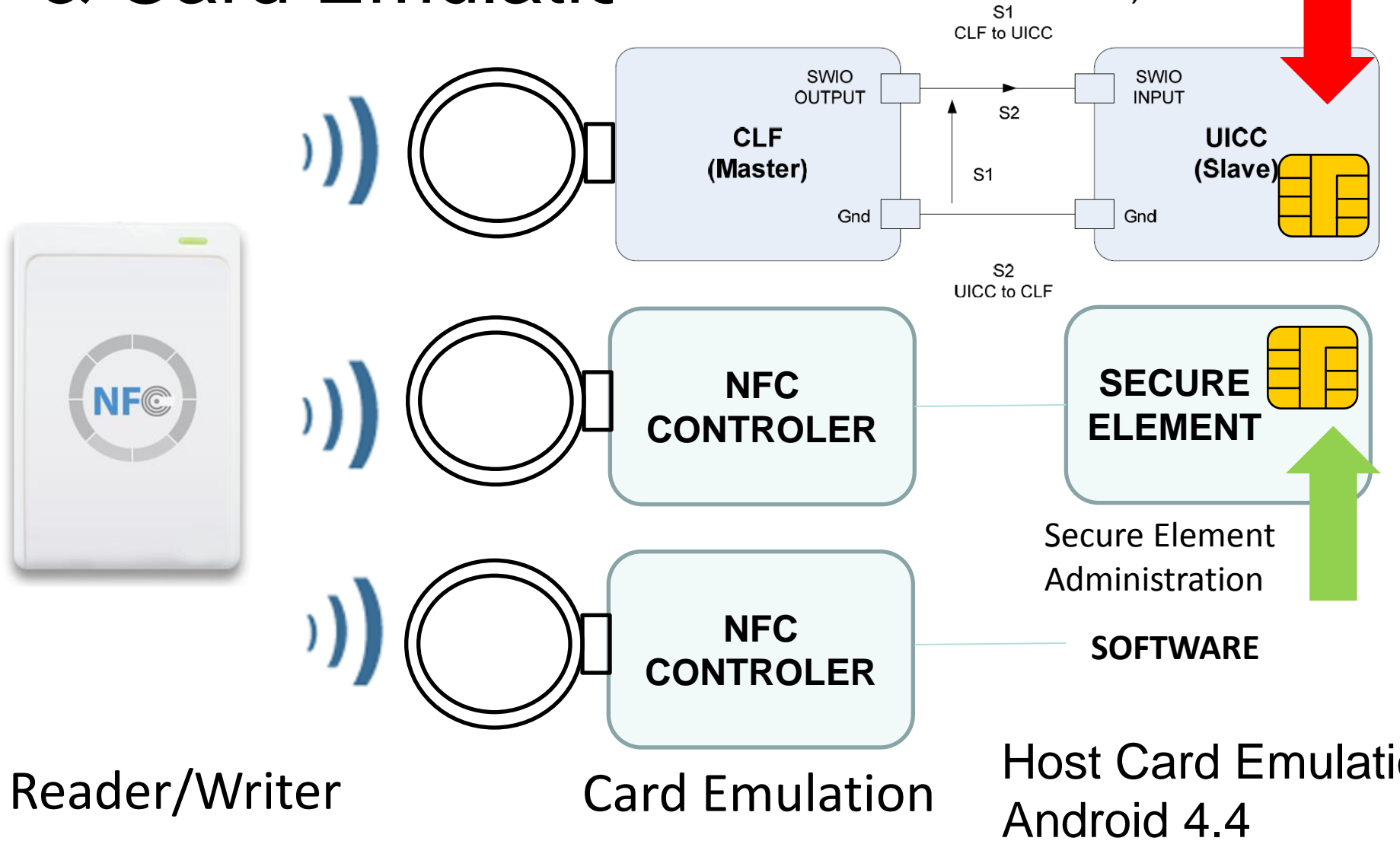
The ETSI TS 102 613 Standard



A simplified HDLC protocol: SHDLC

A physical Link: Single Wire Protocol (SWP)

NFC Reader/Writer & Card Emulation



NFC P2P Mode

- **Android NDEF Push Protocol Specification**
 - Version 1, 2011-02-22

“The NDEF Push Protocol (NPP) is a simple protocol built on top of LLCP which is designed to push an NDEF message from one device to another.”



Initiator

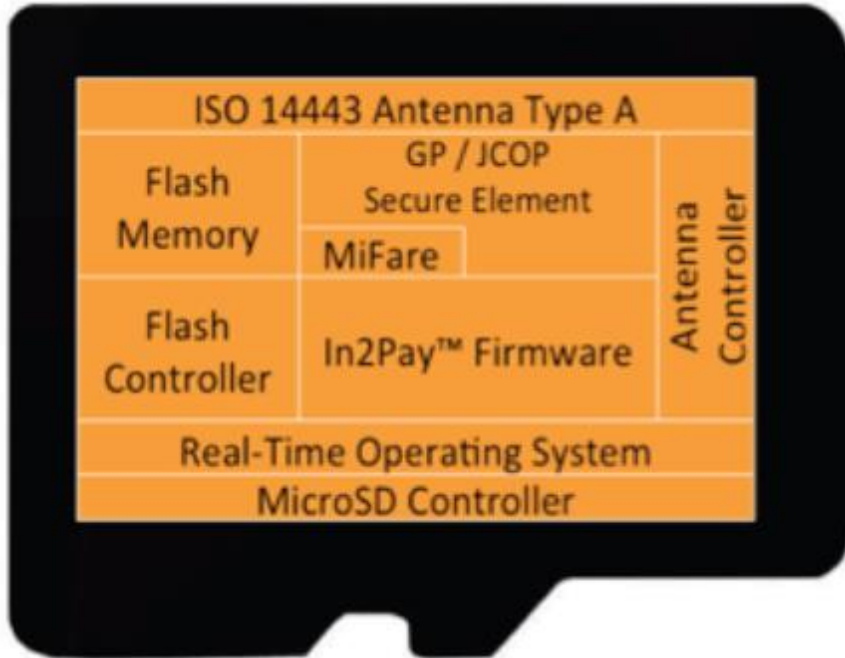


Target

SD Card with NFC Controller



EEPROM 72 Ko



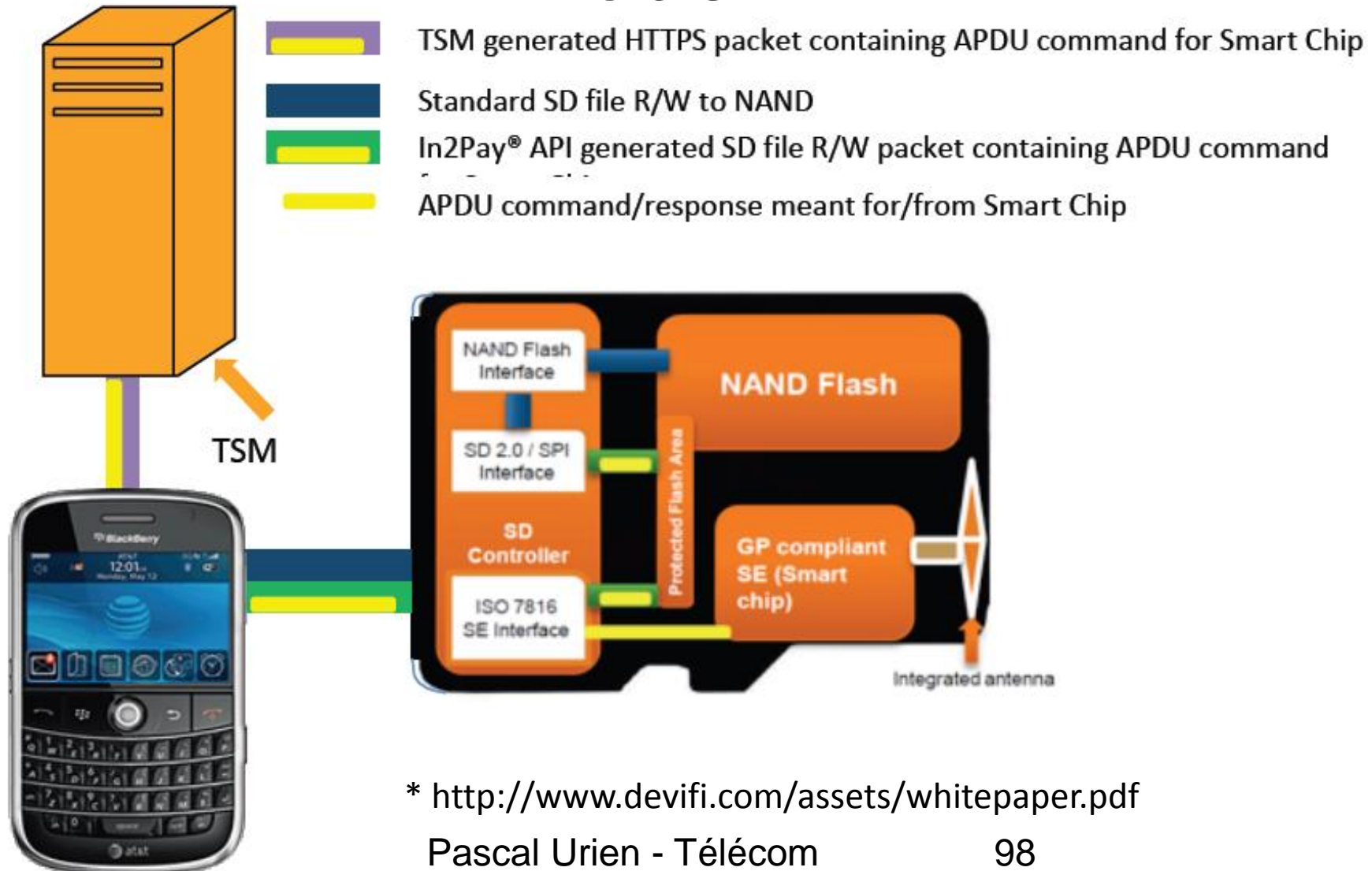
<http://www.devicefidelity.com/>

Secure Element

<http://www.tyfone.com/>

ISO 7816, T=0, T=1 (communication speed, kbit/s)	223.1
ISO 14443 T=CL (communication speed, kbit/s)	424
Available EEPROM Options kBytes	72
MiFare 1K	Yes
ROM (free for applets, up to kBytes)	65
APDU Buffer (RAM/bytes)	261
Java Card Version	2.2.1
Global Platform	2.1.1
SCP Secure Channel Protocol	SCPo1, SCPo2
DES/TDES (bit)	56/112/168
RSA (bit)	2432
SHA	SHA-1
Random Number Generator	Yes
RSA Key Generation	Yes
Logical Channels	1
VSDC 2.7.1	Yes
VMPA 1.3.1	Yes
MChip4	Yes
Mobile PayPass 0.91	Yes
Discover Zip	Yes

The In2Pay Administration Model*



Les normes NFC

Apercu des standards NFC

Activity	Technology / Device Platform						
Listen, RF Collision Avoidance, Technology Detection, Collision Resolution	NFC-A ISO 14443-2A ISO 14443-3A			NFC-B 14443-2B 14443-3B	NFC-F ISO 14443-2A ISO 14443-3A FELICA		
Device Activation		Type 1 Tag Platform	Type 2 Tag Platform	Type 4A Tag Platform	Type 4B Tag Platform	Type 3 Tag Platform	
Data Exchange	NFC-DEP Protocol	Type 1, 2, and 3 Tag Half-duplex Protocol		ISO-DEP Protocol		Type 1, 2, and 3 Tag Half-duplex Protocols	NFC-DEP Protocol
Device Deactivation	NFCIP-1			ISO 14443-4			NFCIP-1

NDEF

SNEP

LLCP

Passive Mode
Active Mode
NFCIP-1

*ISO/IEC_18092 standard and NFCIP-1 standards are similar

DEP: Data Exchange Protocol (Supports Read/Write Operations for Tags)

La Radio NFC

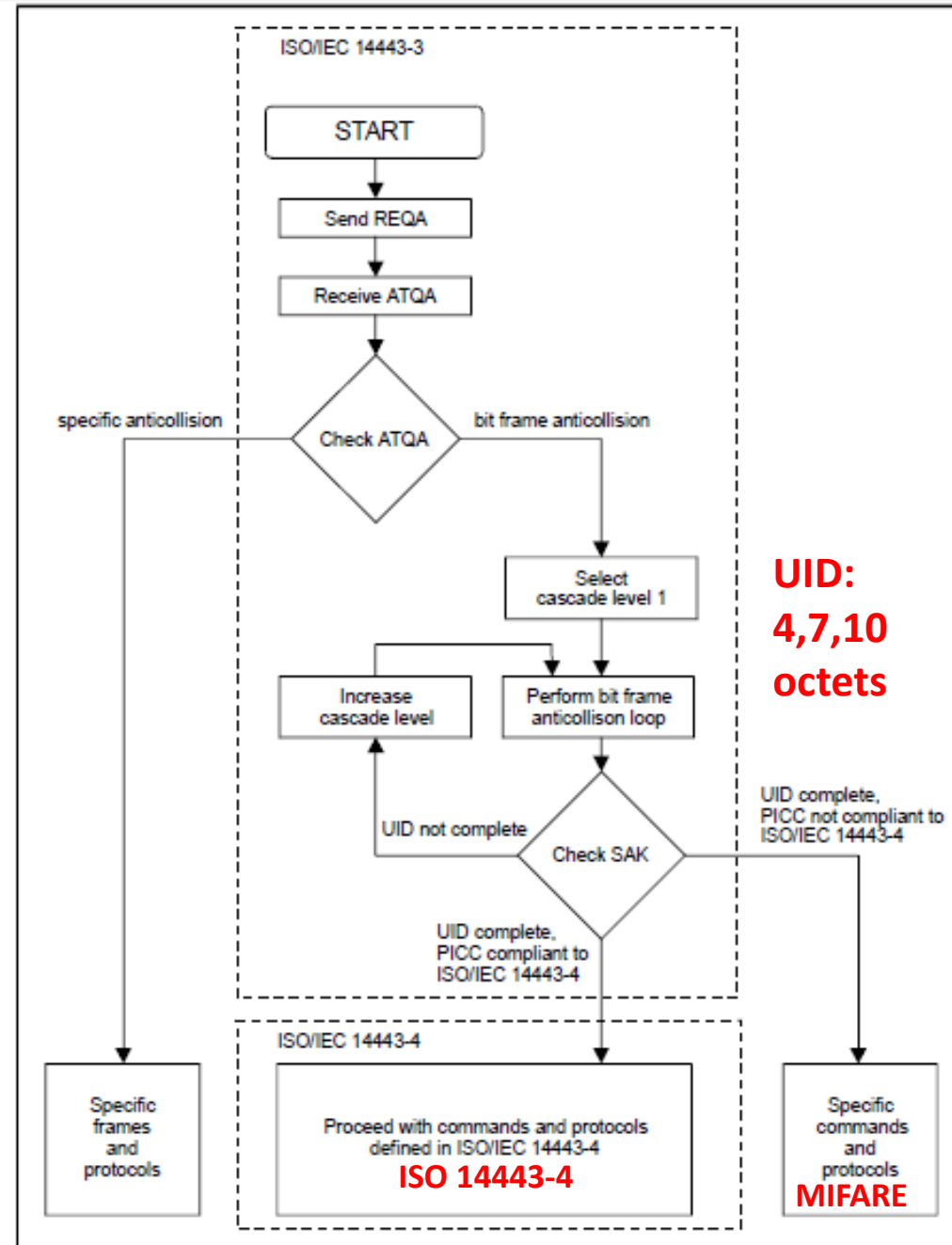
	Standard	PCD to ICCC Reader to Card	PICC to PCD Card to Reader
ISO 14443			
106 kbps	ISO 14443-2A NFC-A	ASK 100% Modified Miller	Subcarrier fc/16 OOK Manchester
212 kbps			
424 kbps			
848 kbps	ISO 14443-2B NFC-B	ASK 10%, NRZ-L	Subcarrier fc/16 BPSK, NRZ-L

	Bit Rate	Initiator	Target
NFCIP-1 Passive Mode	106 kbps	ASK 100% Modified Miller	Subcarrier fc/16 OOK Manchester
	212-424 kbps	ASK 8-30% OOK Manchester	ASK 8-30% OOK Manchester

	Bit Rate	Initiator	Target
NFCIP-1 Active Mode	106 kbps	ASK 100% Modified Miller	ASK 100%, Modified Miller
	212-424 kbps	ASK 8-30 % OOK Manchester	ASK 8-30%, OOK Manchester

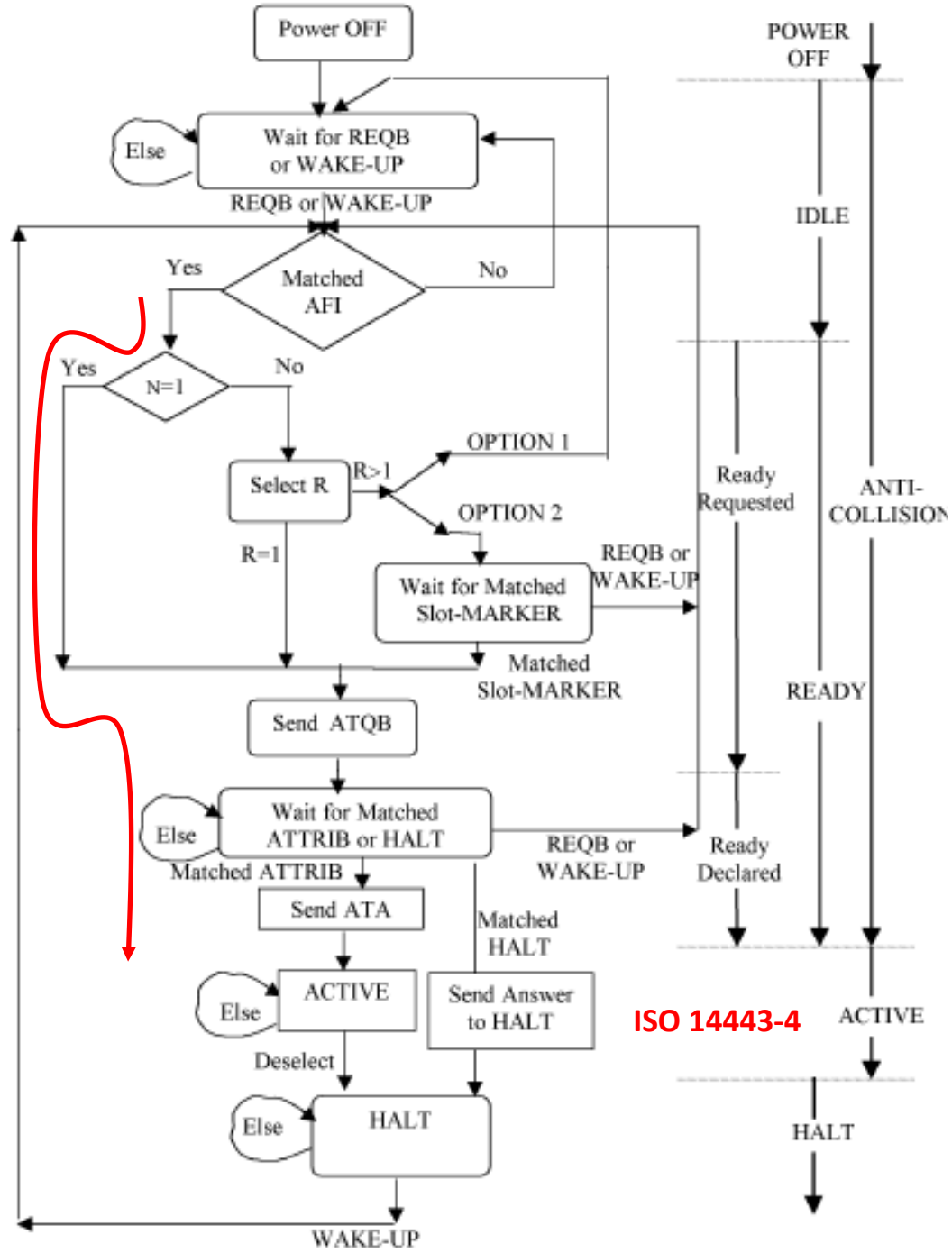
ISO 14443-3A State Machine

- REQA: Request Command for Type A
- ATQA: Answer To Request of Type A
- SAK: Select AcKnowledge
- UID: Unique IDentifier



ISO 14443-3B State Machine

- AFI: Application Family Identifier (4 bytes).
- REQB: Request of Type B
- ATQB: Answer To Request of Type B
- ATA Answer To ATTRIB



ISO 14443-4 Frames (T=CL)

- Les trames ISO 14443-4 transportent des APDUs (ISO 7816-4)

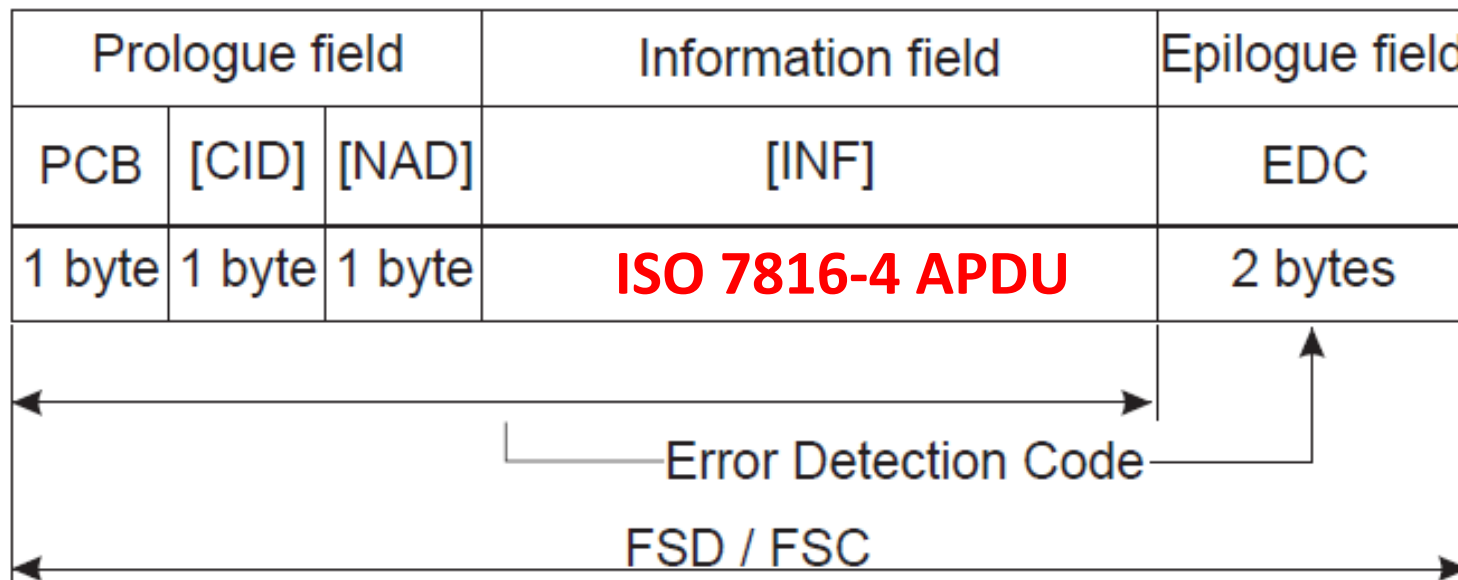


Figure 14 — Block format

ISO 14443-4

- RATS: Request for Answer To Select
- ATS: Answer To Select

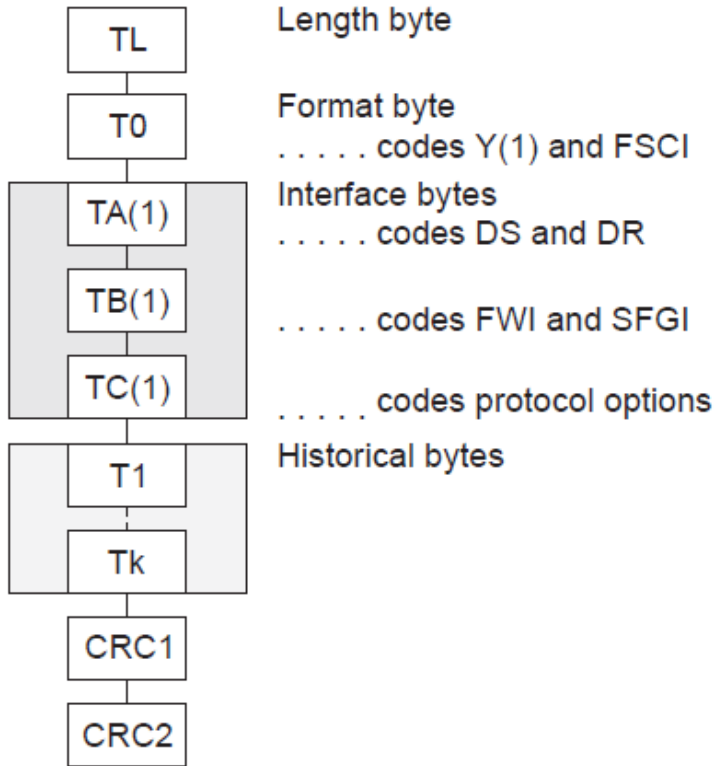


Figure 4 — Structure of the ATS

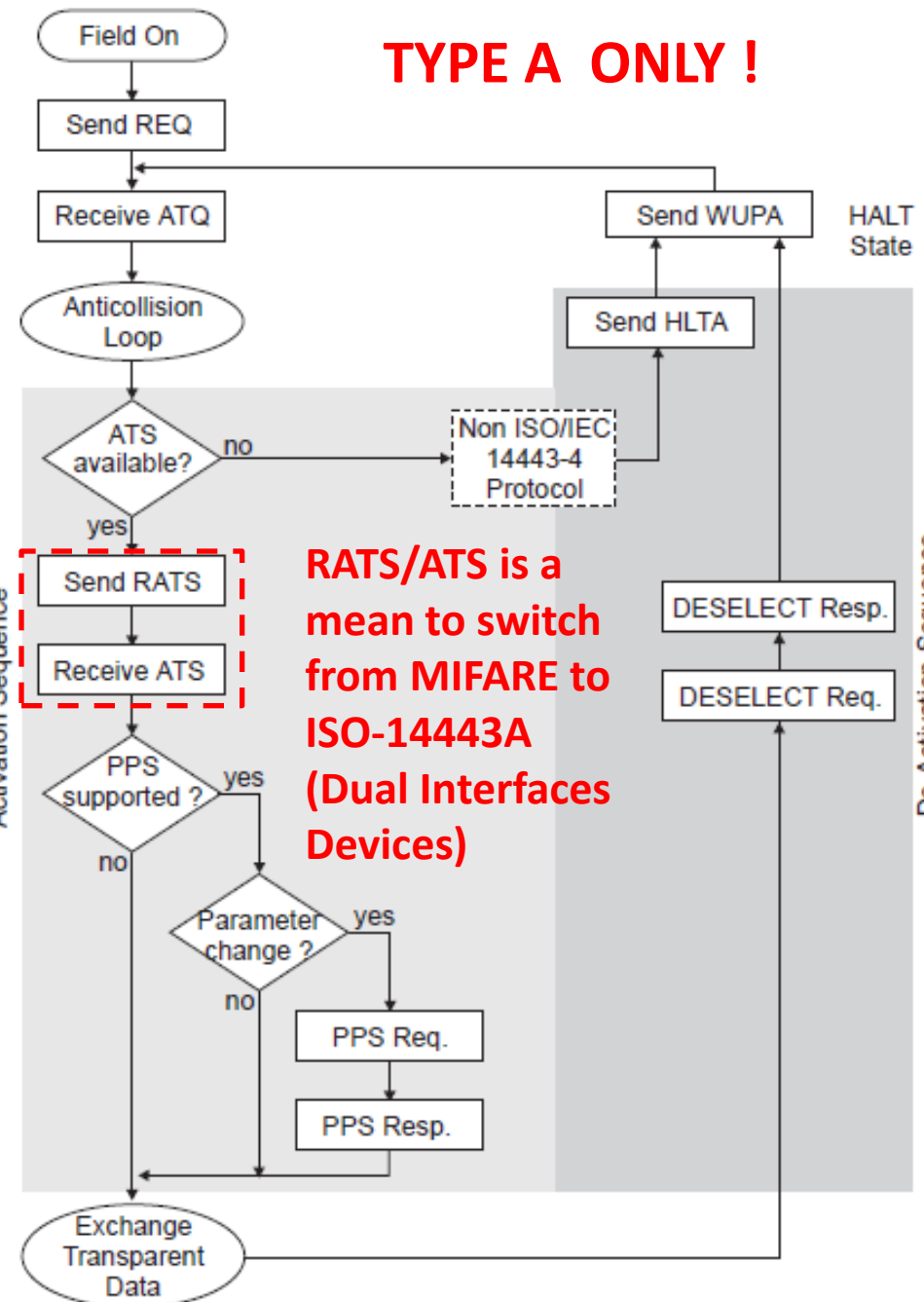
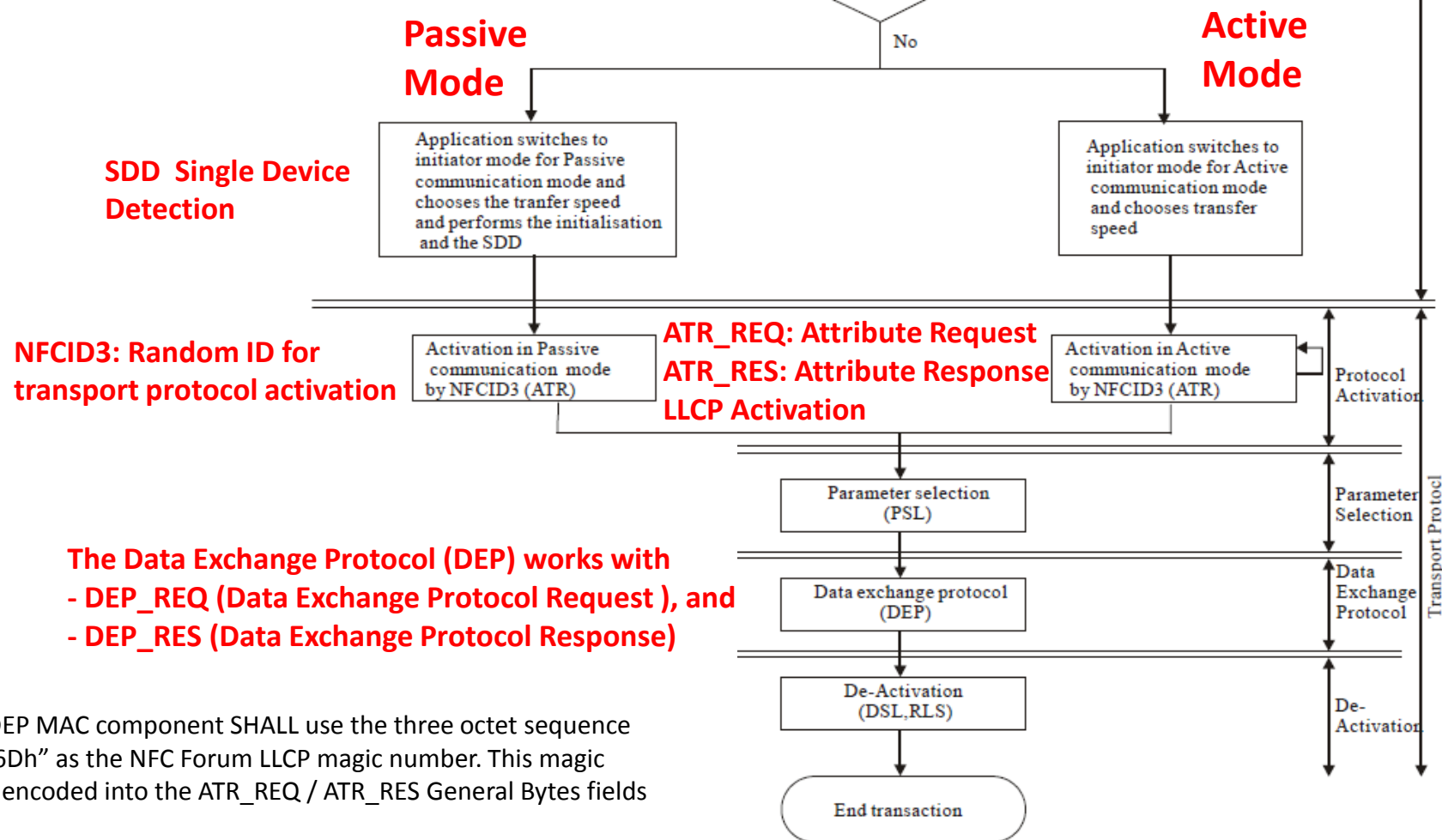


Figure 1 — Activation of a PICC Type A by a PCD

NFCIP-1

Initiator State Machine



LLCP

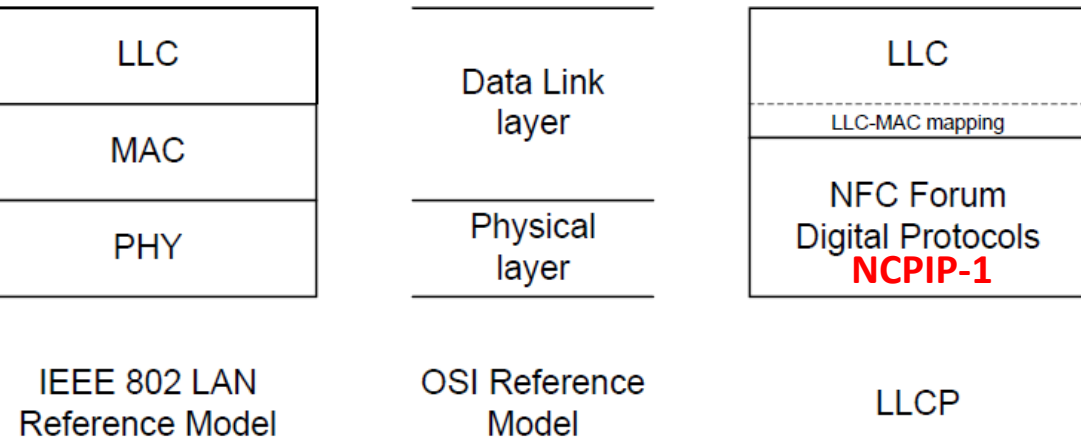


Figure 1: Relationship to OSI Reference Model

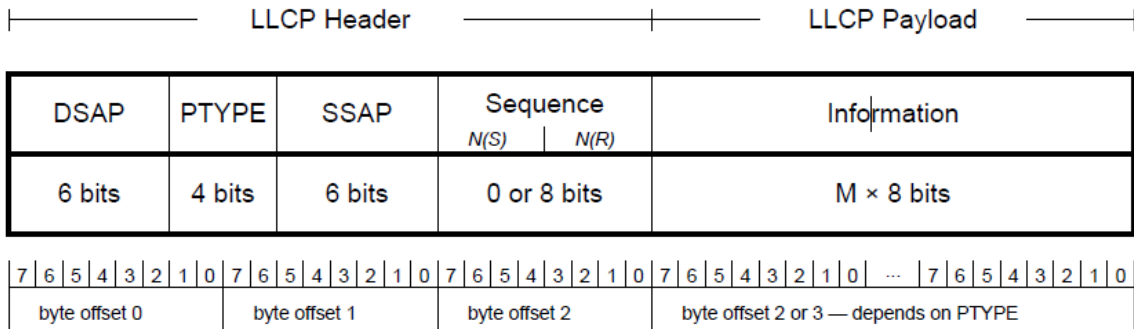


Table 3: PDU Type Values

PDU Type	PTYPE	Link Service Class
SYMM	0000	1, 2, 3
PAX	0001	1, 2, 3
AGF	0010	1, 2, 3
UI	0011	1, 3

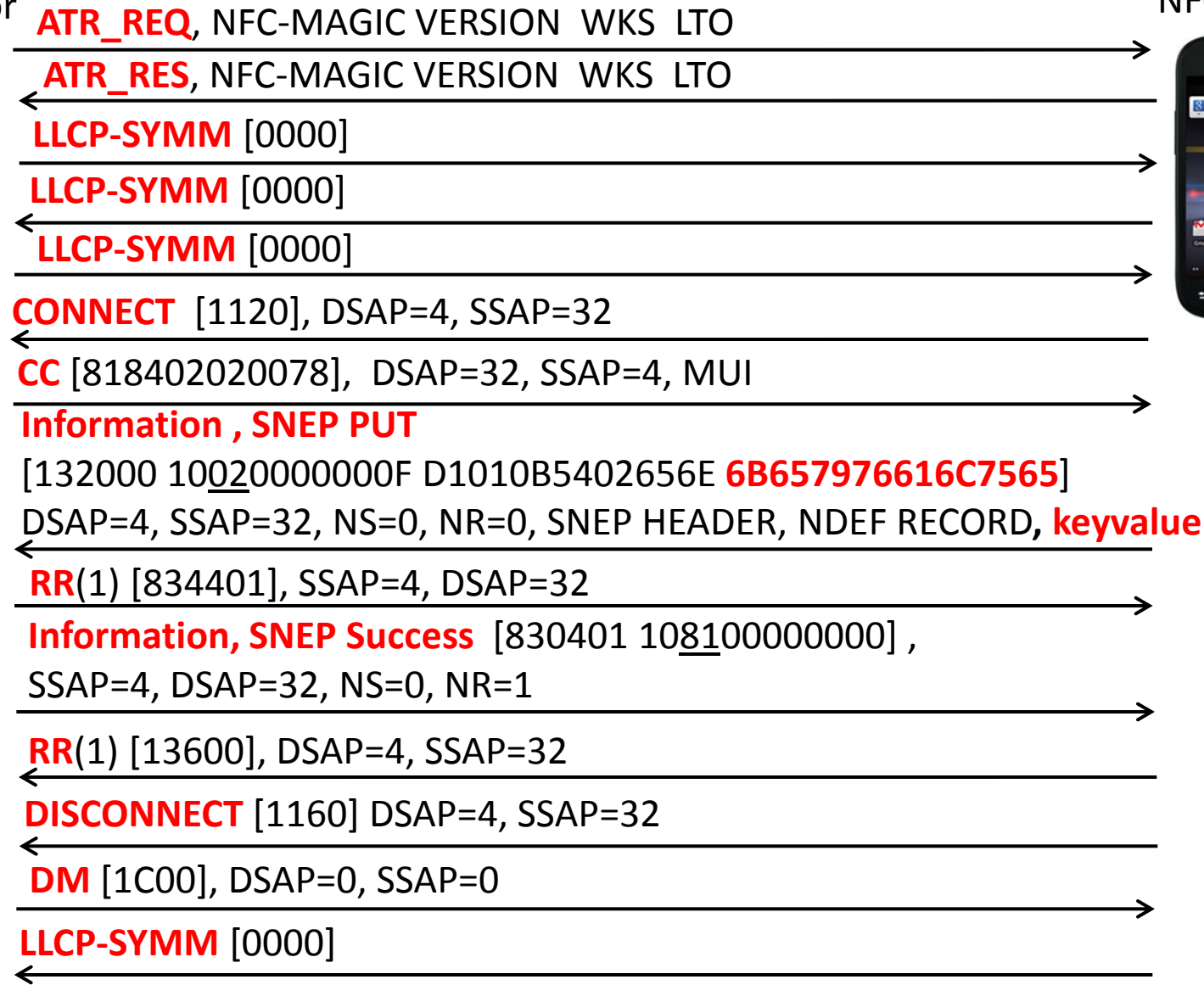
PDU Type	PTYPE	Link Service Class
CONNECT	0100	2, 3
DISC	0101	1, 2, 3
CC	0110	2, 3
DM	0111	1, 2, 3
FRMR	1000	2, 3
SNL	1001	1, 2, 3
reserved	1010	
reserved	1011	
I	1100	2, 3
RR	1101	2, 3
RNR	1110	2, 3
reserved	1111	

SNEP, Android 4.x

NFC Initiator



NFC Target



NDEF: NFC Data Exchange Format

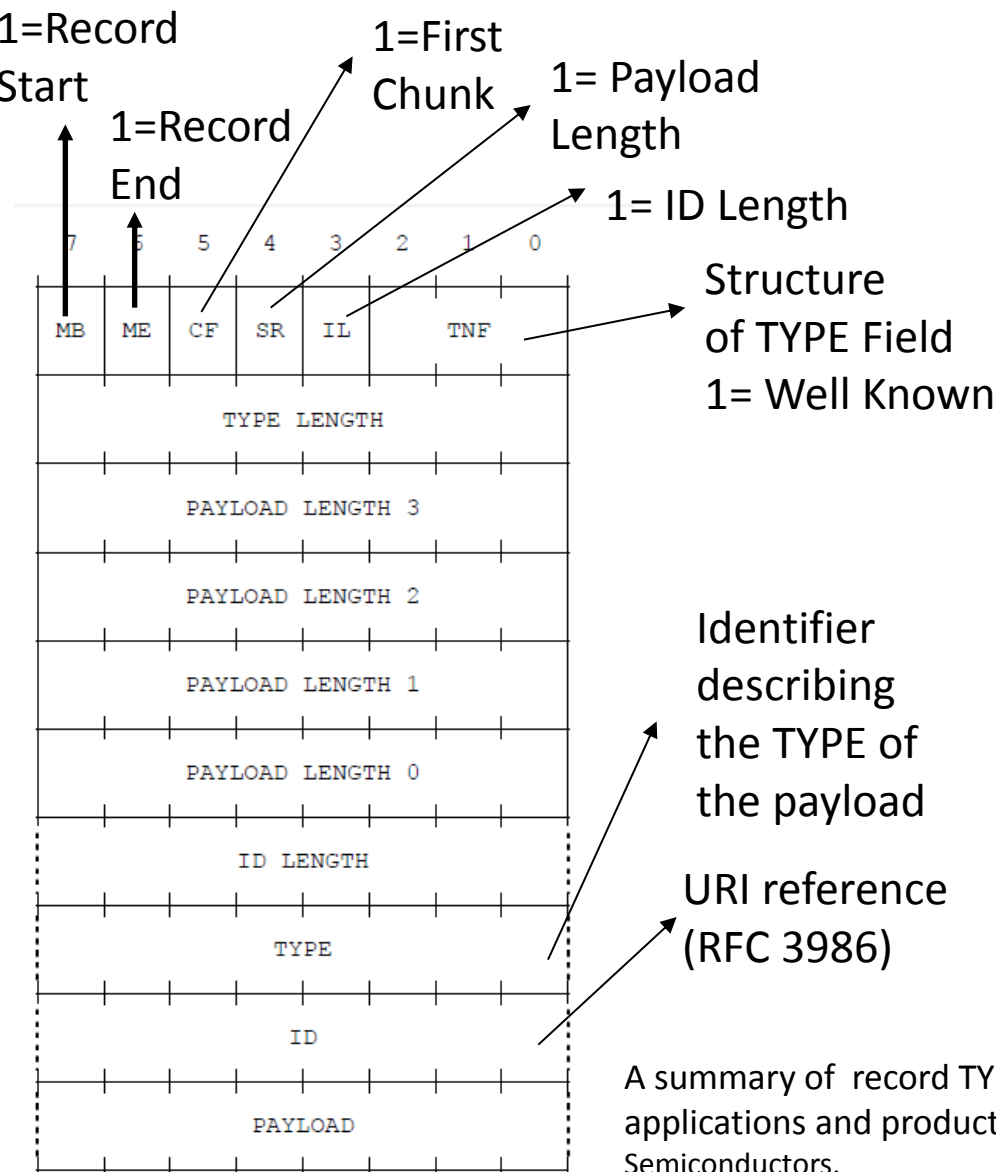


Figure 3. NDEF Record Layout

**NDEF Record Example:
(NFC Text Record Type Definition)**

D1: 1 1 0 1 0 0 0 1
01: Type Length
0A: Payload Length
54: Type= 'T', Text
02: ID= UTF8
65 6E: "EN"
53 61 6D 70 6C 65 20: "Sample "

NFC TAGS

Format NDEF pour les tags passifs

- **Type 1**
 - Basé sur la norme ISO 14443-A
 - Innovision Topaz, Broadcom BCM20203
- **Type 2**
 - Similaire au Type 1
 - Basé sur la norme ISO 14443-A
 - Compatible avec NXP MIFARE Ultralight.
- **Type 3**
 - Similaire au Type1
 - Basé sur le standard japonais (JIS) X 6319-4.
 - Compatible avec Sony Felica
- **Type 4**
 - Similaire au type 1
 - Basé sur la norme ISO 14443-A
 - Compatible avec le standard ISO 14443-4 (mode APDU)
- **NXP tag**
 - Mifare Classic

Les services NDEF LLCP

- SNEP: Simple NDEF Exchange Protocol
- SNEP requêtes et réponses
- LLC service access point address 4
- Nom du service “urn:nfc:sn:snek”

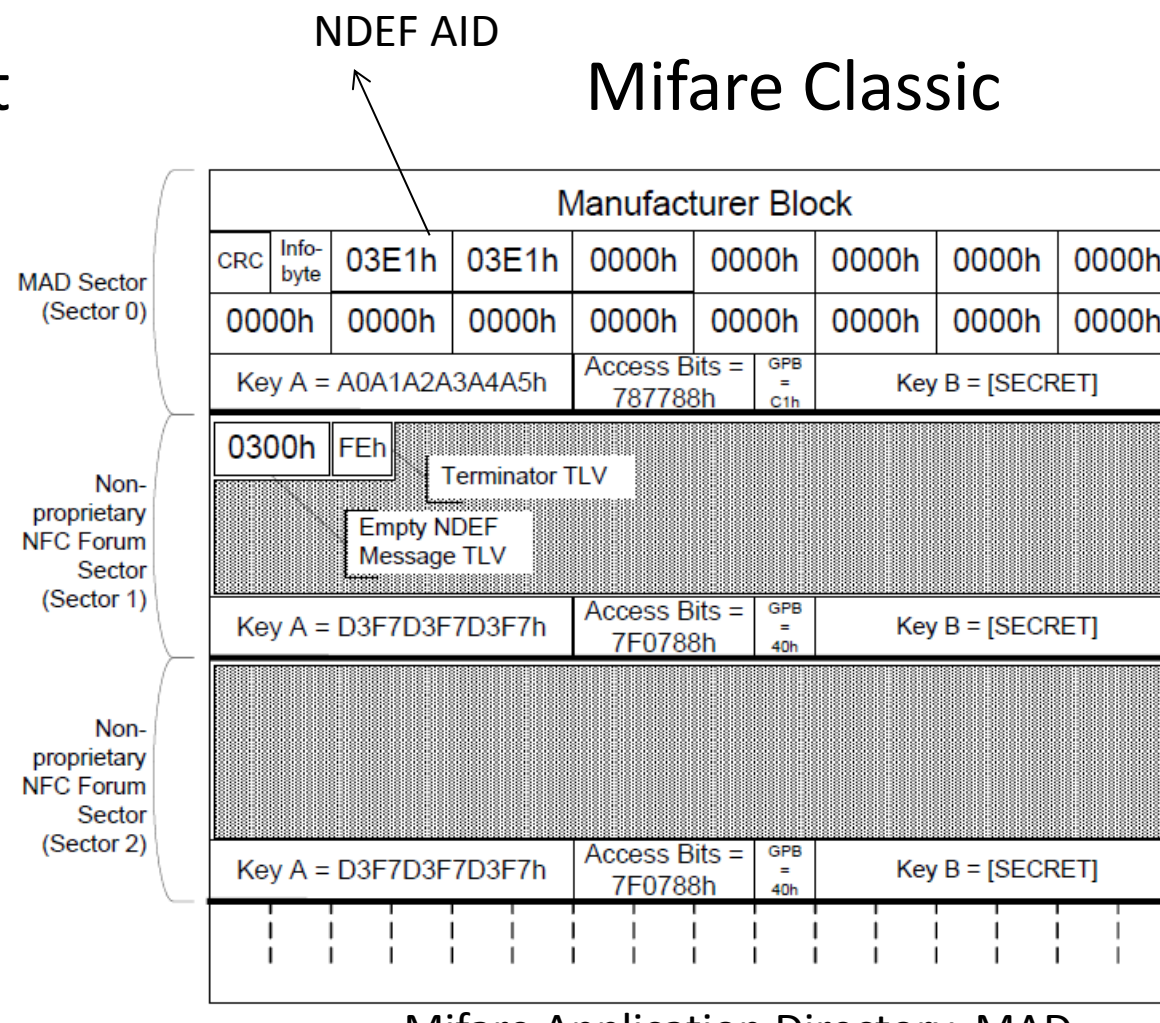
Exemple de tag type 2 Mifare

Mifare Ultralight

Block	Hex	ASCII
0	04D3 E0BF	.Óàë
1	0277 1E80	.w.€
2	EB48 0000	ëH..
3	E110 0600	á...
4	030E D101	..Ñ.
5	0B54 0265	.T.e
6	6E53 616D	nSam
7	706C 6520	ple
8	FE00 0000	b...
9	0000 0000
10	0000 0000
11	0000 0000
12	0000 0000
13	0000 0000
14	0000 0000
15	0000 0000

Type2 Tag

Size 48 bytes



Mifare tags are read by Android Mobiles

Mifare Classic 1K

Sector 0

Block0

UID	Manufacturer Data

Block3

KEYA	ACCESS	KEYB

Sector 1

Block4

Block7

KEYA	ACCESS	KEYB

Table 6. Access conditions

Access Bits	Valid Commands		Block	Description
C1 ₃ , C2 ₃ , C3 ₃	read, write	→	3	sector trailer
C1 ₂ , C2 ₂ , C3 ₂	read, write, increment, decrement, transfer, restore	→	2	data block
C1 ₁ , C2 ₁ , C3 ₁	read, write, increment, decrement, transfer, restore	→	1	data block
C1 ₀ , C2 ₀ , C3 ₀	read, write, increment, decrement, transfer, restore	→	0	data block

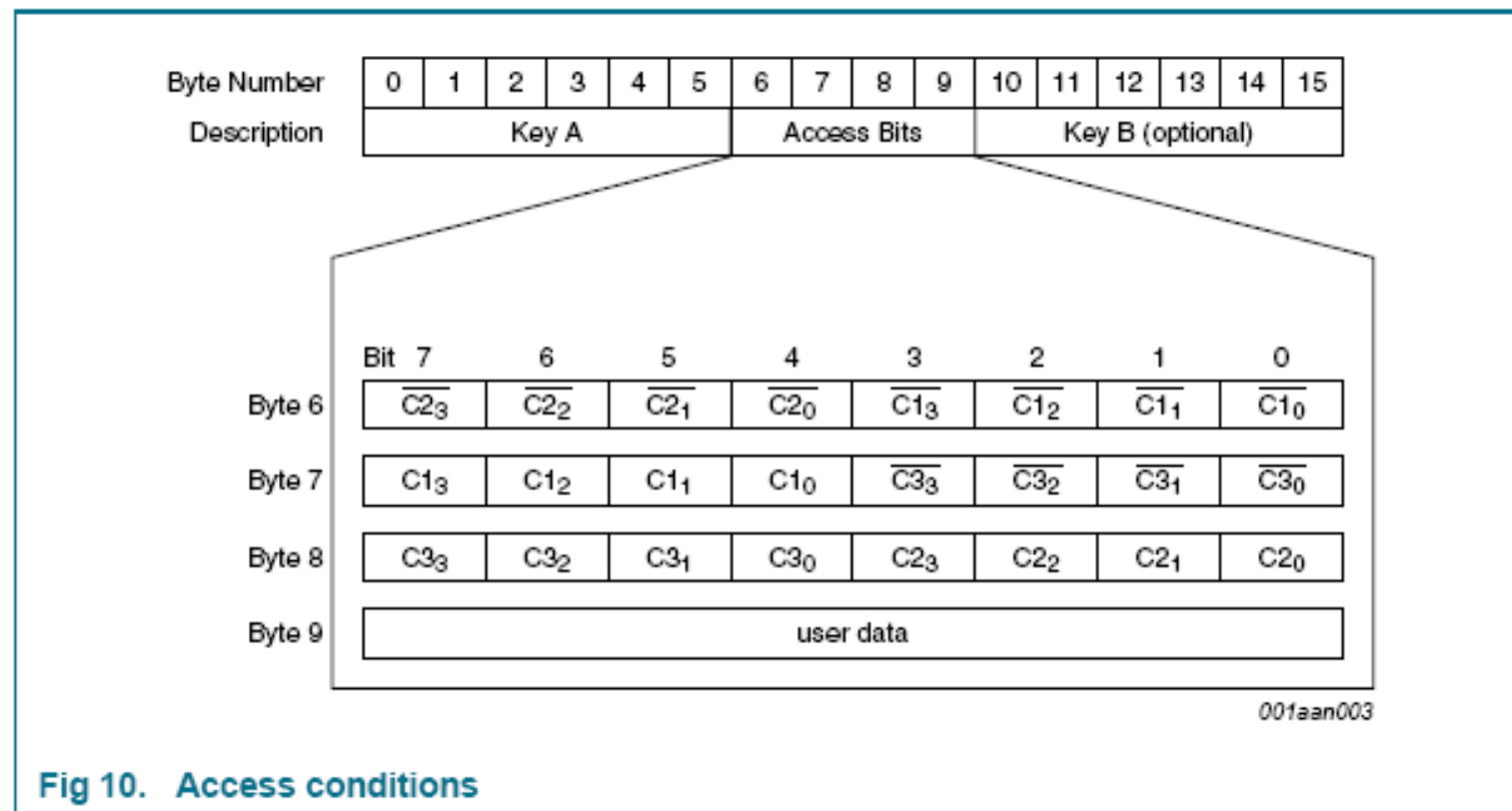


Table 7. Access conditions for the sector trailer

Access bits			Access condition for						Remark
			KEYA		Access bits		KEYB		
C1	C2	C3	read	write	read	write	read	write	
0	0	0	never	key A	key A	never	key A	key A	Key B may be read [1]
0	1	0	never	never	key A	never	key A	never	Key B may be read [1]
1	0	0	never	key B	key A B	never	never	key B	
1	1	0	never	never	key A B	never	never	never	
0	0	1	never	key A	key A	key A	key A	key A	Key B may be read, transport configuration [1]
0	1	1	never	key B	key A B	key B	never	key B	
1	0	1	never	never	key A B	key B	never	never	
1	1	1	never	never	key A B	never	never	never	

[1] For this access condition key B is readable and may be used for data

Mifare UltraLight

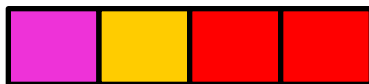
Page 0



Page 1



Page 2



Page 3



Page 4



Check Byte

UID

Internal Byte

LOCK bits

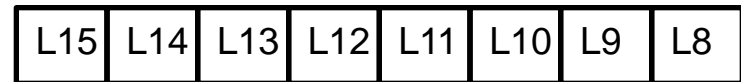
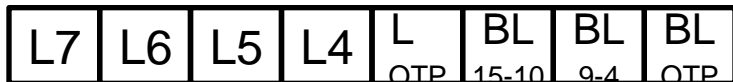
OTP

Page 15



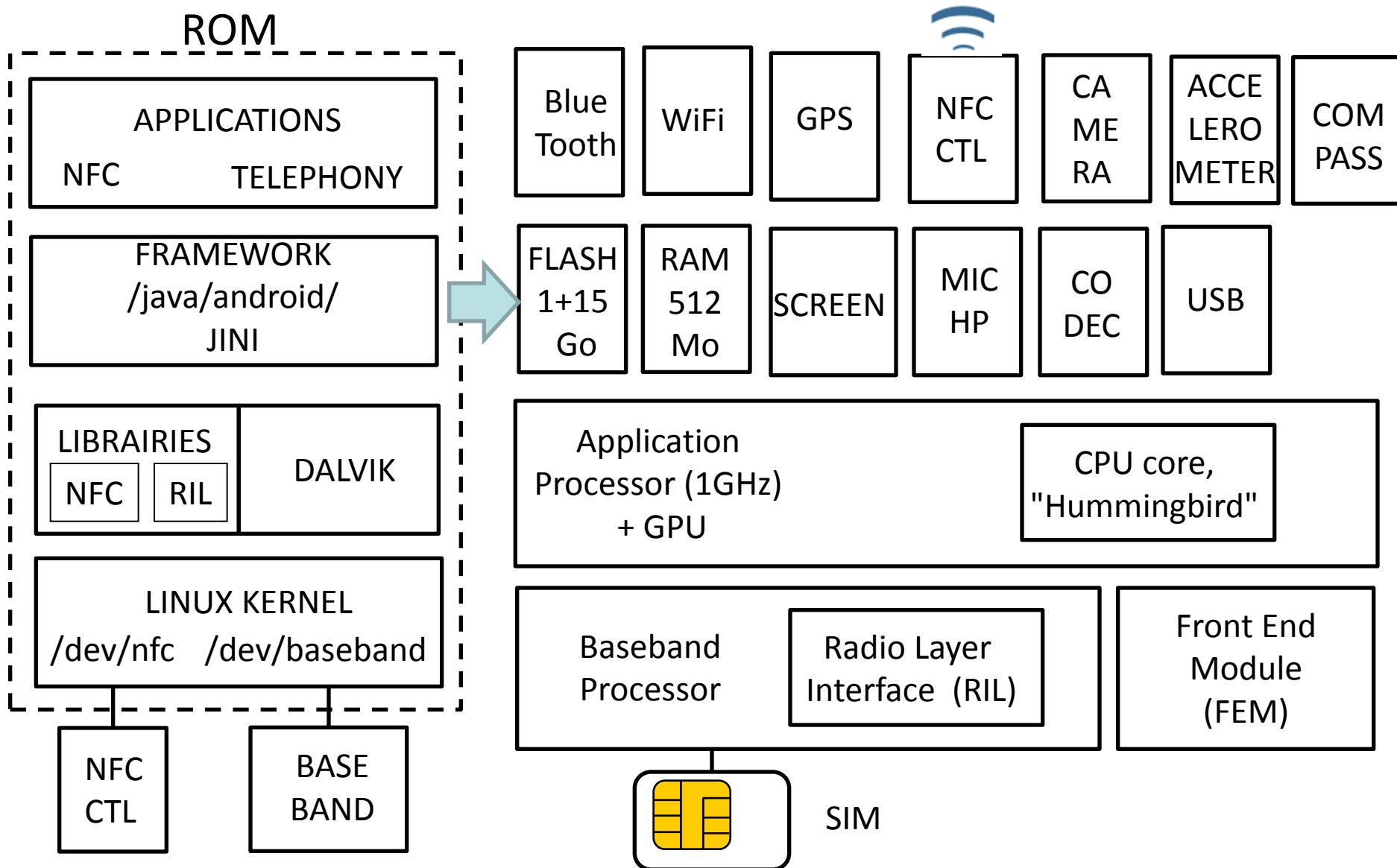
OTP: One-Time Programmable (1=set)

LOCK bits

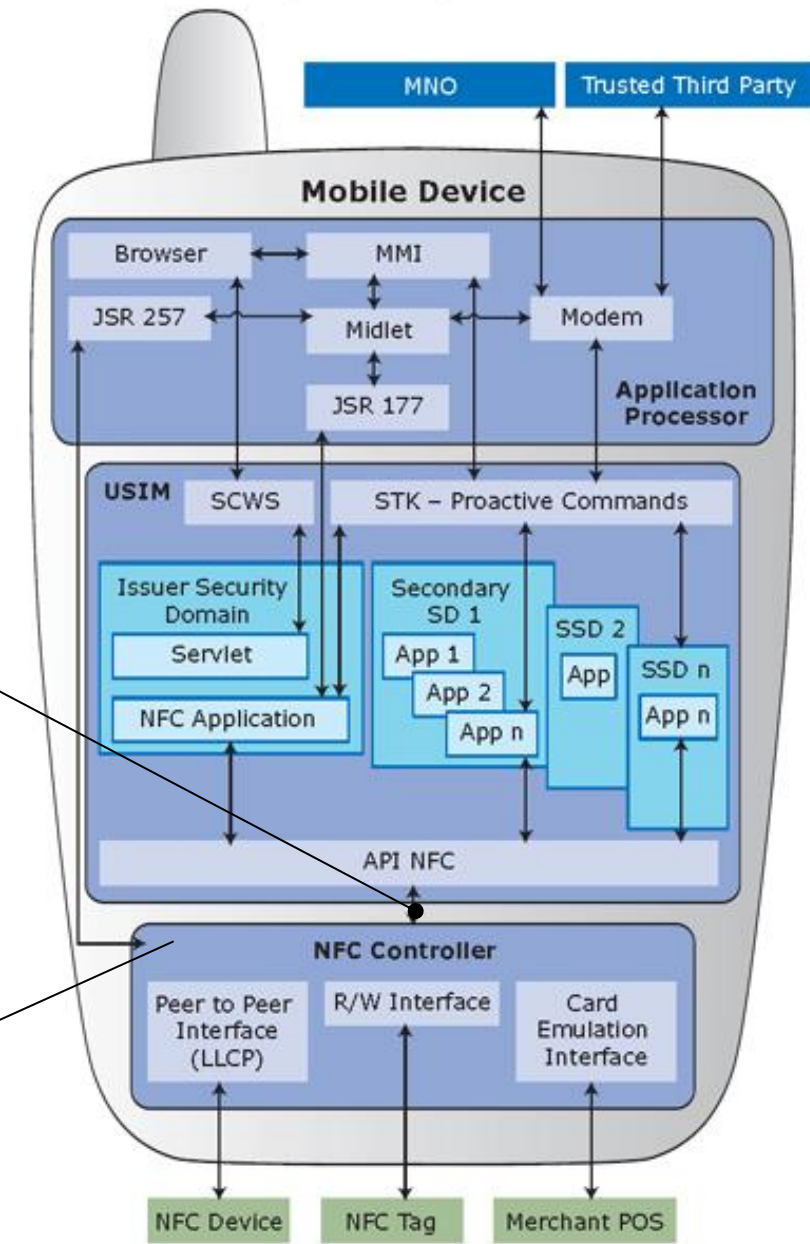
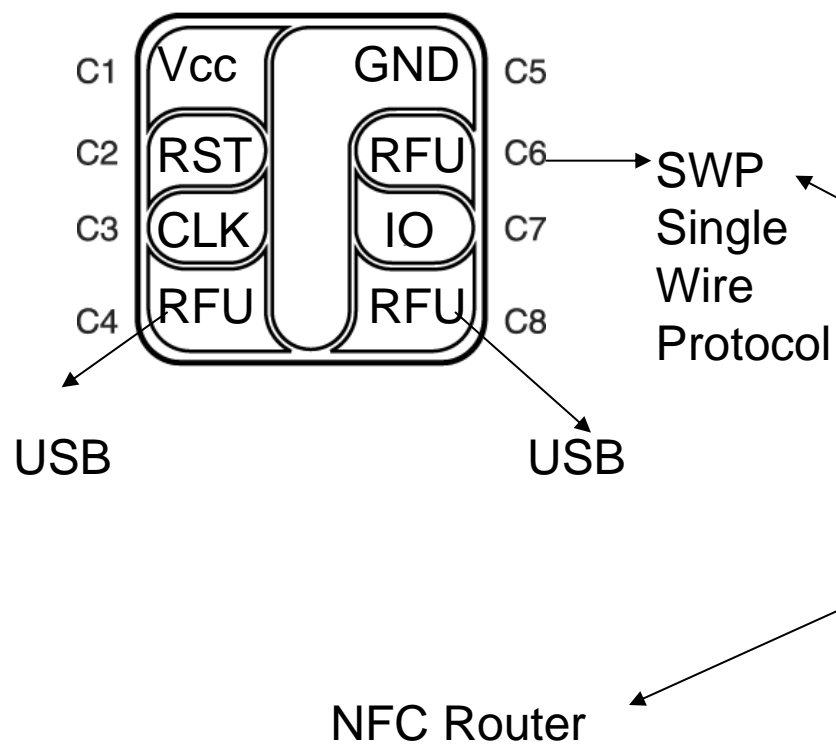


NFC et Smartphones

Hardware and Software Architecture of the Nexus S Android Phone

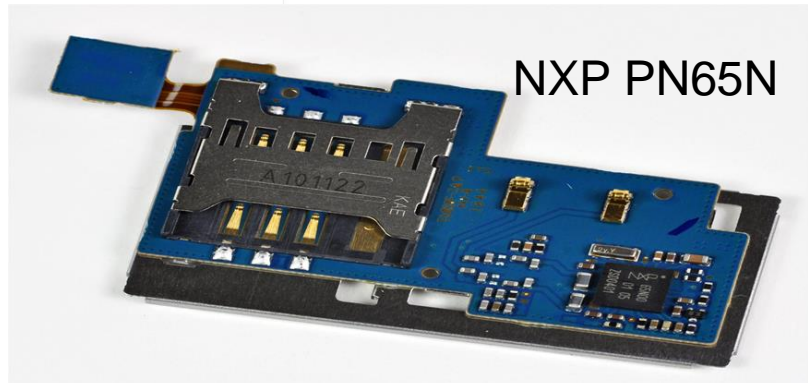
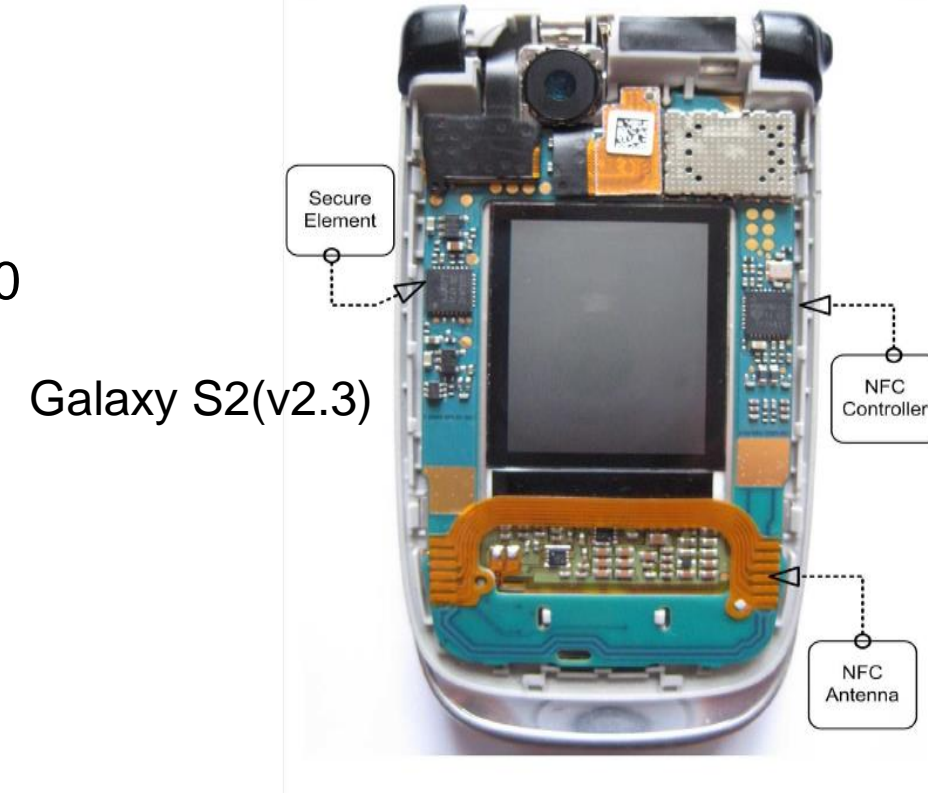


NFC

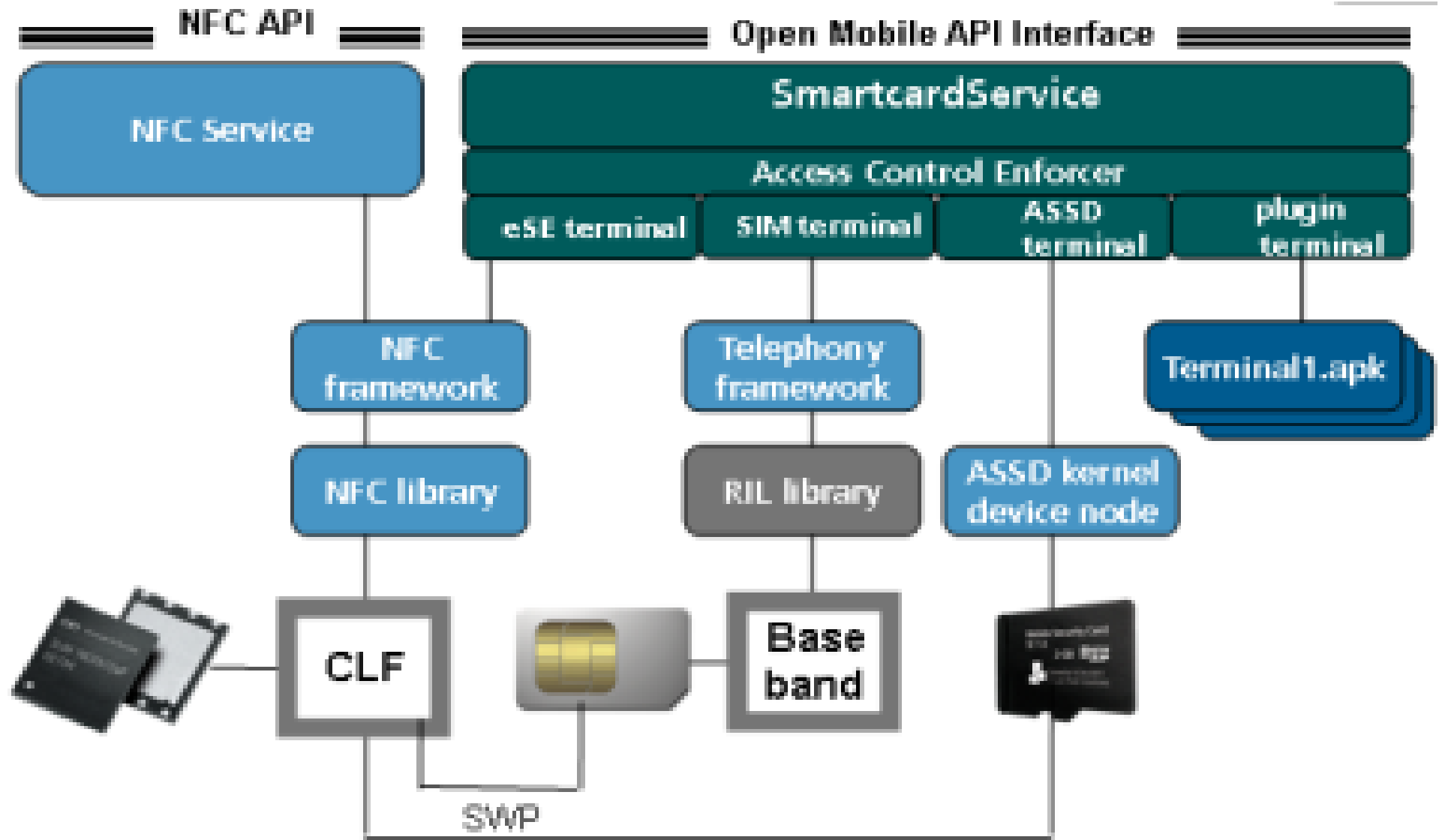


NFC et Smartphones

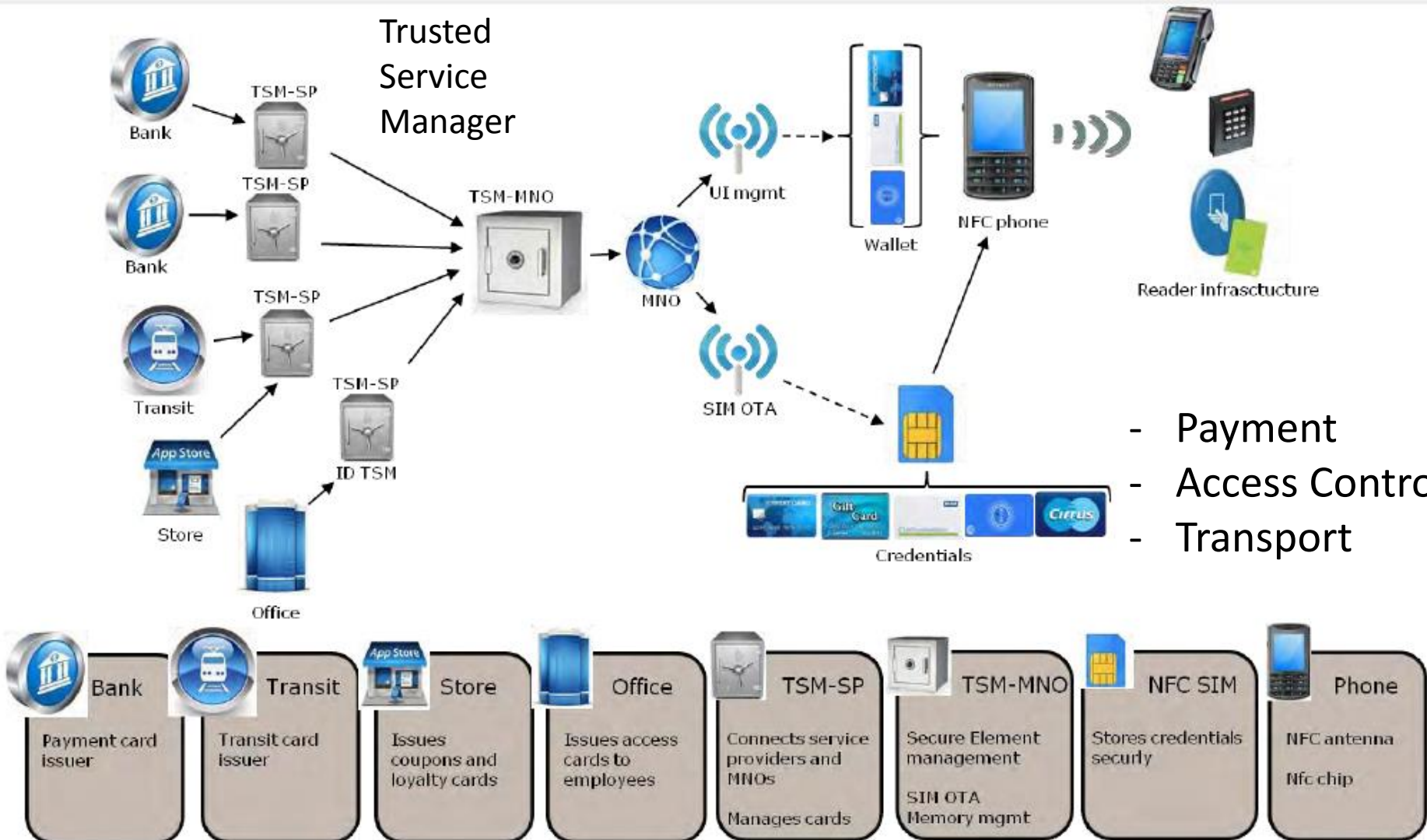
- Nokia
 - Card Emulation and SWP
 - NOKIA 6131
- Android 2.3 (Gingerbread), Android 4.0
 - Reader/Writer and P2P
 - Nexus S (v2.3) , Galaxy Nexus (v4.0), Galaxy S2(v2.3)
 - NXP NFC Controller PN65N
- RIM JDE 7.0.0 (October 2011)
 - Reader/Writer and Card Emulation
 - JSR 177 (SIM Access)
 - Blackberry Bold 9900, 9930
 - INSIDE SecureRead NFC Controller
- IPHONE
 - External NFC Reader
 - Rumors for the NFC support



2011, Open Mobile API



HID NFC White Paper: Services SIM centric



NFC ecosystem with the Secure Element in the SIM and one MNO

La plateforme NFC Google

Reader/Writer

Google places



Card Emulation



Google wallet

Peer to Peer

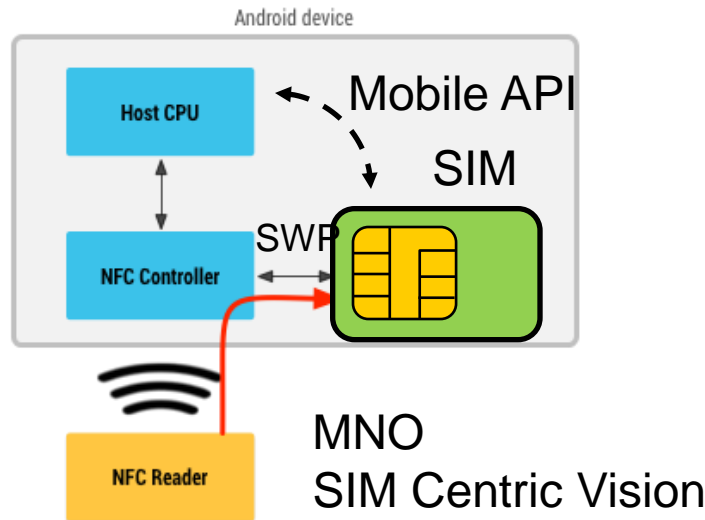


Android Beams

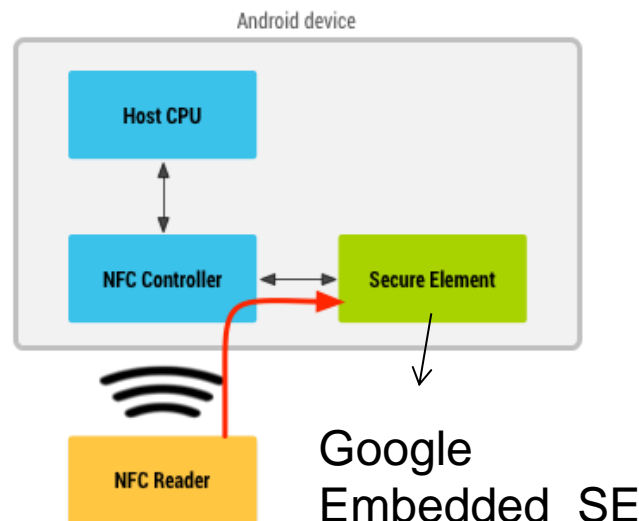
NFC Tags

- EMV Magnetic Stripe Profile
- Cloud Storage

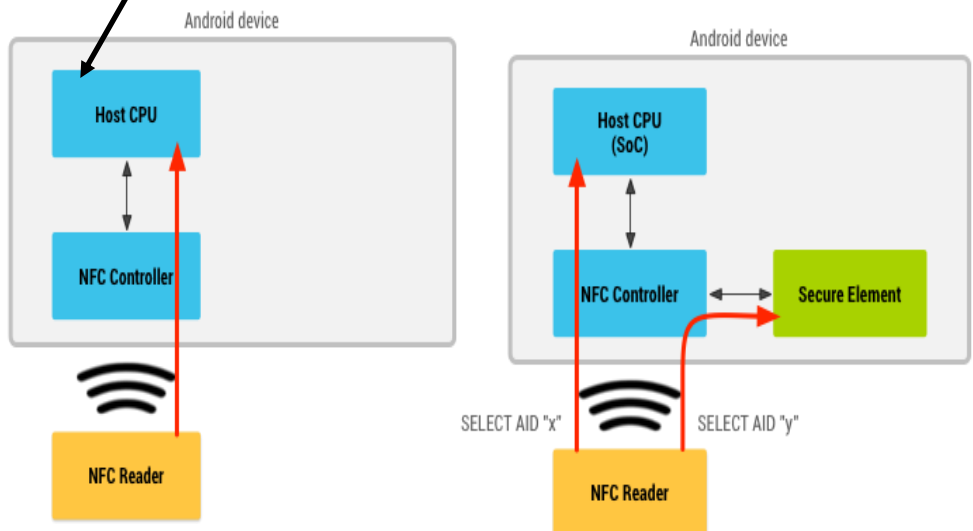
SNEP



Qui administre le Secure Element



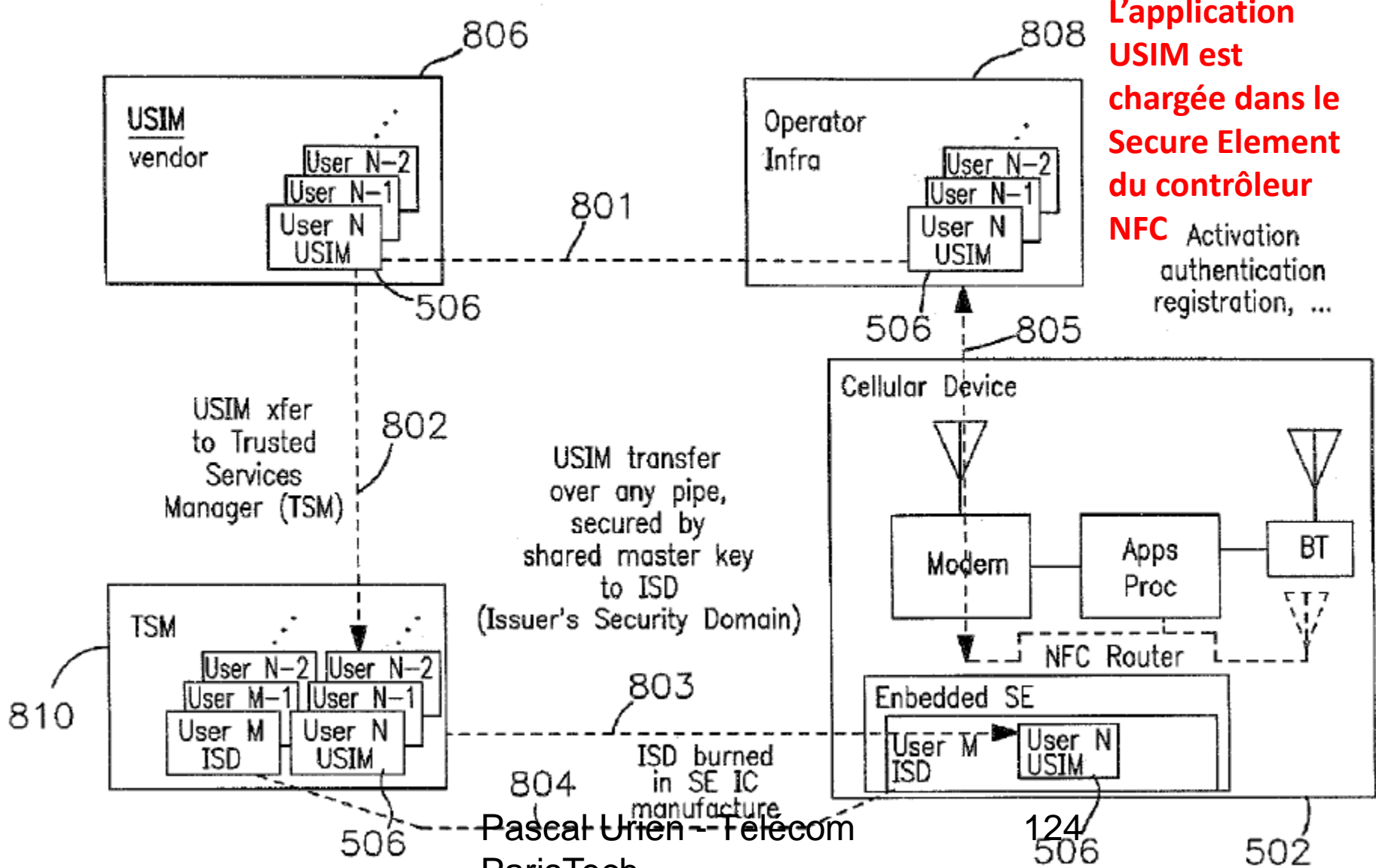
Android 2.3 (2010)



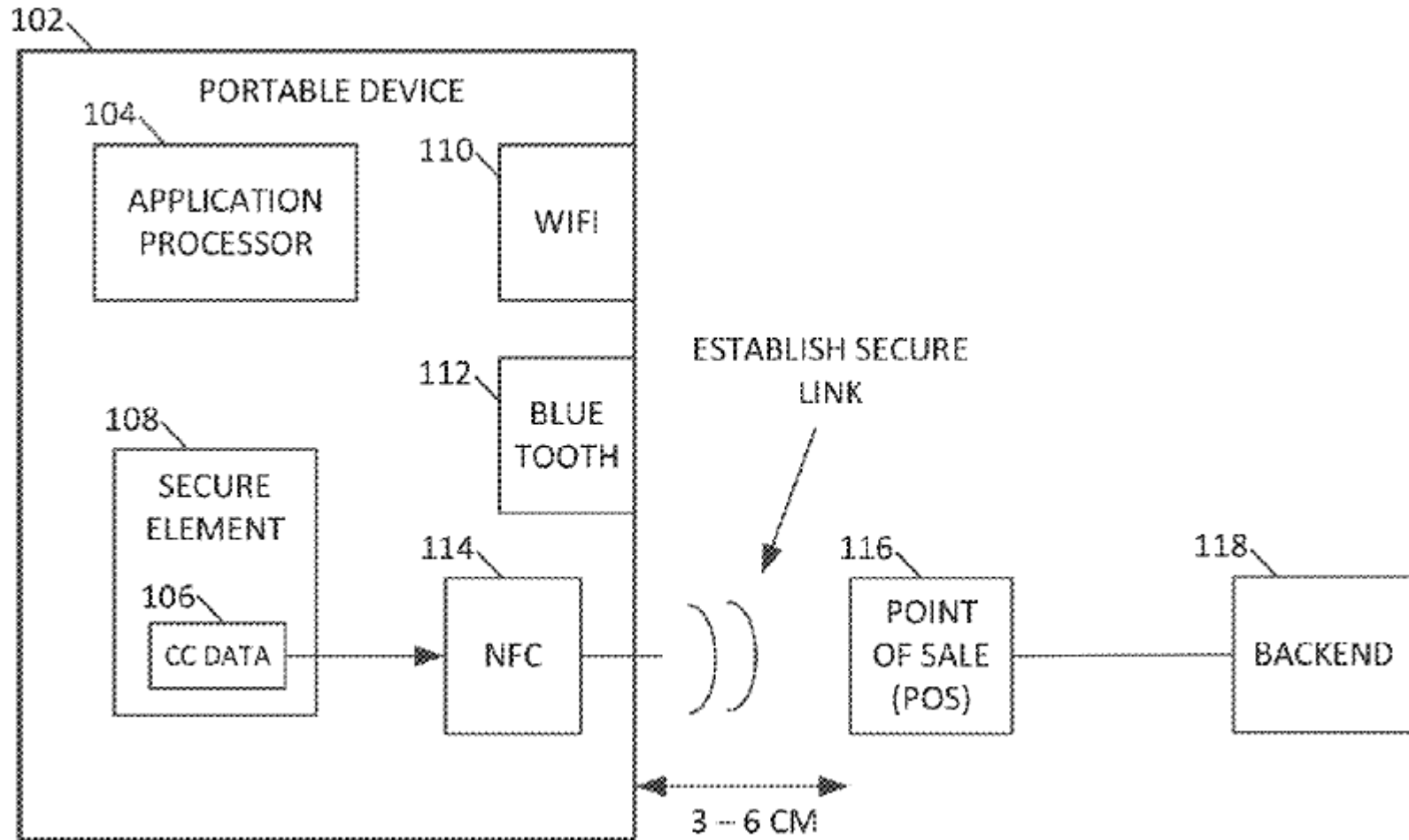
Android 4.4 (2013)

Apple Patent, US 2011 0269423

Δ 1



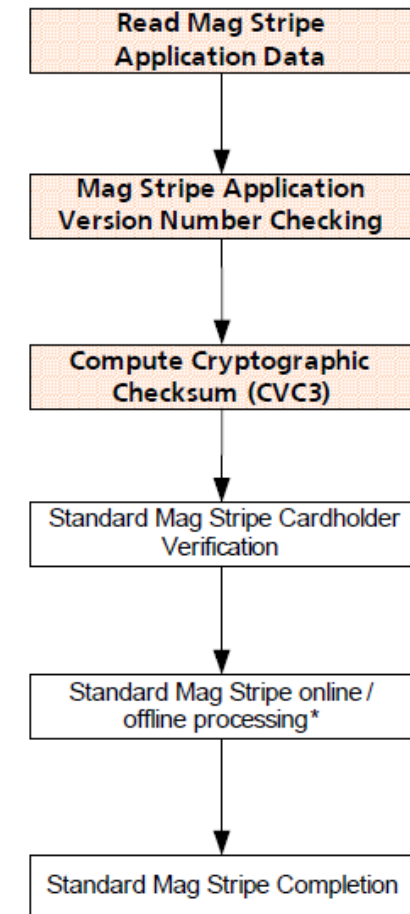
US Patent US 2014 0019367, Apple



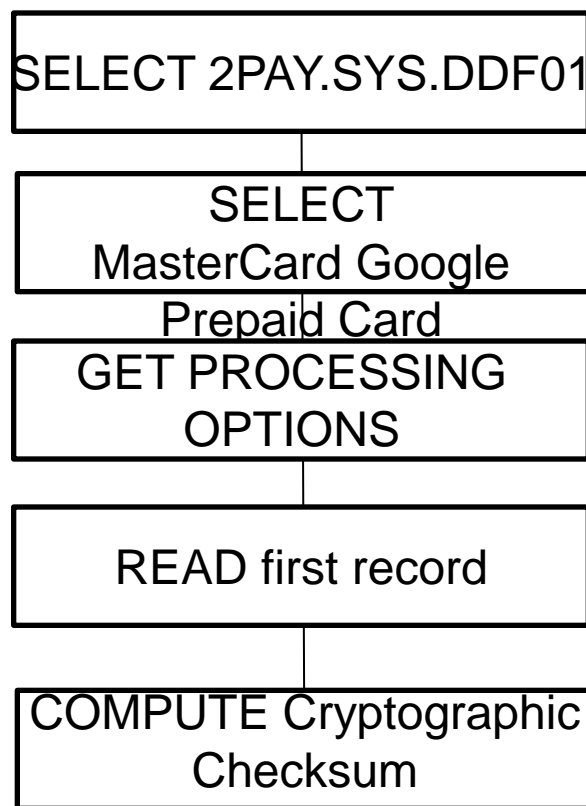
Au Sujet des Paiements

NFC

- Certain paiements NFC sont basés sur la spécification MasterCard PayPass
- Deux modes sont définis
 - Mag Stripe, un CVC3 de quatre digits (*Card Verification Value*) is calculé à partir d'un algorithme 3xDES de divers paramètres (PAN, ATC counter,...)
 - Contactless EMV
- Le Secure Element réalise les calculs cryptographiques et exécute l'application EMV.

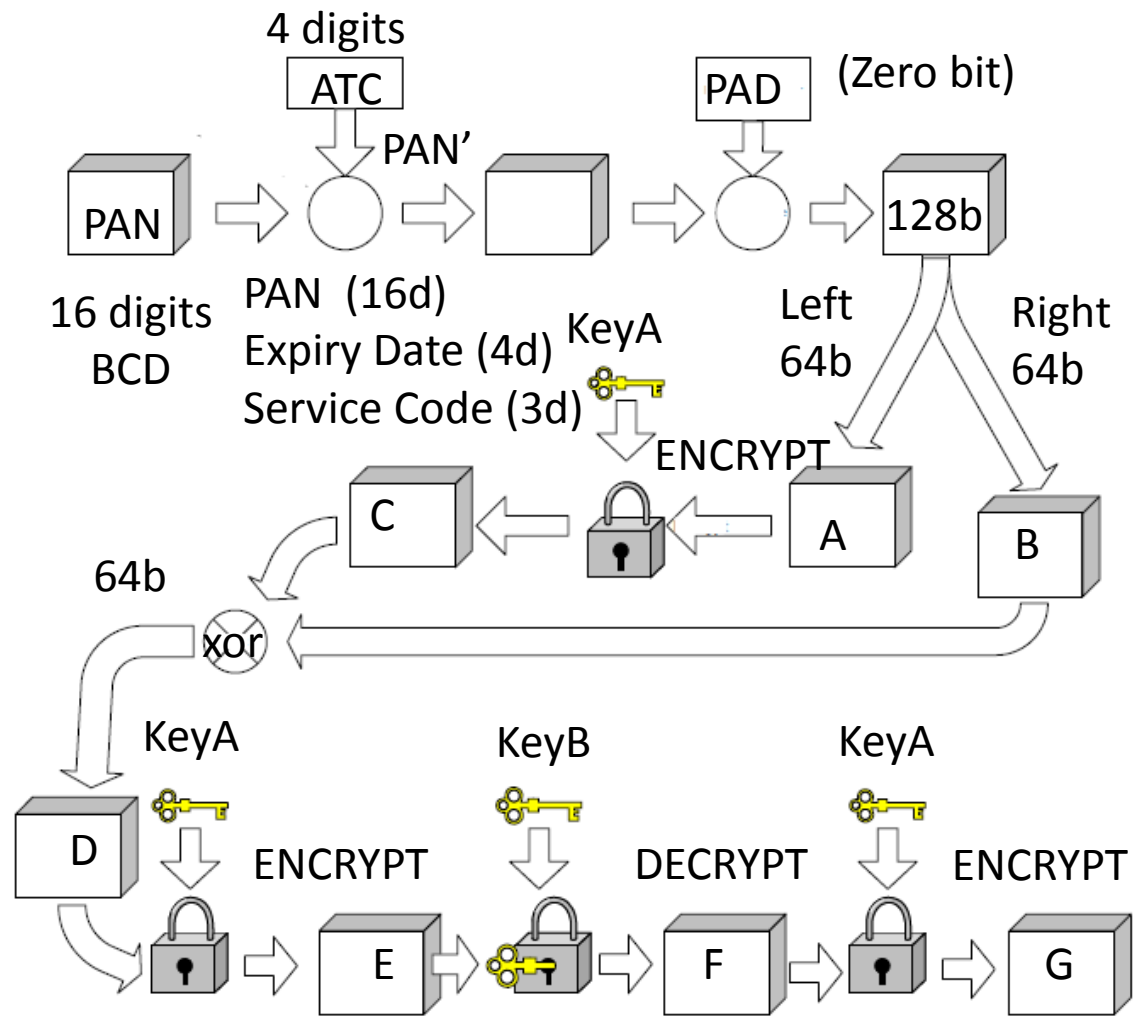


Details du profile EMV Mag. Stripe*

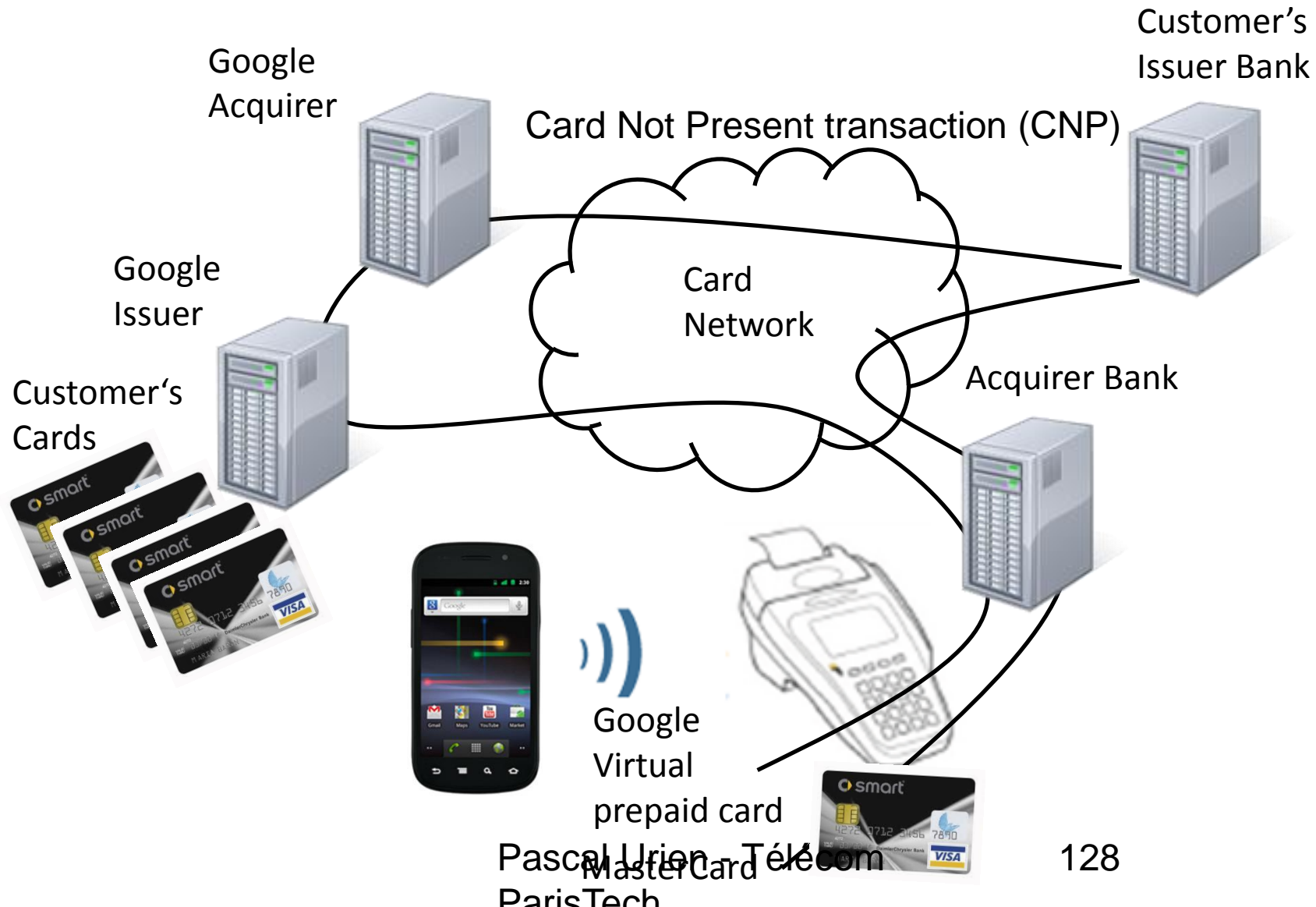


G=A23FB35FC89AE3A9
23358939AFBFCAEA
2335893905152040

CVC3=233

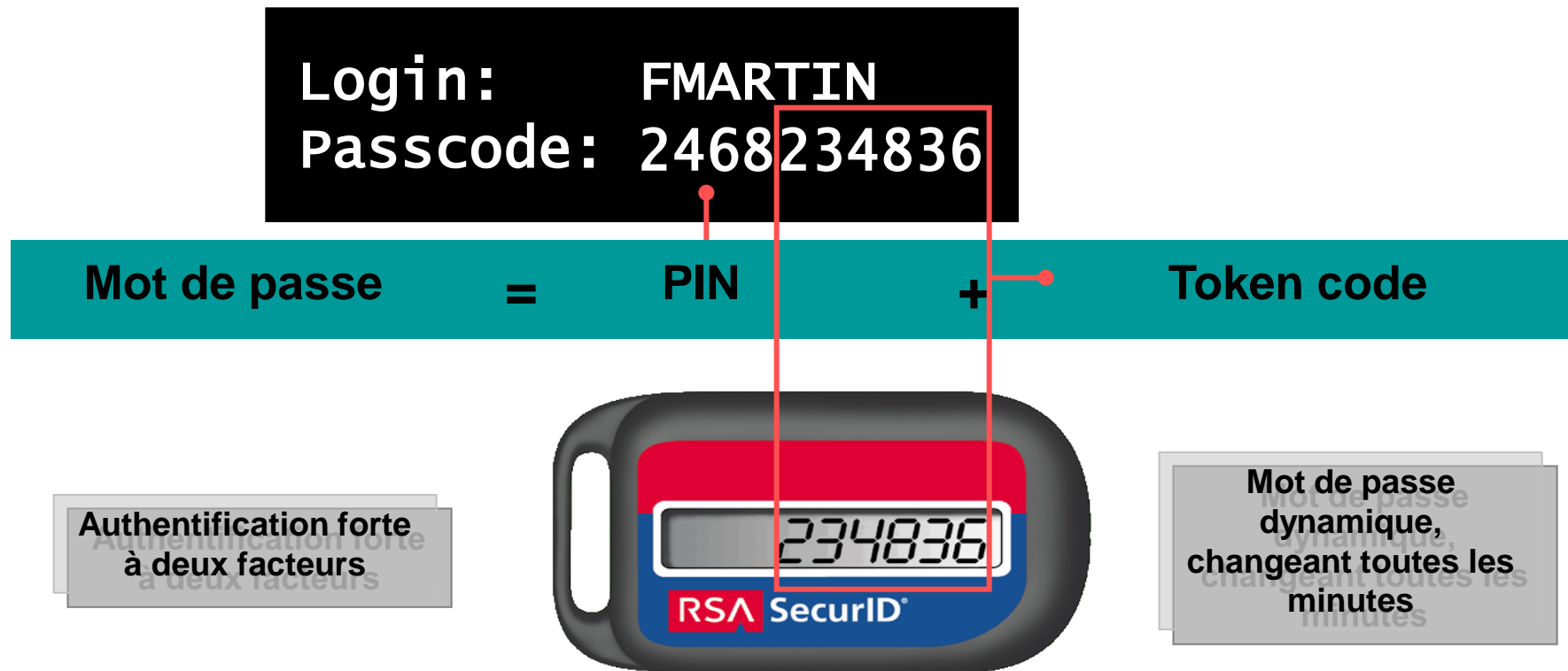


Le Google Wallet 2



De nouveaux circuits
sécurisés

SecurID: Principe



Architecture

USERNAME
+ PIN
+AUTHCODE

r with
rID



Algorithm

Time

Seed

ACE
Protocol

RAS or Firewall with
RSA ACE/Agent

RSA ACE/Server

345734

Algorithm

Time

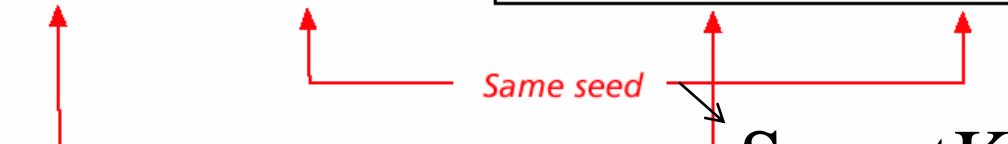
Seed

SecretKey

TimeStamp

Same time

Same seed



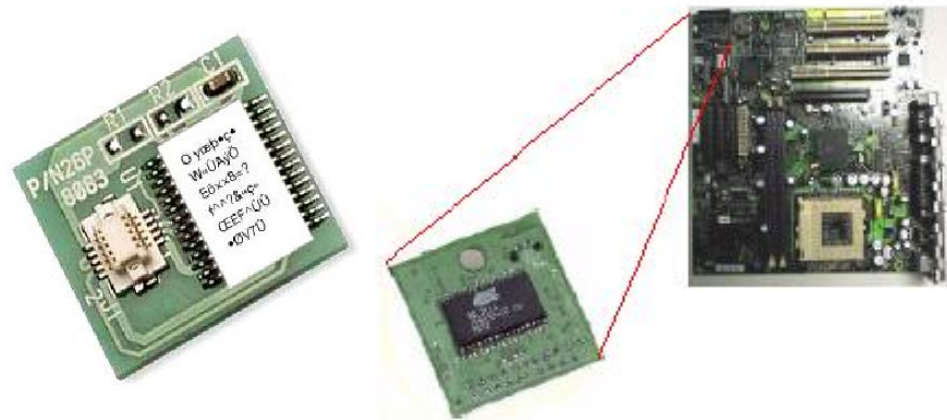
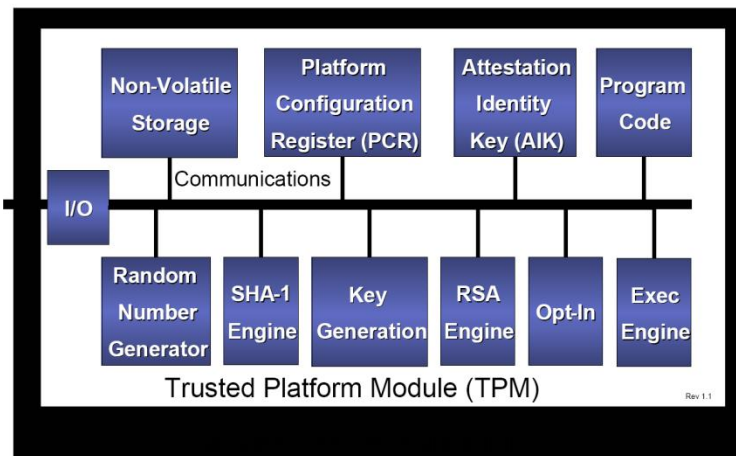
Ace 1.2.4 (1996), UDP port 124

- Le SHELL délivre un message Hello
- Le server ACE répond par un TimeStamp, T
- L'utilisateur donne son PASSCODE, Pi
- Le SHELL calcule un digest de 32 octets
 - $F2(IPace-client, T, Pi)$
 - Soit quatre mots de 8 octets wp1, wp2, wp3, wp4
- Le SHELL génère un paquet UDP avec le login de l'utilisateur et la valeur chiffrée de wp1, à l'aide d'une clé DES Kc, $\{wp1\}Kc$
 - La clé Kc (56 bits) est préalablement produite par le client et envoyée au serveur ACE
 - Le serveur ACE déchiffre wp1 et calcule une ou plusieurs valeurs $F2(IPace-client, Ti, Pk)$
 - En cas de succès il retourne au client la valeur chiffrée $\{wp2\}Kc$
 - En cas d'échec il retourne au client une notification d'erreur chiffrée avec wp1, $\{error\}wp1$
- <http://www.homeport.org/~adam/dimacs.html>

Trusted Platform Module - TPM

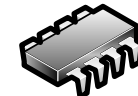
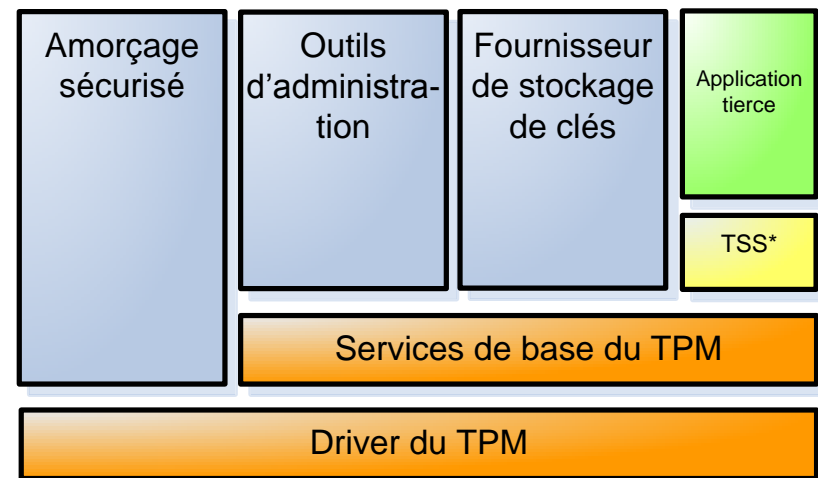
- Un module de sécurité lié à une carte mère (TPM, *Trusted Platform Module*)
 - Un composant proche d'une carte à puce (mêmes fondeurs)
- Un modèle de sécurité figé, TCG - *Trusted Computing Group*.

Attaque	Solution courantes	Défauts	Apports TPM
Vol de données	Chiffrement, intégrité (VPN, ...)	Stockage des clés dans des espaces non sûres	Stockage sécurisé des données
Accès non autorisés à une plateforme	1) Login, mot de passe 2) Biométrie 3) Token externes (cartes à puce...)	1) Attaques par dictionnaire 2) Fiabilité des techniques biométriques 3) Crédits d'authentification indépendants de la plateforme	Protection des données d'authentification liée à la plateforme.
Accès au réseau non autorisé	Windows network logon, IEEE 802.1X	Données d'authentification stockées dans un espace non sûr	Stockage sécurisé des données d'authentification.



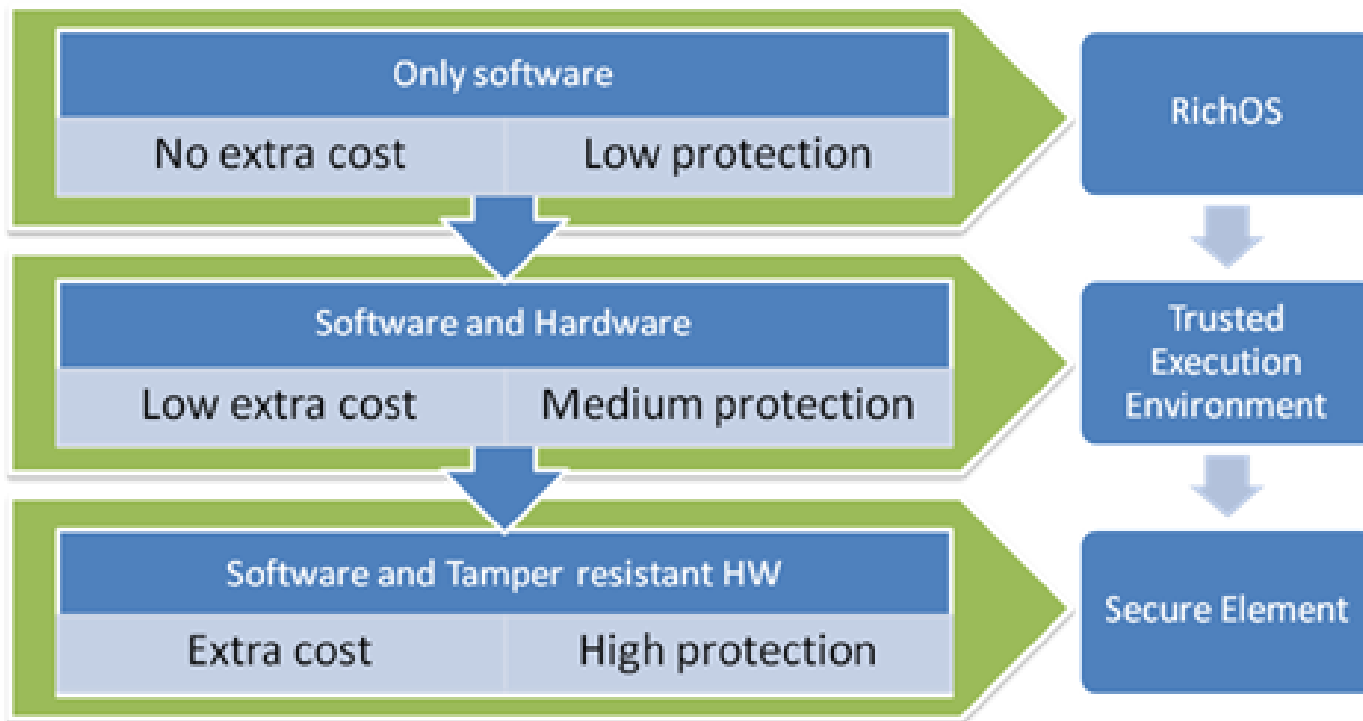
Le TPM

- L'intégration du TPM dans le système d'exploitation *windows* s'applique aux trois points suivants,
 - Le *Secure Boot*. Le premier programme amorce est stocké dans le TPM. Le *boot* est une succession de programme Pi tels que Po est contenu dans le TPM, chaque Pi est associé à une empreinte Hi enregistrée dans le TPM, le programme Pi-1 charge Pi et vérifie son empreinte Hi.
 - -Le chiffrement du contenu du disque dur (*bitlockerTM*) à l'aide d'une clé maître (VEK, Volume Encryption Key) stockée dans le TPM.
 - Le contrôle de l'intégrité des PCs au moment de leur connexion réseau (*NAP, Network Access Protection*).

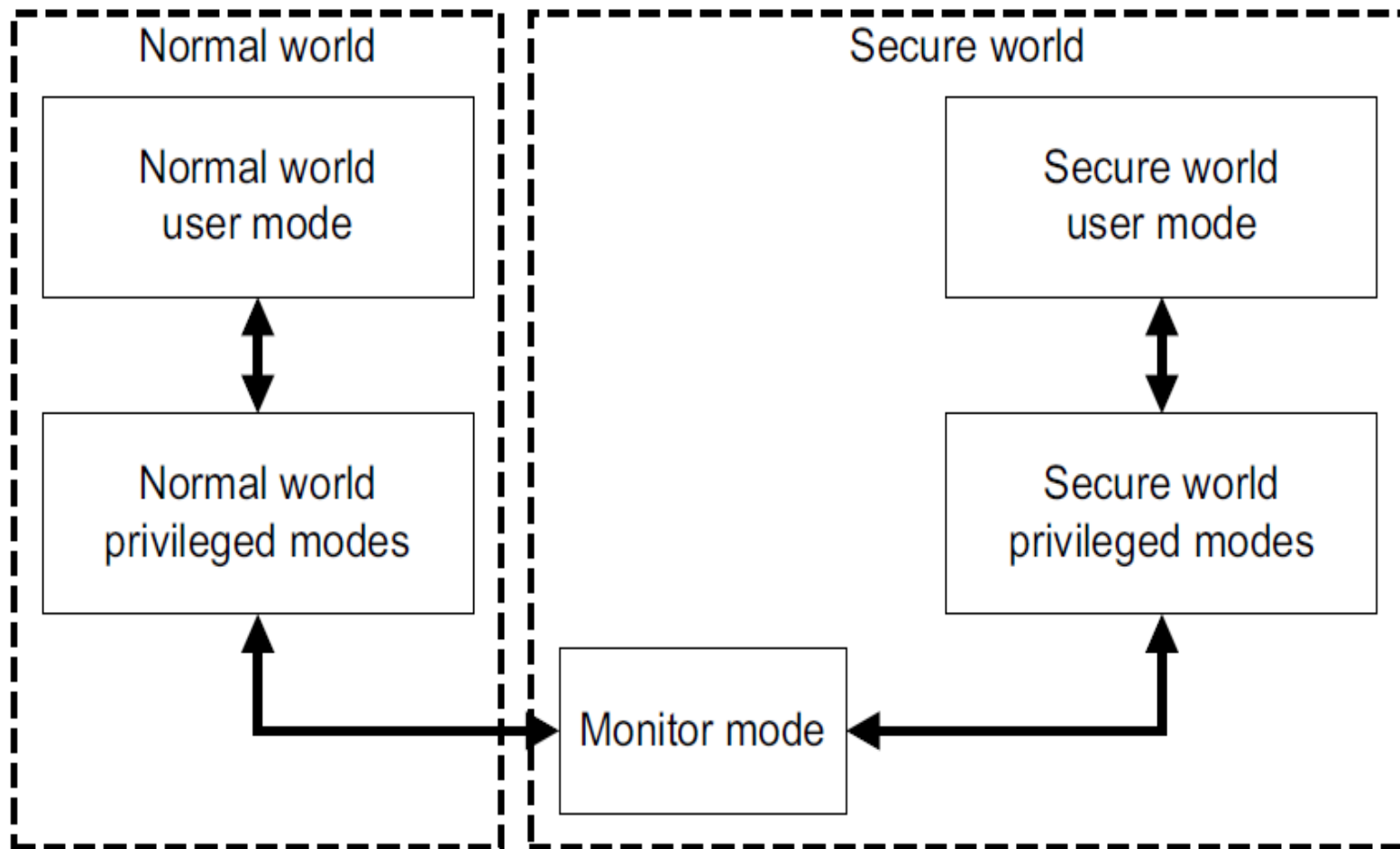


Trusted Execution Environment (TEE)

- Le TEE est un environnement d'exécution de confiance pour les mobiles.



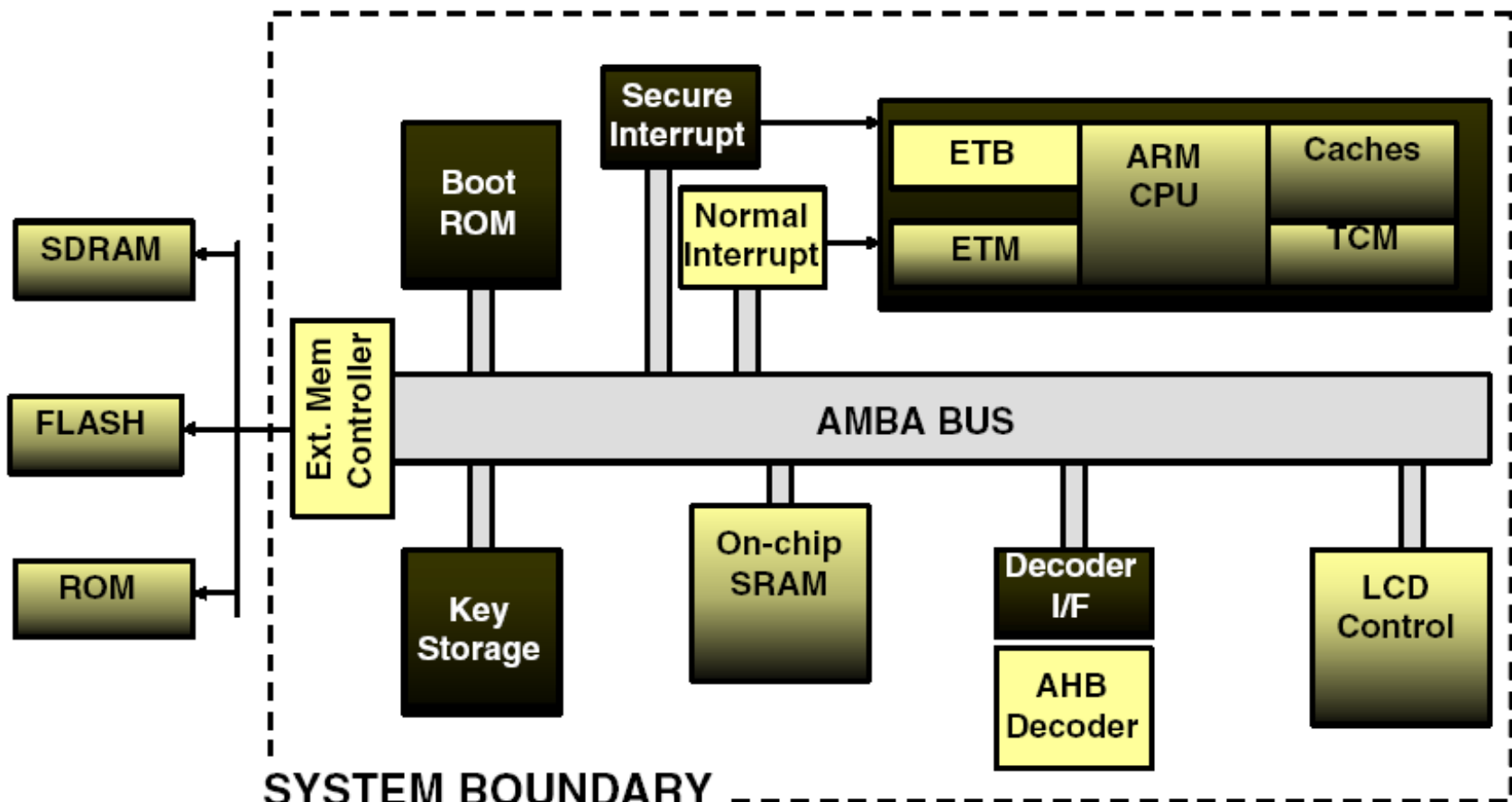
TrustZone®



TrustZone®

- Le concept de TrustZone propose la virtualisation d'un processeur permettant la création de deux espaces de traitement de l'information le "Normal Word" et le "Secure World".
- Chacun de ces modes de fonctionnement possède un banc de registres séparé et des mécanismes d'interruption différents.
- Cependant le CPU et les mémoires internes (ROM, SRAM) sont communs aux deux mondes. Une troisième entité, le Monitor gère les changements de contexte entre le "Normal Word" et le "Secure World" à l'aide d'instructions spécifiques (Secure Monitor Call, SMC); elle se comporte de fait comme un hyperviseur qui réalise grâce à la technique de virtualisation, une isolation des espaces dits normaux ou sécurisés.
- Les tailles mémoire internes (In-SoC) sont de l'ordre de 10 Ko pour la ROM et 128 Ko pour la SRAM.

ARM TrustZone



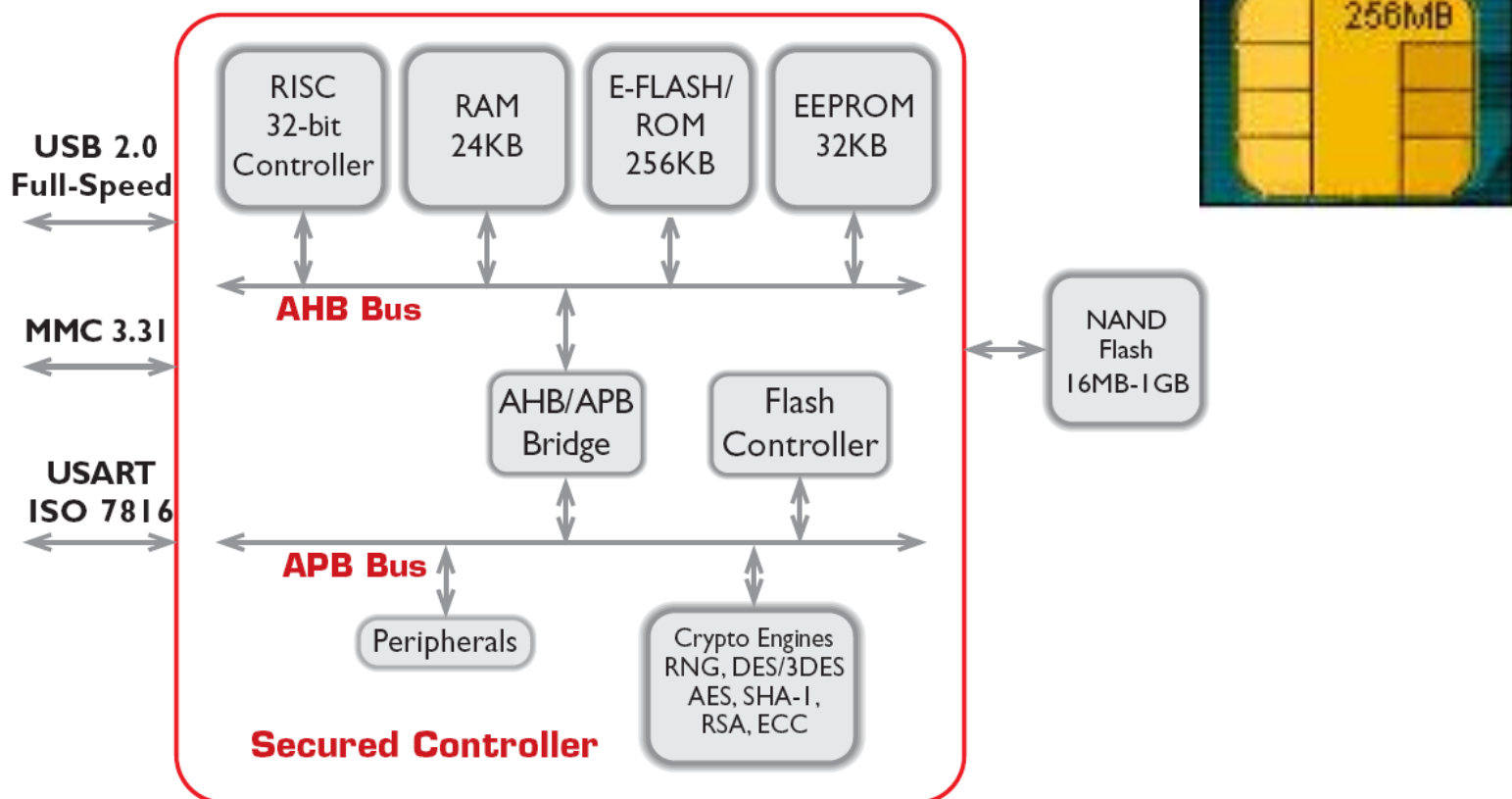
Security States



TrustZone®

- D'un point de vue physique, et contrairement aux Secure Elements, le processeur n'implémente pas de contremesures matérielles.
- Les mémoires externes (Off-Soc), non volatiles (ROM, FLASH) ou volatiles (DRAM...) sont partagées par les deux mondes. Une entité MMU (Memory Management Unit) réalise les partitions nécessaires à leur virtualisation; des protections cryptographiques (chiffrement et intégrité) sont nécessaires pour la sécurité des informations stockées par le "Secure World". Le MMU assure également les partitions mémoires internes au SoC.
- Le concept TrustZone introduit la notion d'entrée/sortie (IO) sécurisée. Un clavier sécurisé est géré par un pilote (driver) exécuté dans un SW. Un affichage sécurisé dispose deux mémoires d'affichage (FrameBuffer) distinctes, et donc implique la disponibilité d'un contrôleur particulier. Un pilote NFC exécuté en mode SW assure le traitement sécurisé de transaction de paiement.

MegaSIM





Next Smart Card Generation: the TPD - Trusted Personal Device

Applications - (WEB services)

Application Framework (APIs - XML - Storage - Cryptographic resources)



Application Protocol (HTTP-HTTPS)

Information Society
Technologies

Virtual Machine / Interpreter

Process Management

Memory Management

Power Management

Input/Output Management

File System Management

TCP/IP

ISO
7816
Legacy

ISO
14443
Legacy

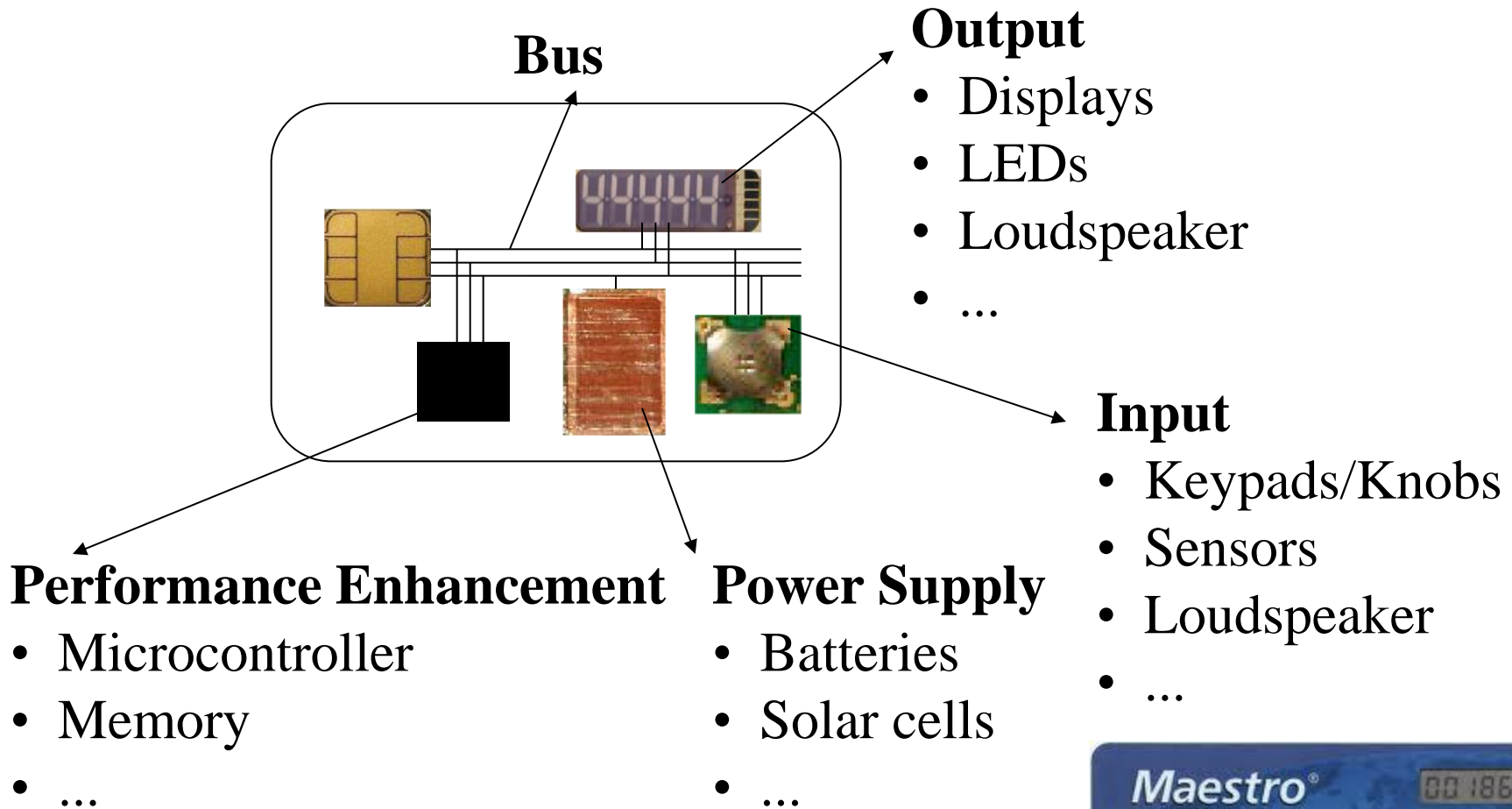
USB

MMC /SD

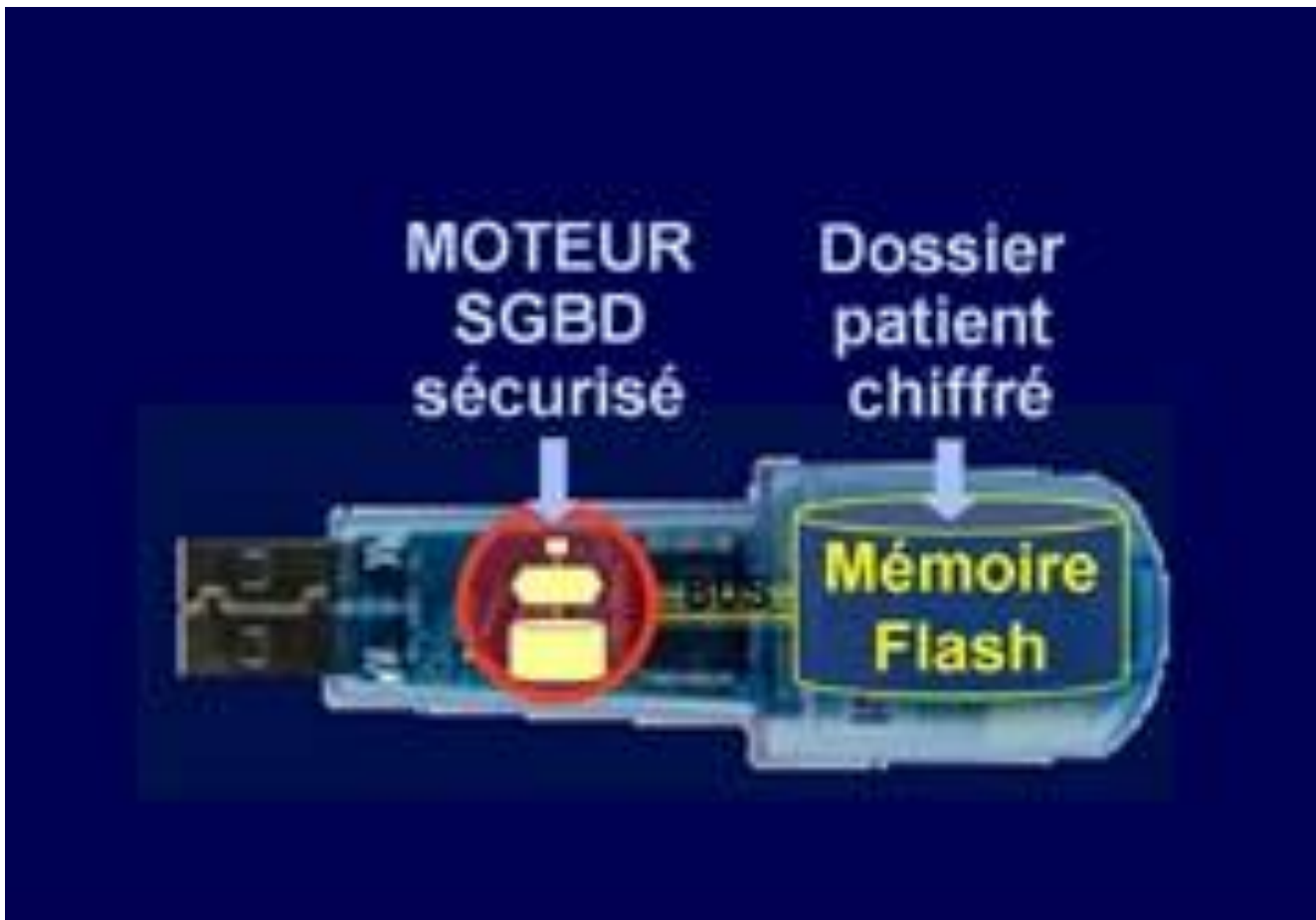
NFC
Philips

HARDWARE

System on Card (SoC)



PicoDBMS



<http://www.yvelines-competences.com/actualites/inria-cg-dossier-medico-social-200706.asp>